

ЭКСПЕРИМЕНТАЛЬНЫЕ ИССЛЕДОВАНИЯ НА 70-ГэВ УСКОРИТЕЛЕ ИФВЭ

(1963-1983 гг., ЭЛЕКТРОННАЯ МЕТОДИКА)

Ю. Д. Прокошкин

Институт физики высоких энергий, Протвино

Обсуждаются результаты физических исследований, выполненных на 70-ГэВ ускорителе ИФВЭ.

The results of the experiments which had been performed at the 70 GeV accelerator of the Institute for High Energy Physics are discussed.

ВВЕДЕНИЕ

В настоящей работе обсуждаются результаты экспериментальных исследований, выполненных на 70-ГэВ ускорителе протонов Института физики высоких энергий*.

Институт физики высоких энергий с самого начала создавался как центр исследований по физике высоких энергий, элементарных частиц и ядерной физике, имеющий как национальный (общесоюзный), так и международный характер. Эксперименты на его ускорителе, который длительное время был крупнейшим в мире, ставились десятками групп из институтов нашей страны и из зарубежных лабораторий. На 70-ГэВ ускорителе ИФВЭ было осуществлено крупномасштабное международное научно-техническое сотрудничество. Этот важный социальный эксперимент оказался успешным. За прошедшие годы только совместно с ЦЕРН (Женева) было осуществлено шесть крупных научных программ, ряд экспериментов был поставлен совместно с физиками Франции, США и Италии. Еще больше исследований было выполнено с участием ученых из стран социалистического содружества (ОИЯИ, Дубна). Что же касается участия отечественных институтов, то наряду с группами ИФВЭ (вклад которых в программу исследований составил около 30 % — имеется в виду использование времени ускорителя) эксперименты на 70-ГэВ ускорителе проводили все без исключения научные центры

* Доложено на заседании Научно-технического совета ИФВЭ, посвященном 20-летию Института (14 октября 1983 г.). В обзор не вошли исследования на нейтринном пучке ускорителя ИФВЭ, а также эксперименты, выполненные в ИФВЭ методикой пузырьковых камер. Им посвящены отдельные сообщения.

и лаборатории нашей страны, специализирующиеся в области физики высоких энергий.

В осуществлении программы экспериментальных исследований на ускорителе ИФВЭ участвовали сотни ученых из десятков институтов. В настоящем кратком обзоре я не имею возможности перечислить их и вынужден ограничиться результатами экспериментов без указания авторов (во многих случаях они широко известны). Соответствующие данные могут быть найдены читателем в традиционно издаваемых компилиативных сборниках экспериментов.

Наконец, еще об одном сокращении в тексте обзора. Практически все результаты, о которых пойдет речь ниже при обсуждении программы исследований на 70-ГэВ ускорителе ИФВЭ, были получены впервые. Именно поэтому я не буду останавливаться на приоритетном характере тех или иных экспериментальных данных и лишь отмечу в ряде случаев результаты, получившие статус официально зарегистрированных открытых.

1. ВВОДНЫЕ ЗАМЕЧАНИЯ

Возвращаясь на два десятилетия назад, хотелось бы напомнить, что все предшествующие протонные ускорители как в нашей стране, так и за рубежом «обгоняли» экспериментальную программу. Они начинали работать при практически пустых экспериментальных залах. Особенностью 70-ГэВ ускорителя ИФВЭ являлось то, что на нем впервые экспериментальная база была создана к запуску ускорителя и эксперименты были начаты физиками сразу же после получения ускоренных пучков.

Должен сказать, что сделать это было очень не просто. Но зато уже в первые три года ускоритель стал давать интенсивную научную «продукцию», а ряд первых же результатов оказался настолько неожиданным и интересным, что ближайшая международная конференция по физике высоких энергий (Лунд, Швеция, 1969 г.), где они были доложены, освещалась в западной печати как «русская конференция».

Физика в области энергии, ставшей доступной с запуском Серпуховского ускорителя (20—70 ГэВ), оказалась весьма плодотворной. 20 лет назад это было совсем не очевидно. Поучительно вспомнить, что далеко не у всех физиков вызывало энтузиазм (и они активно отстаивали свою точку зрения) создание в ИФВЭ ускорителя на энергию, которая только в 2,5 раза, а не больше превышает энергию ускорителей, действовавших в США и Западной Европе. Аргументация сводилась к тому, что при столь высоких энергиях, где, как каждому известно, изменения с ростом энергии E происходят медленно, как $\ln E$ («логарифмическая физика»), новых явлений следует ожидать, лишь шагнув на порядок величины.

То, что это не так, и что Природа, как почти всегда, щедра к ее исследователям, показали уже первые эксперименты на ускорителе

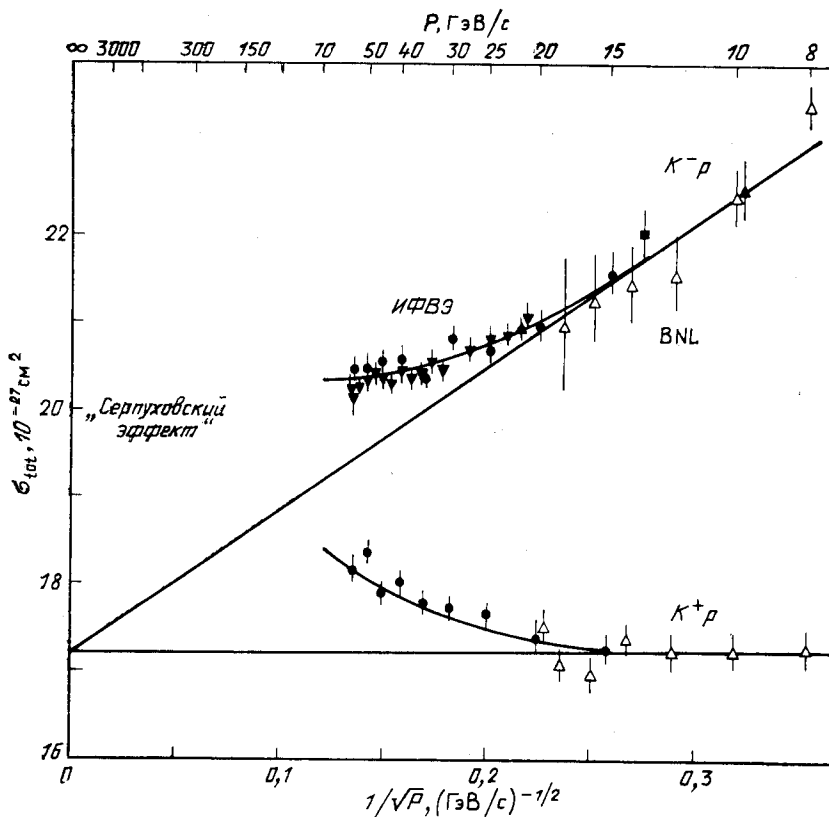


Рис. 1. Зависимость полных сечений $K^+ p$ - и $K^- p$ -взаимодействий σ_{tot} от импульса каонов P («Серпуховский эффект»):

темные точки — данные ИФВЭ [1, 2]; светлые — данные Брукхейвенской лаборатории, США; прямые — предсказания теории полюсов Редже к 1968 г.

ИФВЭ, в которых как раз в области энергий выше 20 ГэВ был обнаружен «серпуховский эффект» — не унылое падение полных сечений взаимодействия адронов к постоянному пределу при $E \rightarrow \infty$, предсказывавшееся господствовавшей в то время теорией полюсов, а их неожиданное выполнование и рост с увеличением энергии (рис. 1). В ближайшие же три года по поводу этого эффекта было опубликовано более двухсот теоретических работ.

Ниже, при изложении экспериментальных данных, полученных на 70-ГэВ ускорителе ИФВЭ в 1968—1983 гг., к двадцатилетию ИФВЭ, я не буду придерживаться хронологической последовательности. Данные будут обсуждаться по следующим основным направлениям исследований: 1) поиски фундаментальных частиц; 2) инклюзивные

процессы и масштабная инвариантность; 3) исследование антивещества; 4) фундаментальные характеристики сильных взаимодействий (полные сечения, упругое рассеяние, рассеяние с перезарядкой); 5) инклюзивное образование адронов с большими поперечными импульсами; 6) образование тяжелых кварков (очарованные частицы); 7) электромагнитная структура адронов; 8) редкие распады мезонов; 9) мезоны с большими спинами, систематика мезонов; 10) глюоний; 11) многокварковые адроны и другая экзотика; 12) некоторые методические новинки, экспериментальные установки, подготовка к исследованиям на З-ТэВ ускорителе-коллайдере.

2. ПОИСКИ ФУНДАМЕНТАЛЬНЫХ ЧАСТИЦ

Сразу же после ввода в строй ускорителя ИФВЭ была начата программа экспериментов с целью поиска таких фундаментальных частиц, как кварки, монополь Дирака, промежуточные бозоны — переносчики слабого взаимодействия, тяжелые лептоны, хиггсовские частицы. С запуском 70-ГэВ ускорителя область масс этих частиц, доступных для эксперимента, существенно расширилась.

Эксперимент по поиску кварков с дробным зарядом был первым из выполненных на ускорителе ИФВЭ, его завершение (в ночь на 14 октября 1968 г.) совпало с годовым юбилеем ускорителя. В то время роль недавно предложенных кварков в физике элементарных частиц была еще очень неясной. Впечатляющие успехи в систематике частиц, достигнутые схемой кварков, давали основания считать их теми субчастицами, из которых построены адроны. Вместе с тем необычные свойства кварков — дробный заряд, как электрический, так и барионный, отсутствие их в свободном состоянии — вызывали широко распространенные среди физиков сомнения в том, что кварки являются материальными объектами, а не просто удобными математическими символами, отвечающими свойствам симметрии адронов. Опыты по поиску кварков (в основном в космических лучах) не дали результата, однако и чувствительность этих опытов была невелика.

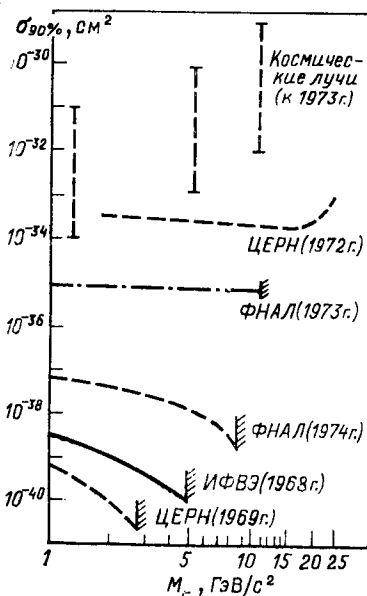
Выполненный на ускорителе ИФВЭ цикл высокочувствительных экспериментов по поиску кварков с дробными зарядами: $(1/3)e$, $(2/3)e$ и $(4/3)e$ (дикварки) [3], на уровне сечения их образования

$$\sigma_q < 10^{-40} \text{ см}^2, \quad (1)$$

а также кварков с целочисленным зарядом (фигурировавших в ряде теоретических схем), показал, что в диапазоне масс до $5 \text{ ГэВ}/c^2$ кварки в свободном состоянии, по-видимому, не существуют — вероятность их образования оказалась на $10-12$ порядков меньше, чем для обычных адронов.

Результаты экспериментов ИФВЭ, подтвержденные в дальнейшем и при более высоких энергиях (рис. 2), во многом способствовали установлению современных представлений о конфайнменте — механизме

Рис. 2. Поиски кварков: верхние граничные оценки (90 %-ный уровень) полных сечений образования кварков с зарядом $-1/3 |e|$ в реакции $NN \rightarrow NN\bar{q}\bar{q}$. M_q — масса кварка



удержания «цветных» кварков внутри частиц, который лежит в основе современной теории сильных взаимодействий — квантовой хромодинамики.

На высоком уровне чувствительности были выполнены также и поиски монополя Дирака — гипотетической частицы, несущей изолированный магнитный заряд [4, 5]. В одном из экспериментов мишень бомбардировалась ускоренным протонным пучком, и была сделана попытка собрать вылетающие (возможно) из мишени монополи в ферромагнитной «ловушке», а затем вытащить их из ловушки мощным импульсом магнитного поля 300 кЭ (глубина потенциальной ямы для монополя оценивалась в 50 кЭ) и зарегистрировать в ядерной фотожмульсии по ожидаемой огромной удельной ионизации, в $(1/2 \alpha)^2 \approx \approx 10^4$ раз превышающей ионизацию от обычных релятивистских частиц. В другом эксперименте искались частицы, дающие в мишени мощное излучение Вавилова — Черенкова (можно ожидать, что интенсивность этого излучения, пропорциональная квадрату эффективного заряда, который равен у монополя 68,5 е, также в 10^4 раз выше, чем у обычных частиц). Чтобы зарегистрировать всплеск излучения Вавилова — Черенкова, непосредственно на вакуумной камере ускорителя была установлена система из нескольких черенковских счетчиков, «смотрящих» на мишень, бомбардируемую протонами с энергией 70 ГэВ.

Оба эти эксперимента дали отрицательный результат, установив очень низкую границу для сечения образования монополей Дирака с массой приблизительно до 5 ГэВ [ИАЭ им. Курчатова; ИЯФ, Новосибирск; ОИЯИ]:

$$\sigma_{mon} < 4 \cdot 10^{-43} \text{ см}^2. \quad (2)$$

В 1972 г. на ускорителе ИФВЭ были проведены поиски [6] тогда еще гипотетического W -бозона, который мог бы образовываться в протон-нуклонных соударениях, если бы его масса не превышала 8 ГэВ/с² (сегодня мы уже знаем, что эта частица в десять раз тяжелее). Для регистрации мюонов от распада $W \rightarrow \mu\nu$ был создан мюонопровод из намагниченного железа, энергия мюонов определялась по

их пробегу. Полученная граничная оценка сечения образования W -бозонов при массе $M_W \approx 8 \text{ ГэВ}/c^2$ составила

$$\sigma_W < 10^{-37} \text{ см}^2. \quad (3)$$

Из этой оценки был сделан вывод о том, что $M_W > 8,5 \text{ ГэВ}/c^2$ [ИФВЭ, МИФИ].

В эти же годы был поставлен эксперимент по поиску тяжелых квазистабильных лептонов [7]. Он показал, что заряженные лептоны с массой от 0,6 (и временем жизни $\tau > 10^{-9} \text{ с}$) до 5 $\text{ГэВ}/c^2$ ($\tau > 2 \cdot 10^{-8} \text{ с}$) не существуют [ИФВЭ].

Отрицательный ответ был получен также в эксперименте [8], где проверялось, существуют ли легкие хиггсовские частицы с массой до 0,4 $\text{ГэВ}/c^2$ (по распаду $\eta' \rightarrow \eta H$, $H \rightarrow \mu^+ \mu^-$) [ИФВЭ].

3. ИНКЛЮЗИВНЫЕ ПРОЦЕССЫ И МАСШТАБНАЯ ИНВАРИАНТНОСТЬ

Одним из основных направлений изучения природы сильных взаимодействий является исследование процессов множественного рождения частиц при высоких энергиях, для понимания динамики которых особую роль [9] играют инклюзивные реакции соударения адронов типа

$$a + b \rightarrow c + \dots, \quad (4)$$

когда в конечном состоянии детектируются частицы заданного типа « c ».

С запуском 70-ГэВ ускорителя открылась возможность экспериментального изучения инклюзивных реакций (4) в ранее недоступной области энергий. Такие исследования, стимулированные теоретическими работами [9], были выполнены на ускорителе ИФВЭ как первоочередные, с целью поиска общих закономерностей, описывающих инклюзивные сечения (аналогичные измерения на 30-ГэВ ускорителях, действовавших в ЦЕРН и Брукхейвенской лаборатории, начали проводиться позже, через десять лет после их запуска). При этом измерения не сводились к утилитарной задаче определения выходов частиц. Программа исследования процессов (4) включала в себя детальные измерения поперечных сечений образования вторичных (оначалу отрицательных) частиц в широком диапазоне как их импульсов, от 10 до 70 $\text{ГэВ}/c$, так и энергий ускоренных протонов [10]. С точностью до нескольких процентов были определены отношения R инклюзивных сечений образования каонов, антипротонов и пионов (рис. 3). Для проведения таких измерений были созданы черенковские счетчики с рекордным по тем временам разрешением (см. разд. 13).

Как видно из рис. 3, значения R изменяются в широких пределах при изменении энергии первичных протонов E_0 и импульса вторичных частиц P . Однако, как было обнаружено в [10], при введении

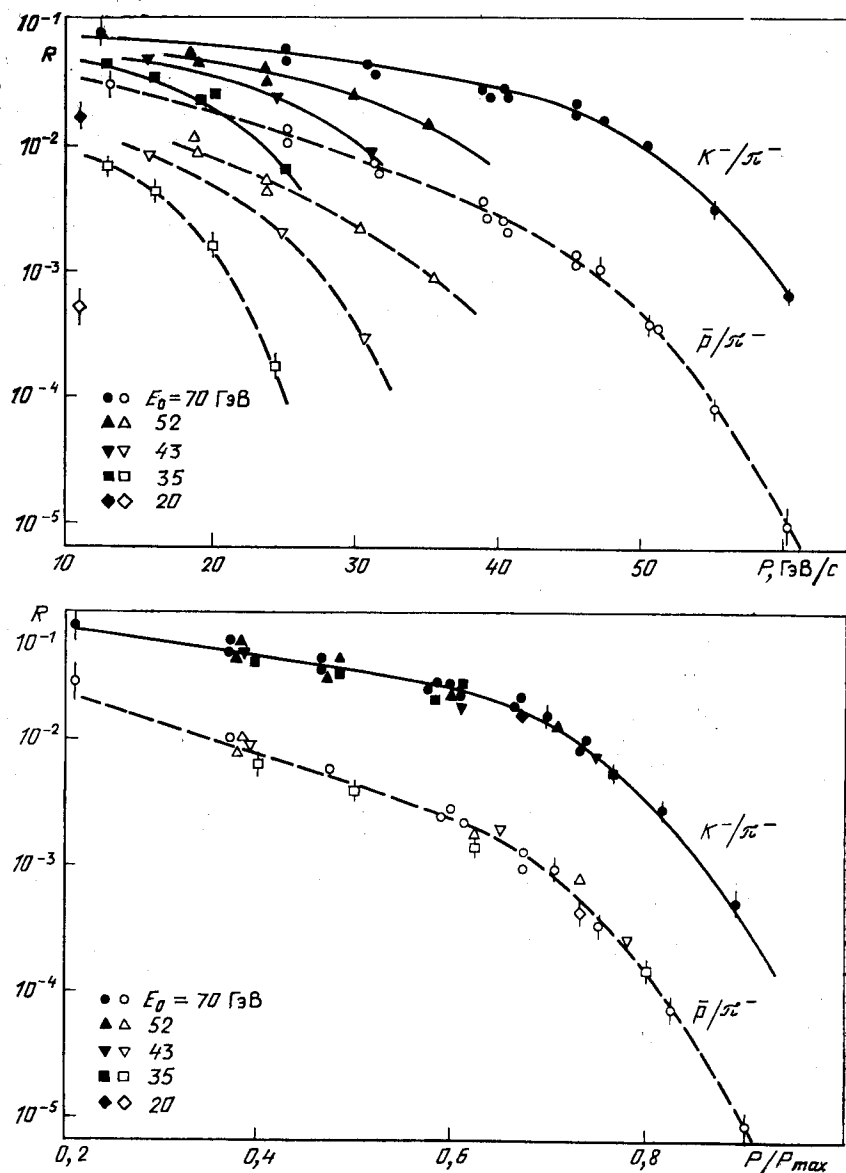


Рис. 3. Зависимость относительных сечений R от импульса вторичных частиц P при разных энергиях ускоренных протонов E_0 (верхний рисунок). На нижнем рисунке — та же величина, но в зависимости от приведенного импульса P/P_{\max} [10] (масштабная инвариантность)

в качестве переменной приведенного импульса P/P_{\max} , где P_{\max} — максимальный импульс частицы, допускаемый законами сохранения, зависимость R от $X = P/P_{\max}$ становится универсальной, одинаковой для различных энергий E_0 (рис. 3). Тем самым было показано, что в области энергий выше 20 ГэВ зависимость относительного инклузивного сечения от энергии соударения сводится к преобразованию масштаба импульса, т. е. сечение является масштабно-инвариантным. В последующих экспериментах [11] было показано, что такая закономерность имеет место и для сечений образования положительных частиц [ИФВЭ, ЦЕРН].

Аналогичные данные, полученные после запуска ускорителей на более высокие энергии [12—16], приведены на рис. 4. Эти данные,

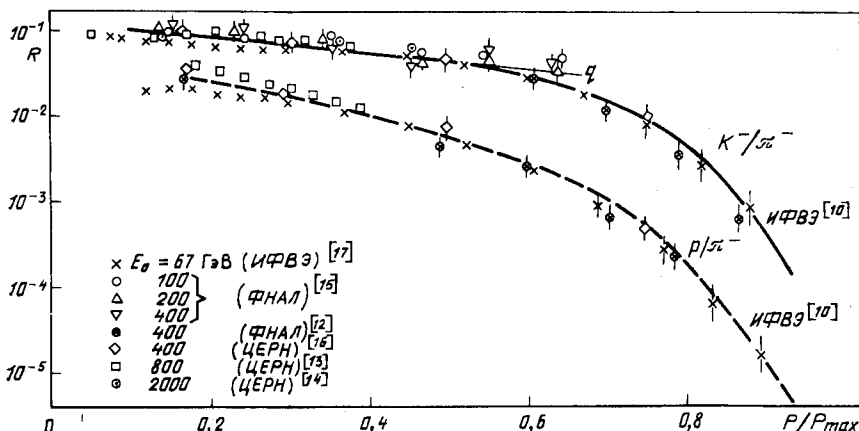


Рис. 4. Зависимость относительных сечений R от приведенного импульса P/P_{\max} в области энергий E_0 до 2 ТэВ [подтверждение масштабной инвариантности (1973—1980 гг.)]:

жирные кривые — данные ИФВЭ [10], приведенные на рис. 3; точки — результаты более поздних измерений [12—17]; кривая « q » рассчитана по квакр-партонной модели [18]

а также последующие измерения при серпуховских энергиях [17], подтвердили вывод о существовании подобия (масштабной инвариантности) для отношений инклузивных сечений. Справедливость масштабной инвариантности была проверена и для абсолютных значений инклузивных сечений [13].

Реальность существования квакровой структуры адронов была доказана, когда выяснилось, что многие закономерности динамики взаимодействия адронов находят естественное объяснение на основе их составного строения из квакров. Масштабная инвариантность инклузивных сечений явилась одной из первых динамических закономерностей такого рода *. Было показано, что наблюдаемые зависимости инклузивных сечений от масштабной переменной $X =$

* Внесено в Государственный реестр открытий СССР [19].

$= P/P_{\max}$ (позже названной переменной Фейнмана) могут быть объяснены теоретически исходя из кваркового строения сталкивающихся и образующихся частиц. Кварковое строение адронов особенно наглядно проявляется в отношениях сечений R (см., например, [18]).

4. ИССЛЕДОВАНИЕ АНТИВЕЩЕСТВА

Эксперименты с антиядрами были начаты на ускорителе ИФВЭ также вскоре после его запуска, когда были выделены среди вторичных частиц антiproтоны, определены сечения их образования [10], полные сечения взаимодействия с нуклонами и ядрами [20—23], а затем изучено и их рассеяние на нуклонах [24—26].

CPT-инвариантность ядерных сил предсказывает существование и связанных состояний антинуклонов — антиядер, обладающих теми же энергиями связи, что и ядра соответствующих элементов, и заполняющих таблицу Менделеева для антивещества.

Широкая программа экспериментального изучения антивещества была развернута на 70-ГэВ ускорителе после того, как методика выделения частиц в интенсивных пучках при помощи черенковских счетчиков была развита до уровня, позволяющего регистрировать частицы, содержание которых в пучке составляет 10^{-8} и ниже (подавив фон от других частиц до еще меньших значений, см. разд. 13).

Первые антидейтроны были выделены в пучке с импульсом 25 ГэВ/с, содержание их составило $5 \cdot 10^{-8} - 8 \cdot 10^{-7}$. Это позволило реализовать «антидейтронный пучок» с интенсивностью 5000 $\bar{d}/\text{сут}$ и открыло возможность провести исследования взаимодействий антидейtronов с веществом [27] (напомню, что до этого наблюдалось лишь $\approx 10^2$ антидейtronов [28]). С переходом к более низким энергиям вторичных частиц интенсивность антидейтронного пучка была повышена до 20 000 $\bar{d}/\text{сут}$ (при содержании их в пучке $\approx 2 \cdot 10^{-6}$ [29] и примеси других частиц ниже 0,1 %). Это позволило измерить поглощение антидейtronов ядрами и изучить их стриппинг (рис. 5) [30], определить полные сечения взаимодействия антидейtronов и антинейtronов с нуклонами [31] [ИФВЭ, ЦЕРН].

CPT-инвариантность сильных взаимодействий ранее проверялась в ряде экспериментов. Создание в ИФВЭ антидейтронного пучка позволило провести проверку этой фундаментальной теоремы еще одним способом — сравнением полных сечений реакций с заменой частиц античастицами. Вытекающее из *CPT*-теоремы равенство

$$\sigma_{\text{tot}}(\bar{d}p) = \sigma_{\text{tot}}(\bar{p}d) \quad (5)$$

подтвердилось экспериментально [31] с погрешностью 2 % [ИФВЭ].

Еще одна проверка *CPT*-теоремы была осуществлена измерением энергии связи антинуклонов в антидейтроне [30]. Последняя оказалась равной

$$\varepsilon_{\bar{d}} = (2,4 \pm 0,6) \text{ МэВ}, \quad (6)$$

что подтверждает *CPT*-инвариантность ядерных сил ($\varepsilon_{\bar{d}} = \varepsilon_d$), а также показывает с высокой точностью равенство масс антидейtronов и дейtronов [ИФВЭ]:

$$M_{\bar{d}} = (1 \pm 0,0003) M_d. \quad (7)$$

Кульминацией программы исследования антивещества на ускорителе ИФВЭ явились поиски и обнаружение антигелия-3 (${}^3\bar{\text{He}}$) [32] — второго элемента в таблице Менделеева для антивещества, ядро которого состоит из двух антипротонов и одного антинейтрона *. С ростом

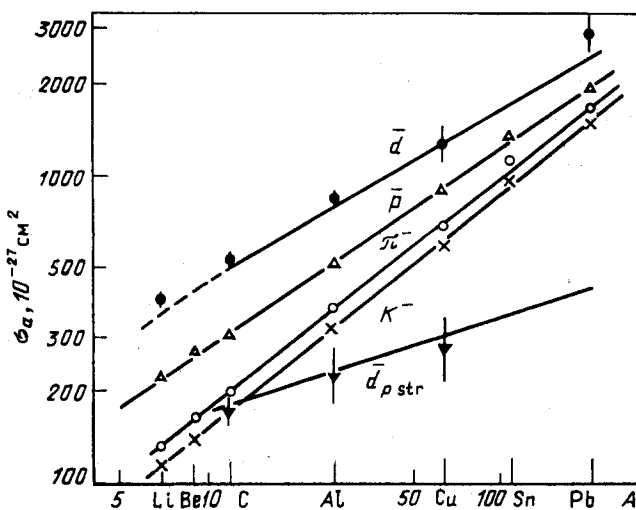


Рис. 5. Сечения поглощения антиднейtronов, антипротонов, пионов и каонов, а также сечения антипротонного стрипцинга антиднейtronов при импульсе 13,3 ГэВ/с:

верхняя и нижняя кривые — зависимости σ_a и $\sigma_{p,\text{str}}$ от атомного номера A , вычисленные по модели многократного рассеяния; прямые — степенные зависимости $\sigma \sim A^\alpha$, где α равна 0,66, 0,76 и 0,76 для антипротонов, пионов и каонов

массы антиядер вероятность их образования резко падает, так как необходимо, чтобы образовалось одновременно несколько нуклон-антинуклонных пар и антинуклоны «слиплись» в антиядро на фоне интенсивных конкурирующих процессов множественного образования легких мезонов (теоретические оценки, сделанные до опытов, давали значение возможного отношения ${}^3\bar{\text{He}}/\pi^- \approx 10^{-11}$).

Эксперимент по поиску антигелия был выполнен на специально созданном канале с импульсом 10 ГэВ/с (20 ГэВ/с для двухзарядного ${}^3\bar{\text{He}}$). Весьма сложная по тем временам установка (см. разд. 13)

* Внесено в Государственный реестр открытий СССР [33].

Рис. 6. Отношения дифференциальных сечений образования антиядер и пионаов $R (= \bar{A}/\pi^-)$, значения аналогичны рис. 4) при импульсе 20 ГэВ/с и угле испускания $\theta = 27$ мрад; M — масса антиядра, m_p — масса протона; прямая — зависимость (9)

содержала около 50 детекторов, многократно измерявших скорость, ионизационные потери и время пролета частиц в пучке с интенсивностью до 10 млн./цикл. Избирательная способность установки была $\gg 10^{12}$ (чувствительность $\ll 10^{-37}$ см 2 /[ср·(ГэВ/с)] на нуклон). Среди пропущенных через установку $2,4 \cdot 10^{11}$ частиц идентифицировано пять ядер антигелия. Масса ядра ${}^3\text{He}^-$ получена равной массе ${}^3\text{He}$:

$$M_{{}^3\text{He}^-} = (1,00 \pm 0,03) M_{{}^3\text{He}}, \quad (8)$$

что подтверждает CPT -теорему. Измеренный заряд ядра ${}^3\text{He}$ равен удвоенному заряду электрона: $(0,99 \pm 0,03) 2e$.

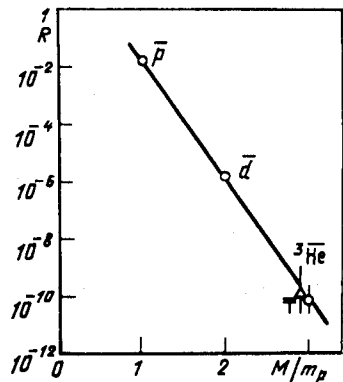
Сравнение сечений образования антиядер с различными массами показывает (рис. 6), что сечение образования антиядра экспоненциально убывает с ростом его массы M [ИФВЭ]:

$$\sigma \sim e^{-aM}. \quad (9)$$

Эта зависимость была подтверждена дальнейшими экспериментами при более высоких энергиях, где была сделана попытка зарегистрировать более тяжелые антиядра [34].

Программу исследования антивещества на ускорителе ИФВЭ завершили в 1973 г. эксперименты, в которых было обнаружено четыре ядра антитрития [35], содержащих один антипротон и два антинейтрона. Ядра антитрития были идентифицированы среди $3,7 \cdot 10^{11}$ частиц с импульсом 25 ГэВ/с при помощи спектрометра по времени пролета и черенковских счетчиков (в том числе детектора кольца излучения Вавилова — Черенкова на гаммоскопических фотоумножителях — см. разд. 13). Как и в случае регистрации антигелия, фон отсутствовал.

Сечение образования антитрития оказалось в хорошем согласии с сечением образования антигелия-3 (рис. 6). Тем самым была проверена зарядовая инвариантность и для antimатерии (отметим, что антигелий и антитритий являются первыми искусственно созданными «настоящими» ядрами антивещества — в отличие от «рыхлого» антидейтрана они обладают большой энергией связи) [ИФВЭ, ОИЯИ].



5. ФУНДАМЕНТАЛЬНЫЕ ХАРАКТЕРИСТИКИ СИЛНЫХ ВЗАИМОДЕЙСТВИЙ

В этом разделе мы обсудим эксперименты на 70-ГэВ ускорителе ИФВЭ, связанные с исследованием амплитуд рассеяния адронов вперед: полные сечения и их разности, регенерация каонов; упругое рассеяние, включая определение реальной части амплитуды; зарядовообменное рассеяние; спиновые эффекты. Важной особенностью изученных характеристик взаимодействия, описывающих с разных сторон амплитуду рассеяния частиц вперед, является их глубокая взаимная связь, опирающаяся на фундаментальные принципы теории. Это неоднократно подчеркивалось (например, в [36]*, до появления серпуховских результатов). В результате выполненных на ускорителе ИФВЭ прецизионных экспериментов были установлены новые закономерности в энергетической зависимости амплитуд рассеяния, определены особенности асимптотического поведения процессов рассеяния частиц, проверены и подтверждены основные представления современной физики высоких энергий.

Полные сечения. Во введении уже отмечался один из неожиданных результатов экспериментов на ускорителе ИФВЭ — «серпуховский эффект» в полных сечениях взаимодействия адронов (см. рис. 1). Сначала были измерены полные сечения взаимодействия отрицательных частиц с нуклонами [21, 37]. Они показали, что начиная с 20 ГэВ падение сечений для π^- -и K^- -мезонов прекращается и сечения резко отклоняются с ростом энергии от зависимостей типа

$$\sigma_{\text{tot}}^{(R)}(s) = \sigma_\infty^{(R)} (1 + a/\sqrt{s}) \quad (10)$$

(здесь s — квадрат полной энергии в с.ц.м.), предсказывавшихся принятыми в то время теоретическими схемами [38] (см. рис. 1, 7) [ИФВЭ, ЦЕРН].

Такое поведение полных сечений K^-p - и K^-n -взаимодействий вызвало оживленную дискуссию, связанную с проблемой справедливости известной теоремы Померанчука [39]. Так как полные сечения K^+N -взаимодействий, по предыдущим данным, не зависели от энергии уже в области 10—20 ГэВ, то из полученных в ИФВЭ результатов вытекали альтернативные решения: а) либо $\sigma_{\text{tot}}(K^+N) = \text{const}$ согласно (10) и при серпуховских энергиях, а тогда нарушается указанная теорема (рис. 8), б) либо она справедлива, разность полных сечений K^-N - и K^+N -взаимодействий уменьшается с энергией:

$$\Delta\sigma(K^\pm N) \rightarrow 0, \quad s \rightarrow \infty \quad (11)$$

* «Некоторые эксперименты в физике сильных взаимодействий служат прямой проверкой справедливости аксиом квантовой теории поля. К таким исключениям принадлежат измерения полных сечений и упругого рассеяния на малые углы... Эти эксперименты являются единственной известной сегодня непосредственной проверкой основных положений теории сильных взаимодействий. Уже только по указанной причине прецизионные опыты в этой области будут и в дальнейшем играть центральную роль».

и, следовательно, в отличие от теоретических предсказаний, полные сечения для K^+ -мезонов в серпуховской области энергий должны расти.

Эта проблема была решена экспериментально — было обнаружено, что полные сечения K^+p - и K^+n -взаимодействий действи-

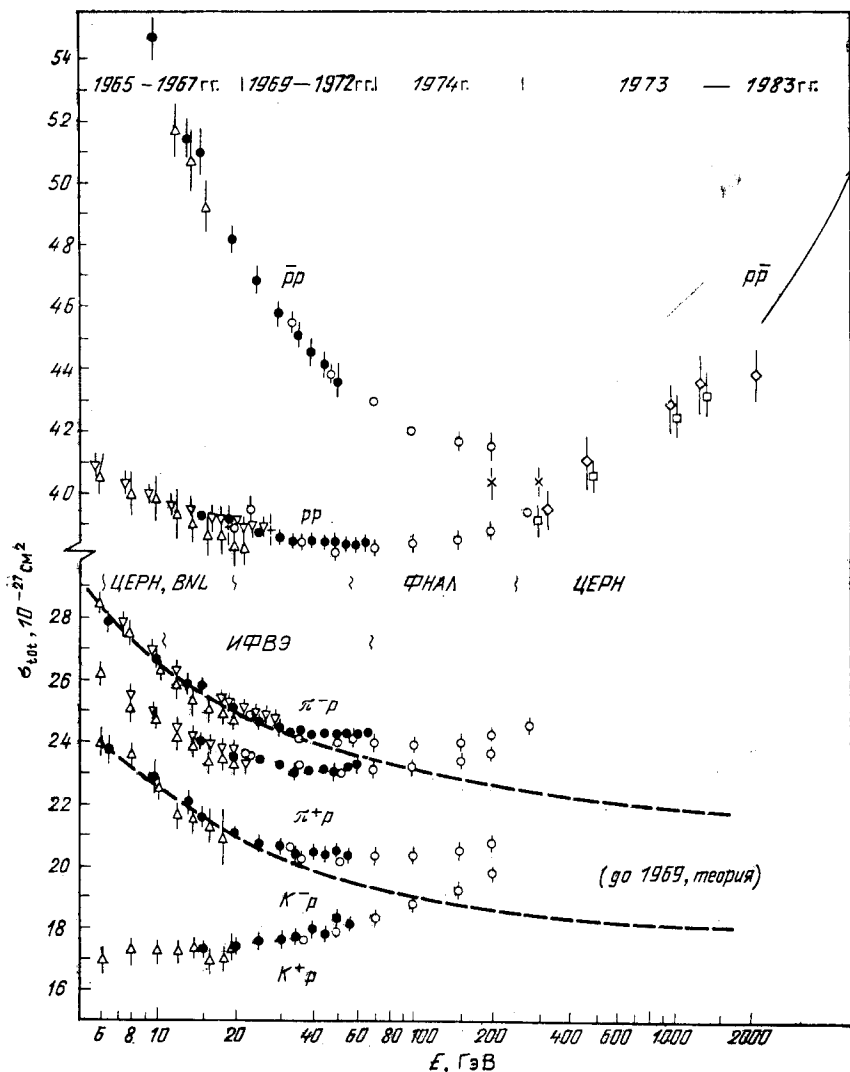


Рис. 7. Полные сечения взаимодействия адронов с протонами: темные точки — данные ИФВЭ; пунктирные кривые — предсказания полносной модели [38]; стрелкой указано не уместившееся на рисунке значение сечения при энергии $p\bar{p}$ -коллайдера ($62 \cdot 10^{-27} \text{ см}^2$ при $E = 150\,000 \text{ ГэВ}$)

тельно растут с энергией начиная с 20 ГэВ [1, 22, 40] и соотношение (11) выполняется (рис. 8) [ИФВЭ].

Такой же ответ был получен и в экспериментах по исследованию трансмиссионной регенерации K^0 -мезонов, выполненных на ускорителе ИФВЭ при энергиях от 14 до 50 ГэВ [41, 42]. В этих опытах была определена энергетическая зависимость амплитуды регенерации и соответственно разности амплитуд упругого рассеяния \bar{K}^0 - и K^0 -мезонов на протонах под нулевым углом. Мнимая часть амплитуды регенерации связана по оптической теореме и на основании изотопической инвариантности с разностью полных сечений взаимо-

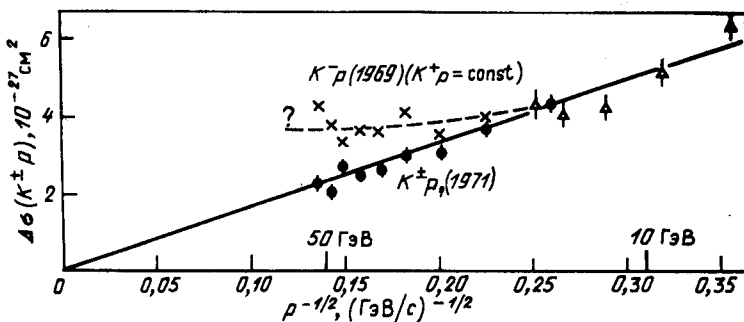


Рис. 8. Энергетическая зависимость разности полных сечений K^-p - и K^+p -взаимодействий:

крестики и пунктирная кривая — по данным о K^-p -сечениях [21, 37] при условии, что $\sigma_{\text{tot}}(K^+p) = \text{const}$ согласно (10); черные точки и сплошная прямая — по данным измерений полных сечений $K^\pm p$ -взаимодействий в ИФВЭ

действия $\Delta\sigma(K^\pm n)$ (11). Полученные данные показали (рис. 9), что эта разность уменьшается с ростом энергии и хорошо согласуется с результатами прямых измерений полных сечений [ОИЯИ].

Фаза регенерации не зависит от энергии (рис. 9). Это находится в согласии с теоремой Померанчука. Соотношение (11) выполняется, как показали измерения разностей полных сечений, и для других частиц и античастиц [22].

Обнаружение серпуховского эффекта — выполаживания, а затем и роста полных сечений * привело к пересмотру теоретических моделей асимптотического взаимодействия адронов. Серпуховский эффект до сих пор остается явлением, ожидающим своего теоретического истолкования. То, что такое поведение полных сечений носит универсальный характер [44—48] и они проходят через минимум при энергиях ИФВЭ, а потом растут, подтвердили последующие измерения в Батавии и ЦЕРН (рис. 7).

Теорема Померанчука была доказана в предположении постоянства полных сечений при $E \rightarrow \infty$. Принималось также, что отношение

* Внесено в Государственный реестр открытых СССР [43].

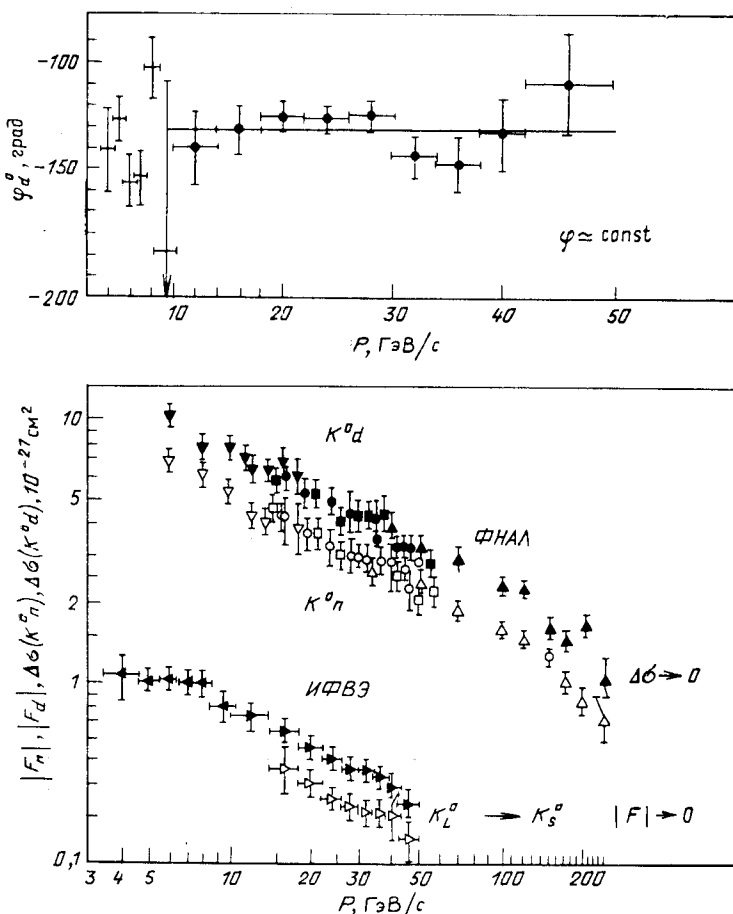


Рис. 9. Фаза и модуль амплитуды трансмиссионной регенерации $K_L^0 \rightarrow K_S^0$ и разности полных сечений для \bar{K}^0 - и K^0 -мезонов. Приведены данные, полученные на ускорителе ИФВЭ [41, 42] и в дальнейшем в Батавии

реальной и мнимой частей амплитуд рассеяния ограничено. Позже эксперимент выявил иную картину поведения полных сечений при сверхвысоких энергиях (см. рис. 7). Для общего случая растущих сечений асимптотическая теорема была доказана А. А. Логуновым с сотр. [49]:

$$\frac{\sigma_{\text{tot}}(\bar{a}b)}{\sigma_{\text{tot}}(ab)} \xrightarrow[s \rightarrow \infty]{} 1, \text{ и следовательно, } \frac{\Delta\sigma(a^\pm b)}{\sigma_{\text{tot}}(ab)} \xrightarrow[s \rightarrow \infty]{} 0. \quad (12)$$

Здесь $\Delta\sigma(a^\pm b)$ — разность полных сечений для античастиц a^- и частиц a^+ .

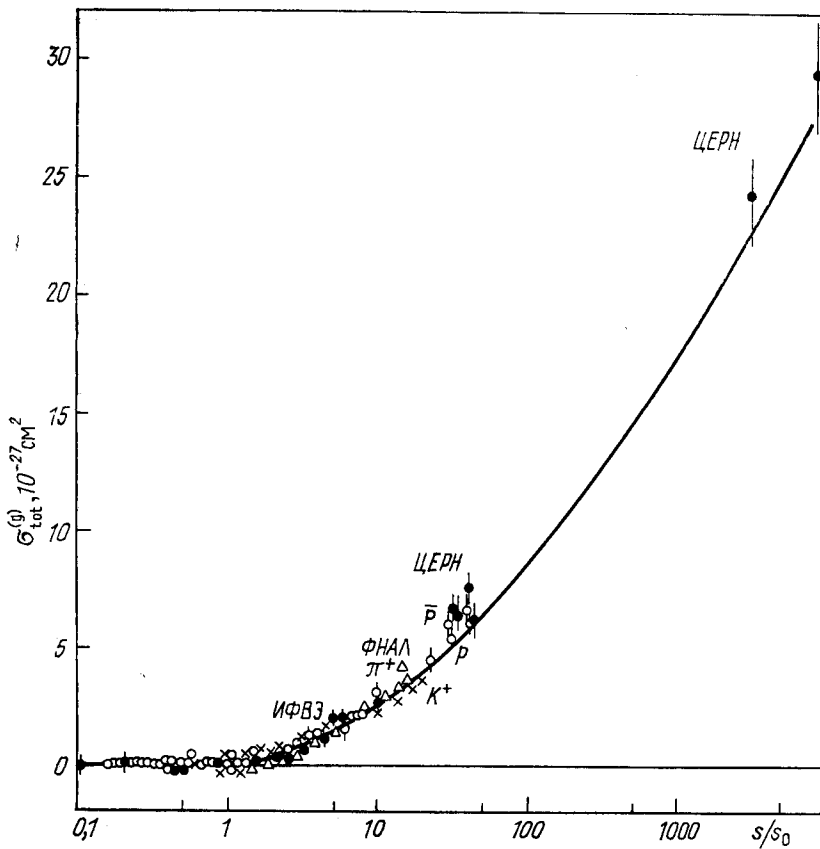


Рис. 10. «Нереджевская» часть полных сечений $\sigma_{\text{tot}}^{(g)}$ (13) [48] (универсальность роста полных сечений):

Кривая — формула (13) с параметрами $\alpha = 0,46 \cdot 10^{-27} \text{ см}^2$, $\beta = 0,27 \cdot 10^{-27} \text{ см}^2$ [$\sigma_{\text{tot}}^{(g)}(s < s_0) = 0$], s_0 равно 34, 45 и 78 ГэВ² для $K^\pm p$, $\pi^\pm p$ - и $p^\pm p$ -взаимодействий

То, что начало роста полных сечений приходится на серпуховские энергии, наглядно проявляется в модели [50], где этот рост обусловлен вкладом глюонных взаимодействий в центральной области соударений адронов, включая возможное образование глюболов. Рост полных сечений описывается при этом зависимостью [48]

$$\sigma_{\text{tot}}^{(g)}(s) = \alpha \ln(s/s_0) + \beta \ln^2(s/s_0), \quad (13)$$

где $\sigma_{\text{tot}}^{(g)} = \sigma_{\text{tot}} - \sigma_{\text{tot}}^{(R)}$ [см. формулу (10)] — растущая, глюонная (нереджевская) часть полного сечения (рис. 10).

На протонном ускорителе ИФВЭ был впервые создан электронный (фотонный) пучок, что открыло возможность исследовать элек-

тромагнитные взаимодействия при энергиях, не достижимых на электронных ускорителях. На этом пучке в диапазоне 15—30 ГэВ было измерено полное сечение γp -взаимодействий и сечение фоторождения ρ^0 -мезонов на протонах, составляющее его основную часть [51] (рис. 11).

С увеличением энергии все более отчетливо проявляется сходство механизмов фотон-адронного и адрон-адронного взаимодействий. Это объясняется тем, что при соударении с адроном фотон «адронизуется» — виртуально переходит в адронное состояние. Полученные

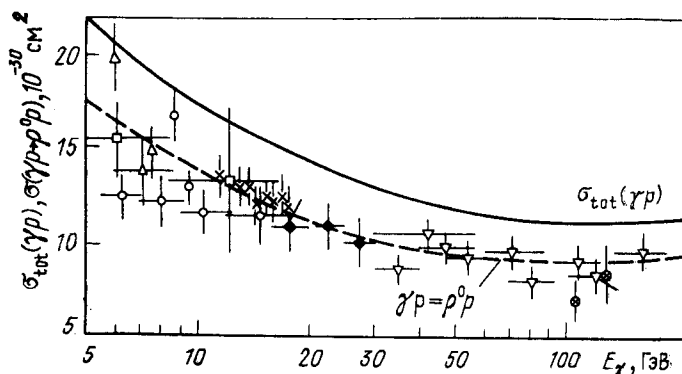


Рис. 11. Энергетическая зависимость полного сечения γp -взаимодействий (сплошная кривая) и сечения фоторождения ρ^0 -мезонов (точки): темные точки — данные на ускорителе ИФВЭ [51]; пунктирующая кривая — сечение, вычисленное на основе связи с упругим πp -рассеянием: $\sigma(\gamma p \rightarrow \rho^0 p) = \frac{\alpha}{2} \left(\frac{\gamma_p^2}{4\pi} \right)^{-1} [\sigma_{\text{el}}(\pi^+ p) + \sigma_{\text{el}}(\pi^- p)]$

в ИФВЭ, а затем и при более высоких энергиях сечения хорошо описываются моделью векторной доминантности и аддитивной кварковой моделью (рис. 11) [ЕрФИ, ИФВЭ, ФИАН].

Упругое рассеяние адронов. Совместное исследование упругого рассеяния частиц под малыми углами и полных сечений позволяет, опираясь на оптическую теорему, определить основную характеристику взаимодействия — амплитуду рассеяния. Опыты по упругому рассеянию протонов на протонах были начаты на ускорителе ИФВЭ вскоре после его запуска. В этом эксперименте регистрировались протоны отдачи, вылетающие из внутренней мишени ускорителя. Интересной методической новинкой было использование в качестве мишени сверхзвуковой газовой струи (см. разд. 13). Дифференциальные сечения упругого pp -рассеяния были измерены в интервале квадрата переданного 4-импульса $0,0007 < -t < 0,12 (\text{ГэВ}/c)^2$, захватывающем область как чисто ядерного рассеяния протонов, так и кулон-ядерной интерференции.

Анализ данных, полученных в диапазоне энергий от 12 до 70 ГэВ, позволил определить, после нормировки на полные сечения, энергетическую зависимость наклона дифракционного конуса упругого pp -рассеяния b ($d\sigma/dt \sim \exp(bt)$). Оказалось, что этот параметр логарифмически растет с увеличением энергии (рис. 12) [52]. Отсюда был сделан важный вывод о росте радиуса взаимодействия протонов с увеличением энергии их столкновения *. Исследования при более высоких энергиях в дальнейшем подтвердили этот вывод (рис. 12) [ИФВЭ, ОИЯИ].

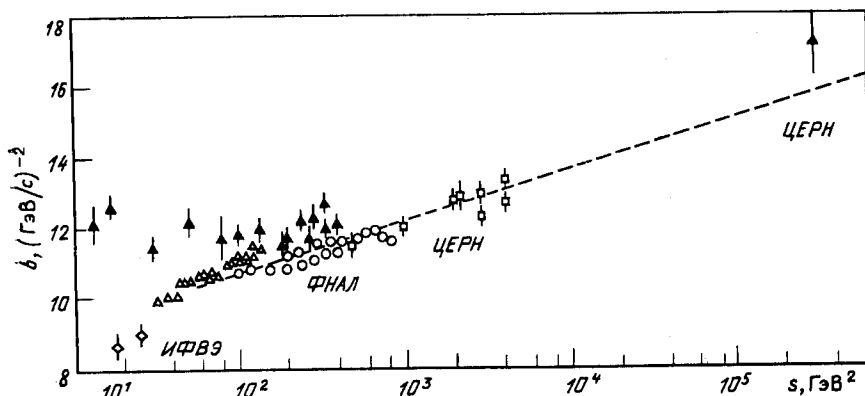


Рис. 12. Энергетическая зависимость параметра наклона дифракционного конуса упругого pp -рассеяния (светлые точки) и pp -рассеяния (темные точки). Пунктирная кривая показывает сужение конуса рассеяния: $b \sim \ln s$

Изучение интерференции ядерных и кулоновских сил в области малых $|t|$ (по форме дифференциального сечения упругого рассеяния) позволило в этом эксперименте определить отношение реальной и мнимой частей амплитуды рассеяния вперед $\rho(0)$. Этот параметр, характеризующий преломляющую способность ядерного вещества (квантовомеханическую), также оказался растущим с энергией [54]**. Этот рост, продолжающийся и при более высоких энергиях (рис. 13), свидетельствует (через дисперсионные соотношения), что рост полных сечений продолжается и при энергиях в сотни тераэлектронвольт [ОИЯИ].

Полученные в серпуховской области энергий данные о полных сечениях и о значениях $\rho(0)$ для pp -рассеяния хорошо согласуются в рамках дисперсионных соотношений. Отсюда следует важный вывод о справедливости основных постулатов теории поля для взаимодействия частиц на расстояниях вплоть до

$$L \approx 10^{-15} \text{ см.}$$

* Внесено в Государственный реестр открытий СССР [53].

** Внесено в Государственный реестр открытий СССР [55].

Дифференциальные сечения упругого π^-p -рассеяния были измерены в интервале энергий 30—60 ГэВ на выведенном из ускорителя пучке при помощи магнитного спектрометра с гаммоскопами [56].

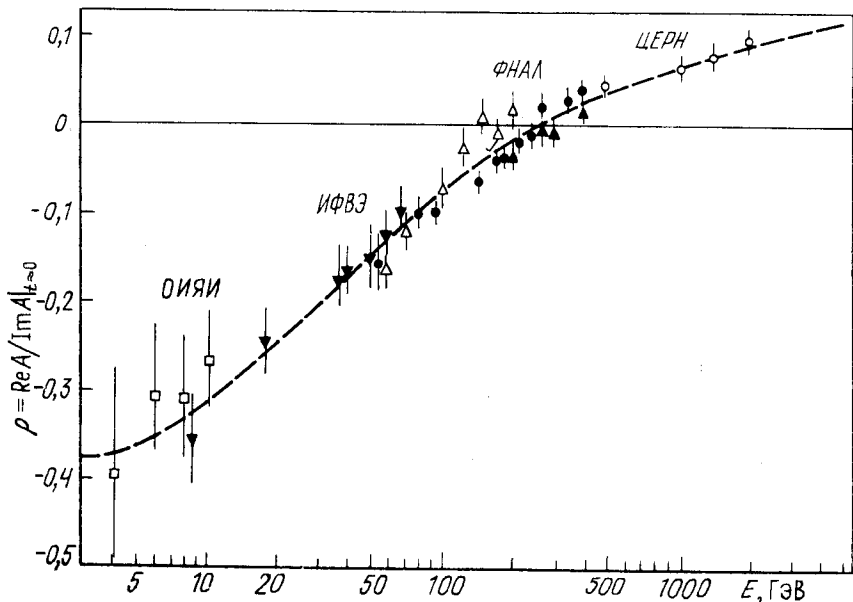


Рис. 13. Отношения реальных и мнимых частей амплитуды упругого pp -рассеяния $\rho(0)$ при разных энергиях:

▼ — данные, полученные на ускорителе ИФВЭ [54]; пунктируя кривая вычислена по полным сечениям на основании дисперсионных соотношений

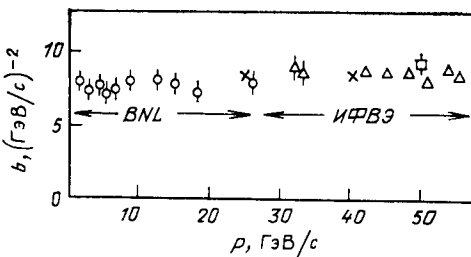


Рис. 14. Наклон дифракционного конуса упругого π^-p -рассеяния при разных импульсах

Полученные здесь данные показывают, что наклон дифракционного конуса в случае π^-p -рассеяния не сужается с ростом импульса (рис. 14). Это свидетельствовало о постоянстве радиуса пион-нуклонного взаимодействия [ИФВЭ] *.

* Измерения в более широком интервале импульсов, до $P \approx 350$ ГэВ/с (Burg J. P. e.a. Nucl. Phys. 1983. Vol. 127B. P. 285), показали, что параметр наклона b растет с ростом P и в случае πp -рассеяния; этот рост универсален для адронов [ЛИЯФ].

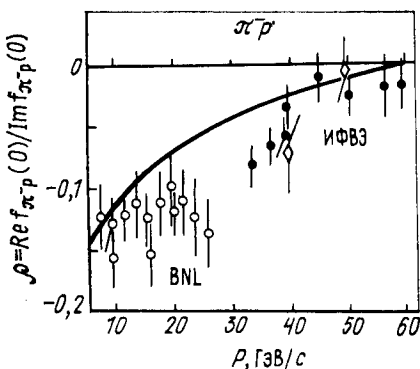


Рис. 15. Отношения реальных и мнимых частей амплитуды упругого π^-p -рассечения вперед:

кривая рассчитана по дисперсионным соотношениям на основании полных сечений пиона-нуклонного рассеяния

Измерения упругого π^-p -рассечения в области кулон-ядерной интерференции показали, как и в случае pp -рассеяния, что значение $\rho(0)$ растет с энергией в согласии с дисперсионными соотношениями (рис. 15) [57]. Согласие получено и для случая π^+p - и K^+p -рассеяний [58] [ИФВЭ, ОИЯИ, США].

Упругое π^-p -рассеяние в области очень малых углов было изучено и с применением другой методики, представлявшей собой комбинацию наполненной водородом ионизационной камеры (для регистрации медленного протона отдачи) и магнитного спектрометра, детектирующего рассеянные вперед пионы [59]. Измеренное с точностью 0,015 значение $\rho(0)$ совпало с предсказаниями дисперсионных соотношений [ЛИЯФ].

Изучение дифракционного упругого рассеяния адронов позволяет, подобно опытам по полным сечениям, определить размеры области взаимодействия, а также исследовать распределение адронной материи внутри частиц. Поэтому представляет интерес сравнение упругого рассеяния различных частиц, в том числе частиц и античастиц. Такие эксперименты были выполнены на магнитном спектрометре [24] (рис. 16) [ИФВЭ, ЦЕРН].

Программа исследования упругого рассеяния адронов на ускорителе ИФВЭ завершилась измерениями поляризационных параметров в рассеянии π^\pm , K^\pm -мезонов, протонов и антипротонов на протонах (поляризованный мишень). Первые же эксперименты показали, что и при энергиях ускорителя ИФВЭ существуют значительные поляризационные эффекты, причем эти эффекты зависят от сорта частиц и имеют сложную структуру (рис. 17) [60, 61].

Наиболее неожиданными оказались результаты измерений поляризации в упругом pp - и $\bar{p}p$ -рассеянии. С ростом $|t|$ поляризация в этих процессах меняет знак с положительного на отрицательный (рис. 17). При $|t| \approx 1$ ($\text{ГэВ}/c^2$) поляризация значительно увеличивается вопреки теоретическим ожиданиям, где предсказывался нулевой эффект [ИТЭФ, ИФВЭ, ОИЯИ, Сакле (Франция)].

Зарядовообменное рассеяние. Изучение зарядовообменных реакций, в том числе таких, как

$$\pi^- p \rightarrow M^0 n, \quad (14)$$

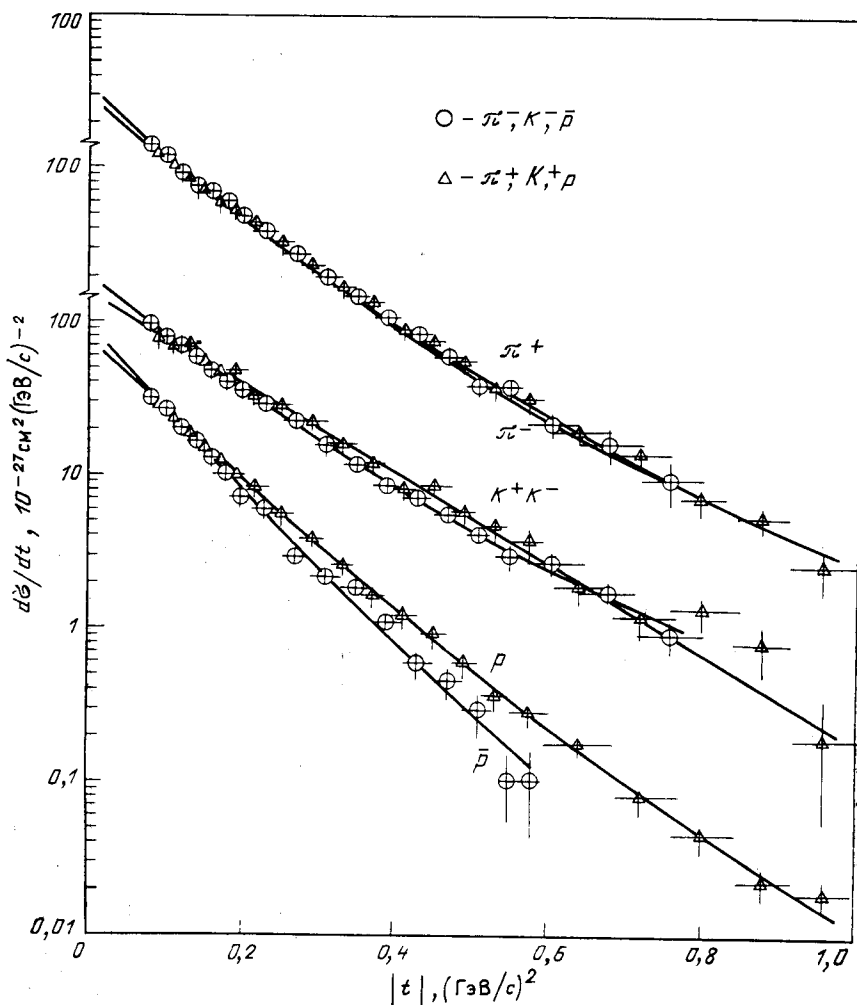


Рис. 16. Упругое рассеяние частиц и античастиц: дифференциальные сечения упругого рассеяния π^\pm , K^\pm -мезонов, протонов и антипротонов на протонах при импульсе 40 ГэВ/с

представляет особый интерес в серпуховской, практически уже асимптотической области энергий. Сечения перезарядки под нулевым углом связаны оптической теоремой с соответствующими разностями полных сечений взаимодействия частиц в разных изоспиновых состояниях (эти разности стремятся к нулю при $E \rightarrow \infty$ [62]; как показали опыты в ИФВЭ [22] — степенным образом). Одновременное изучение полных сечений и зарядовообменных реакций позволяет поэтому

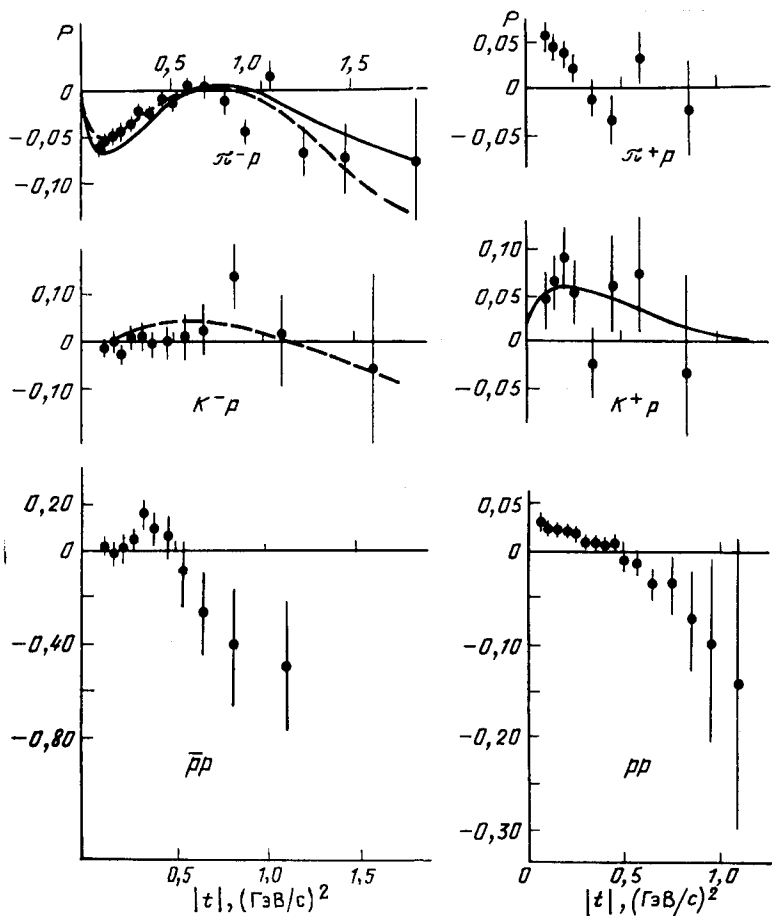


Рис. 17. t -Зависимость поляризации в упругом рассеянии π^{\pm} -, K^{\pm} -мезонов, протонов и антипротонов на протонах при импульсе 40 ГэВ/с. Кривые рассчитаны по полюсной теории

проводить самосогласованный анализ экспериментальных данных на основе самых общих положений квантовой теории поля.

На кварковом уровне реакции зарядовообменного рассеяния (14) сводятся к фундаментальным процессам аннигиляции кварков или их обратного рассеяния (рис. 18).

Программа систематических исследований процессов (14) [63—65], реализованная на ускорителе ИФВЭ сначала методом искровых камер, а затем при помощи впервые разработанного гаммоскопического фотонного калориметра, включала в себя как прецизионные измерения сечений в области малых углов (например, рис. 19) для

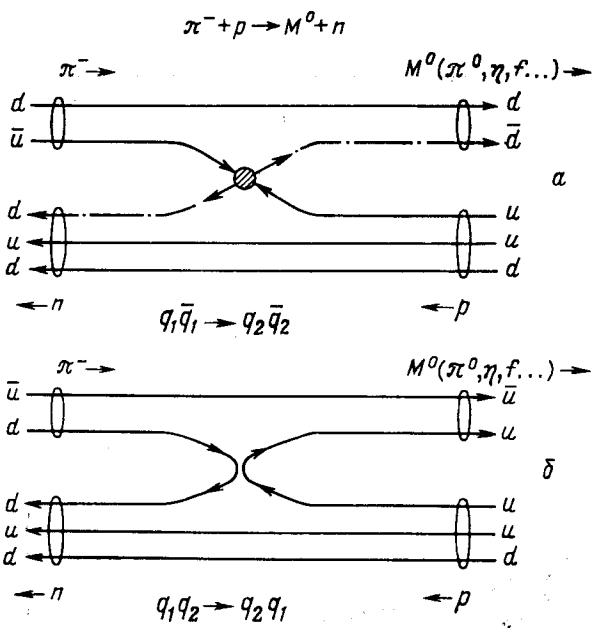


Рис. 18. Зарядо-
вообменное рассеяние
(14) на кварковом уровне:

a — аннигиляция кварков;
b — их обратное рассеяние

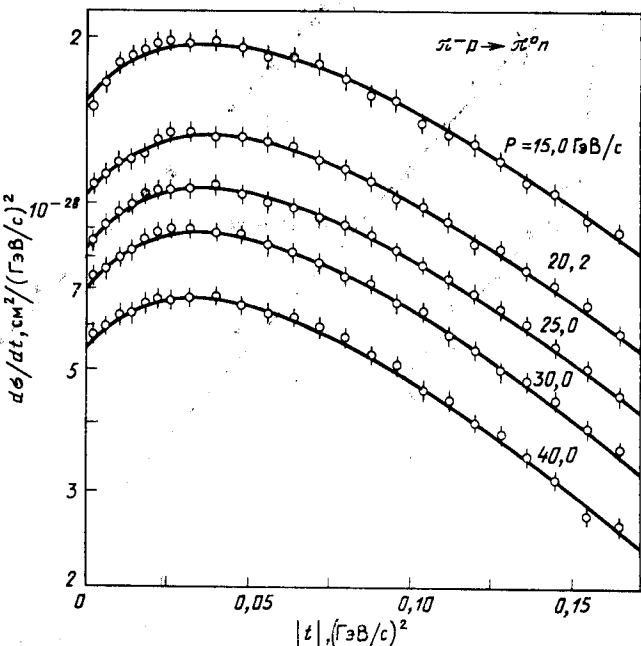


Рис. 19. *t*-Зависимость сечений реакции перезарядки пионов на протонах под малыми углами:

кривые — результат феноменологического фита [64]. Величина $(d\sigma/dt)^{1/2}$ при $t = 0$ есть разность амплитуд $\pi^\pm p$ -рассеяния вперед, а $\Delta\sigma(\pi^\pm p)$ — разность мнимых частей этих же амплитуд; измерения обеих величин дали согласующиеся результаты

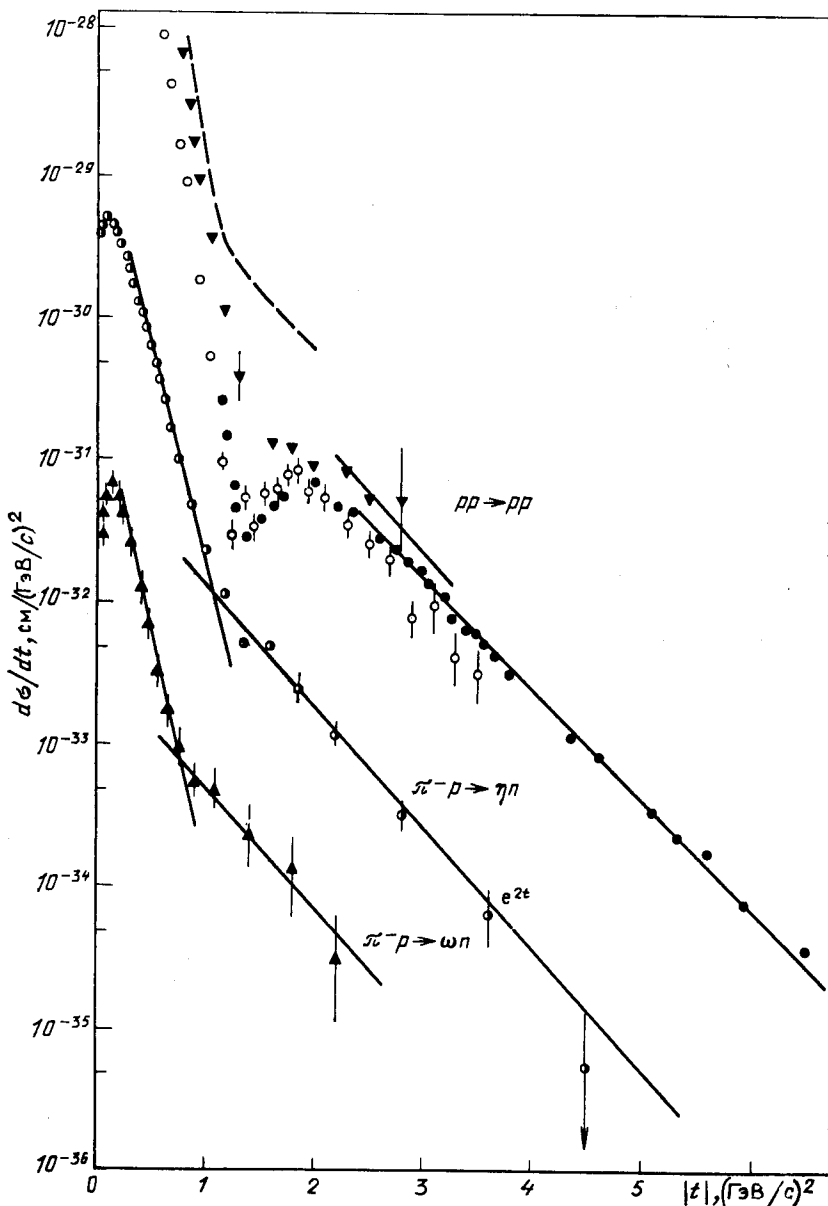


Рис. 20. Дифференциальные сечения зарядовообменных реакций типа (14),
 $\pi^-p \rightarrow \eta p$ и $\pi^-p \rightarrow \omega p$, при импульсе 40 ГэВ/с и больших передачах импульса.
Здесь же показано упругое pp -рассеяние

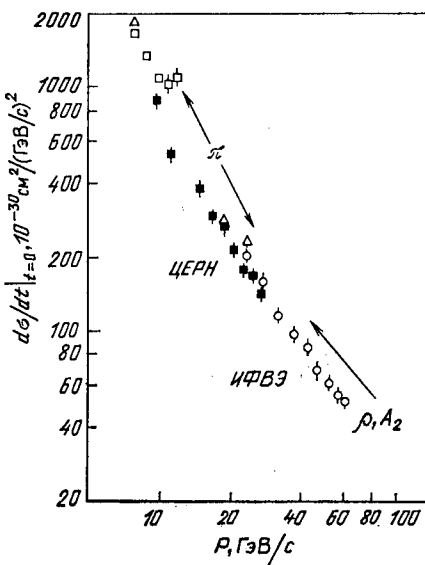


Рис. 21. $p\bar{p}$ -Перезарядка под нулевым углом при разных энергиях. Условно показаны области, где доминируют π -обмен и ρ -, A_2 -обмен

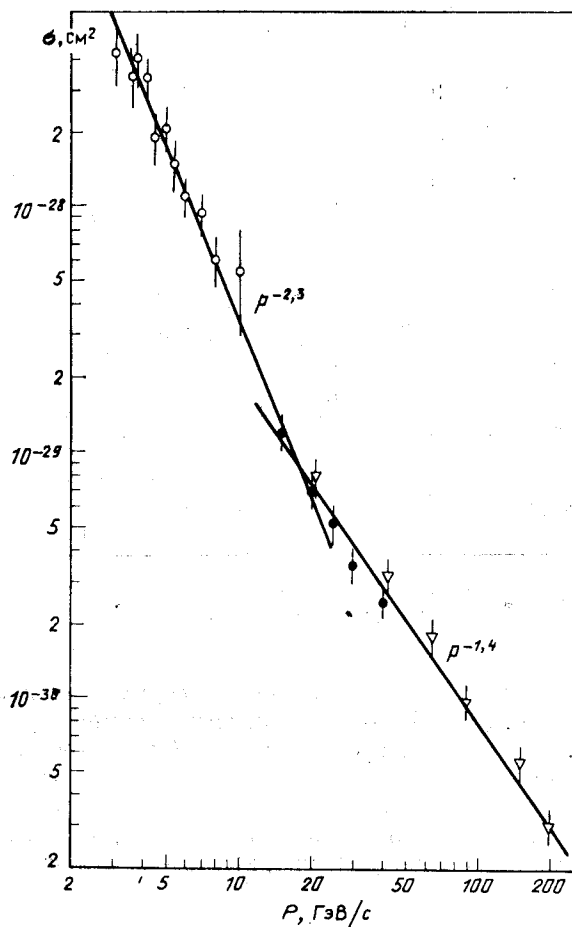


Рис. 22. Энергетическая зависимость сечения реакции $\pi^-p \rightarrow \omega p$: темные точки — данные, полученные на ускорителе ИФВЗ; при большей энергии — данные ФНАЛ

большого числа реакций ($M^0 = \pi^0, \eta, \eta', \omega, f, A_2 \dots$), так и изучение области больших передач импульса, где наблюдается универсальный излом наклона (рис. 20), нашедший объяснение в рамках кварк-партонных моделей [66] [ИФВЭ, ЦЕРН].

Перезарядка нейтронов на протонах



была исследована при помощи двухплечевого спектрометра в интервале переданных 4-импульсов $0,002 < -t < 0,8 (\text{ГэВ}/c)^2$. Энергетическая зависимость при $t \approx 0$, где виден острый пик в дифференциаль-

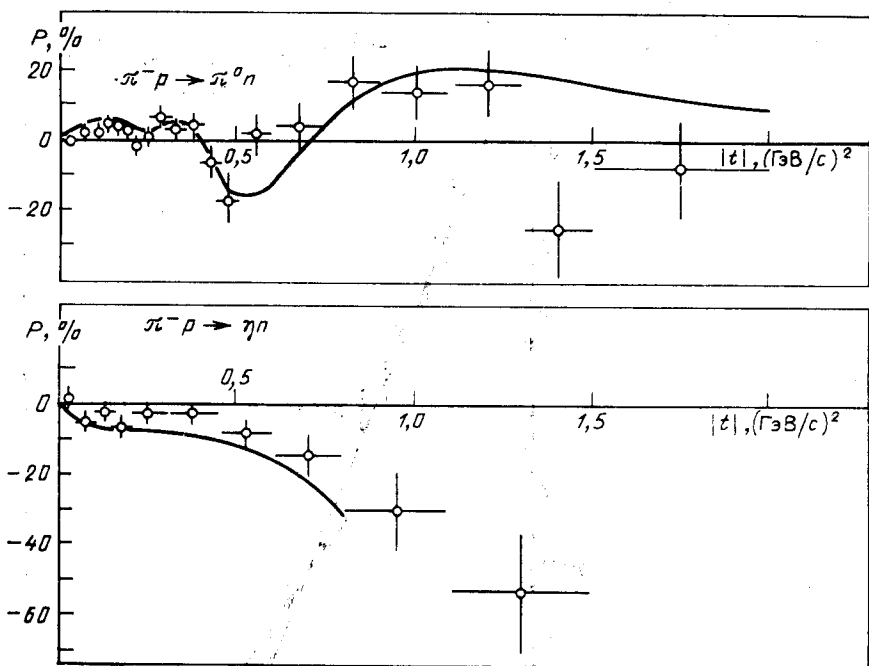


Рис. 23. Поляризация при импульсе 40 ГэВ/с в зарядовообменных реакциях.
Кривые — модельное описание t -зависимостей

ном сечении, обнаруживает при серпуховских энергиях смену режима (рис. 21) [67] — по-видимому, π -обмен уступает место ρ, A_2 -обмену. Такая же смена режима наблюдается и в реакции типа (13), $\pi^- p \rightarrow \omega n$ [65] (рис. 22) [ИТЭФ, ИФВЭ, ЦЕРН].

Программу детального изучения зарядовообменных процессов при серпуховских энергиях завершают измерения поляризации в реакциях типа (13), трудные из-за малости сечений. Эти экспери-

менты обнаружили [68, 69], вопреки теоретическим ожиданиям, значительную поляризацию даже при столь большой энергии, как 40 ГэВ, и ее сложную структуру (рис. 23), ждущую теоретического анализа [ИФВЭ, ОИЯИ, ТГУ].

6. ОБРАЗОВАНИЕ АДРОНОВ С БОЛЬШИМИ ПОПЕРЕЧНЫМИ ИМПУЛЬСАМИ

При помощи двухплечевого фокусирующего спектрометра на ускорителе ИФВЭ выполняется программа исследования процессов инклюзивного образования адронов с большими для наших энергий поперечными импульсами P_t в соударениях протонов с нуклонами и ядрами.

Особенностью экспериментов в этой области энергий является возможность продвижения в область предельно больших значений поперечной масштабной переменной $X_t = P_t/\sqrt{s}$ (до $X_t \approx 0,8$, в описываемых опытах). При больших значениях X_t обнаружено нарушение скейлинга как в поведении сечений образования одиночных заряженных адронов, так и в отношениях сечений образования мезонов разных знаков (рис. 24) [70]. Этот скейлинг в виде $\bar{E}d^3\sigma/dP^3 \sim \sim P_t^{-8} (1 - X_t)^9$ ранее наблюдался при энергиях ФНАЛ и ЦЕРН.

Особый интерес представляет образование пар адронов, разлетающихся в с.ц.м. в противоположные стороны симметрично, с одинаковыми P_t . В этом случае влияние внутреннего поперечного движения партонов в частицах сводится к минимуму, и становится практически однозначной связь кинематических переменных партонов с поперечными импульсами образовавшихся адронов. В измеренных сечениях одного из таких процессов,

$$pp \rightarrow \pi^+ \pi^- + \dots, \quad (15)$$

наблюдается излом в P_t -зависимости (рис. 24) в области $P_t \approx \approx 1 \text{ ГэВ}/c$, который можно связать с переходом от режима мягких соударений к соударениям на уровне составляющих нуклонов [72] [ИФВЭ].

Эксперименты по образованию симметричных пар протонов, испущенных под углами, близкими к 90° в с.ц.м.,

$$pp \rightarrow pp + \dots \quad (16)$$

дают возможность изучить роль систем валентных夸克ов в рассеянии с большими P_t . Полученные данные [71] свидетельствуют в пользу механизма рассеяния «подпротонов» — систем из трех валентных夸克ов (рис. 24).

При изучении ядерных эффектов в образовании частиц с большими P_t (измеряются A -зависимости сечений, представляемые в виде A^α) наблюдается сильная азимутальная зависимость сечений образования симметричных адронных пар (рис. 24) [72], указывающая на важную роль перерассеяния внутри ядра [ИФВЭ].

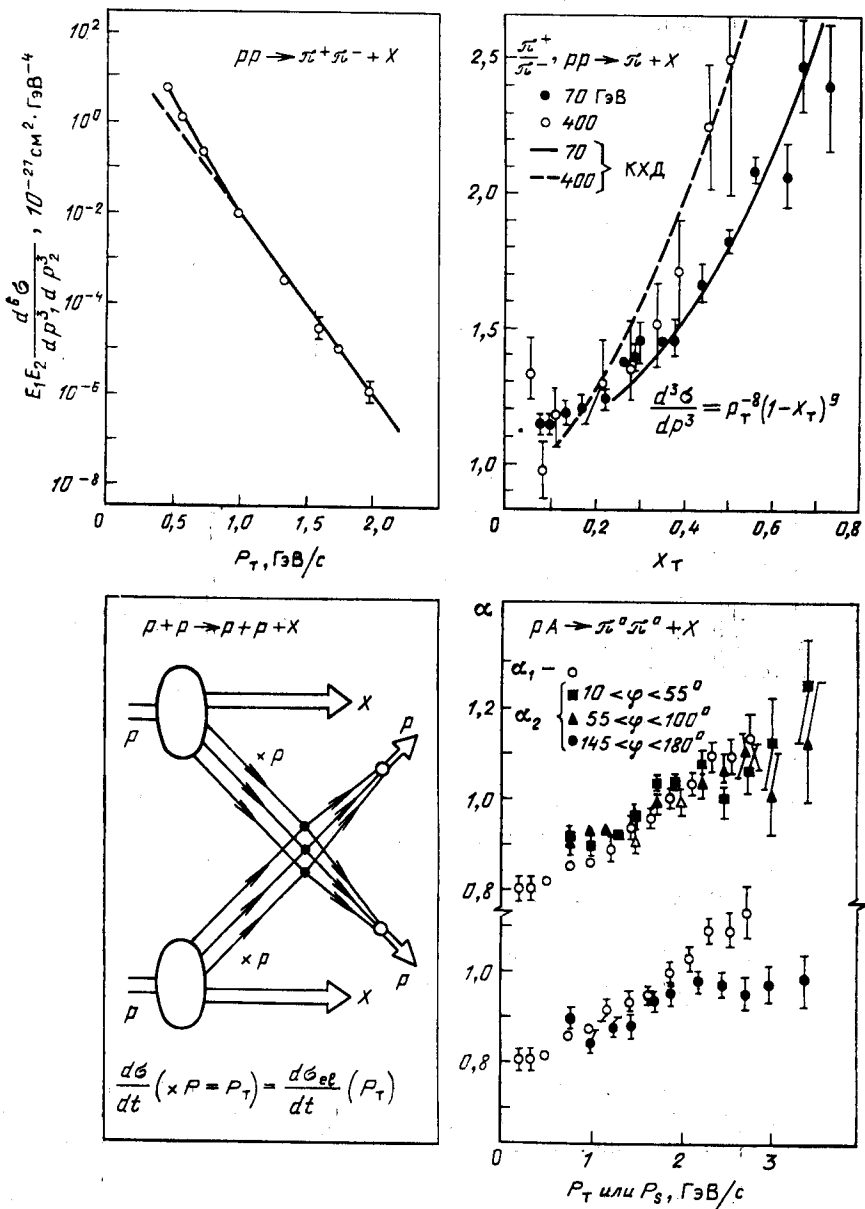


Рис. 24. Образование адронов и пар адронов в pp -соударениях при энергии 70 ГэВ в области больших P_T (X_T); φ -угол между π^0 -мезонами (см. текст)

7. ОБРАЗОВАНИЕ ТЯЖЕЛЫХ КВАРКОВ, ОЧАРОВАННЫЕ ЧАСТИЦЫ

Прелюдия к изучению тяжелых夸克ов на ускорителе ИФВЭ явился эксперимент, в котором были обнаружены «прямые» мюоны* [73] (т. е. не возникающие от распада пионов и каонов), образую-

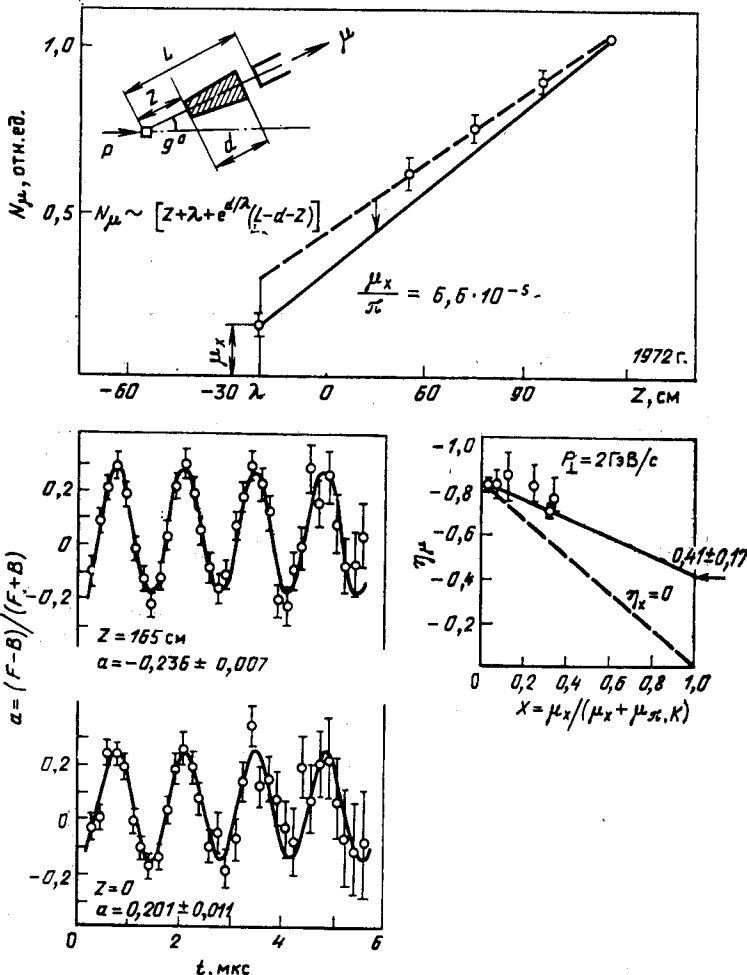


Рис. 25. Наблюдение прямых мюонов и измерение их поляризации: верхний рисунок показывает схему экстраполяции данных в эксперименте с изменяемой базой от мишени до детектора; нижние рисунки — осцилляции в распаде $\mu \rightarrow e\nu\nu$ и метод экстраполяции, используемый для определения поляризации прямых мюонов

* Позднее на ускорителе ИФВЭ наблюдались и прямые мюонные пары (континuum в области $1,3 < M_{\mu\mu} < 2,5$ ГэВ), образующиеся в π^-N -соударениях [74]. Их сравнение с последующими результатами, полученными при более высоких энергиях, подтвердило скейлинг, предсказанный моделью Дрэлла — Яна ($d^2\sigma/dM_{\mu\mu}^2 dX_F = f(\tau)$, $\tau = M_{\mu\mu}^2/s$), и позволило сделать вывод о росте среднего значения P_x с энергией [ИФВЭ].

щиеся с большими поперечными импульсами в протон-ядерных соударениях (рис. 25). Выход прямых мюонов по отношению к пионам составил всего лишь $7 \cdot 10^{-5}$. Образование таких мюонов в те годы, когда еще не были известны тяжелые кварки, не нашло объяснения, что стимулировало поиски источников прямых лептонов, приведшие в конце концов к открытию новых квантовых чисел — «очарования», а затем и «прелести». Результаты измерения продольной поляризации наблюдаемых мюонов (рис. 25) [73] пока не имеют интерпретации [ИФВЭ, МИФИ].

Программа изучения очарованных частиц, состоящих из тяжелых c -кварков, была начата на ускорителе ИФВЭ вскоре после обнаружения J/ψ -частиц в Брукхейвене и Станфорде. Измерения были

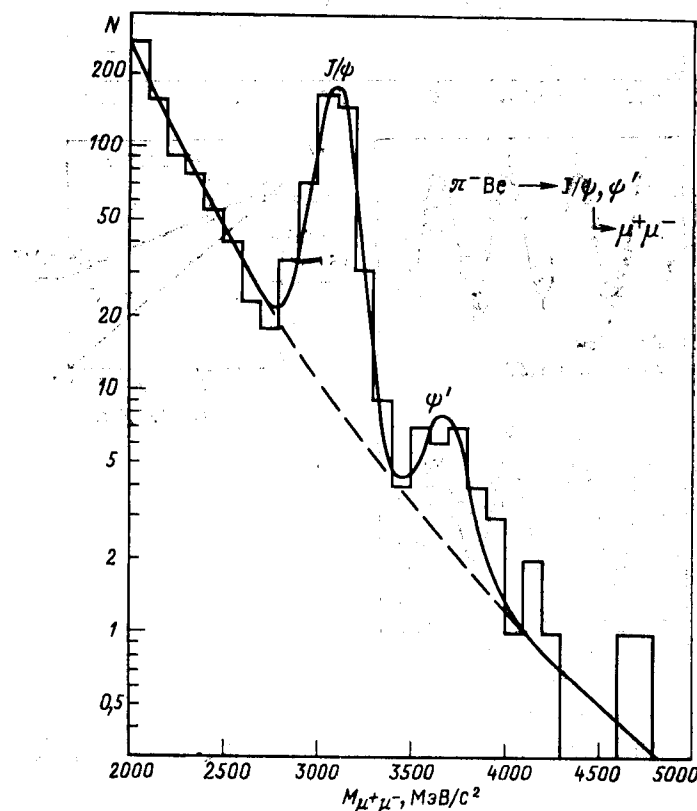


Рис. 26. J/ψ - и ψ' -частицы, наблюдавшиеся при импульсе 40 ГэВ/с по их распаду на мюонные пары в широкоярдном спектрометре

начаты на двух широкоапertureных спектрометрах. Эти эксперименты дали информацию об образовании скрытого чарма в $p\bar{p}$ -соударениях в околовороговой области энергий, где исследования осложнены малостью сечения. Были выделены как J/ψ -частицы, так и ψ' -частицы (рис. 26) [75] и показано, что механизмы их образования близки (половина J/ψ -частиц образуется каскадным образом — см. ниже) и, судя по адронному сопровождению, заметно отличаются от кварк-антикварковой аннигиляции, доминирующей в образовании тяжелых дрэлл-янновских пар лептонов. Было показано также, что вклад парного образования чарма мал [76].

В описываемых измерениях была подробно изучена динамика образования J/ψ -частиц в реакции



определенны зависимости сечения от P_t , X_F и A [74, 77]. При исследовании распределения по продольному импульсу было обнаружено (рис. 27), что максимум этого распределения лежит в области $X_F \approx 0,3$ [76]. Такая асимметрия распределения непосредственно отра-

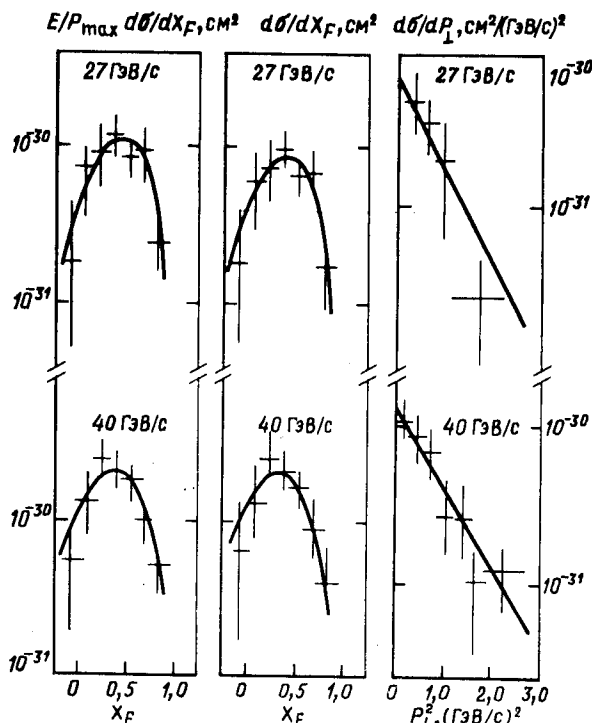


Рис. 27. Распределения J/ψ -частиц в реакции (17) по продольному и поперечному импульсам. Кривые — феноменологический фит [74]

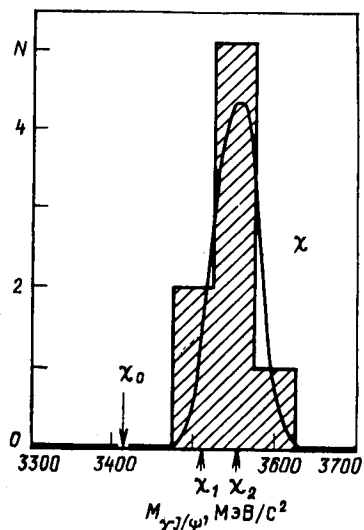


Рис. 28. Спектр масс $\gamma(J/\psi)$ -систем в π^-p -согласиях при импульсе 40 ГэВ/с: стрелками указаны значения масс χ_J -состояний с различными спинами J [χ_0 не наблюдается из-за малой вероятности распада (19)]; кривая — разрешение гаммоскопического спектрометра ($\sigma_M/M = 0,8\%$)

жает различие в кварковом составе между пионами (два кварка) и нуклонами (три кварка) [ИФВЭ].

Наряду с векторными очарованными частицами J/ψ и ψ' в околоспорговой области энергий были также изучены и C -четные состоя-

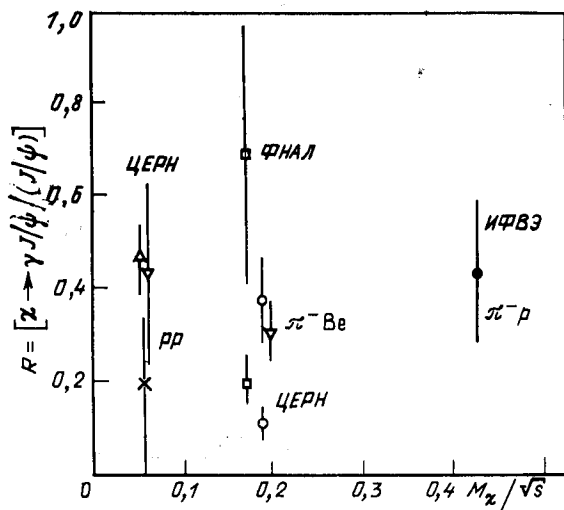


Рис. 29. Каскадное рождение чармония: доля $R J/\psi$ -частиц, образующихся в распаде $\chi \rightarrow J/\psi + \gamma$ (19), от их полного числа. Разброс данных при энергиях ФНАЛ и ЦЕРН со временем уменьшается

ния чармония — χ -частицы [78], образующиеся в реакции

$$\pi^- p \rightarrow \chi + \dots \quad (18)$$

и распадающиеся по каналу

$$\chi \rightarrow J/\psi + \gamma. \quad (19)$$

$$\downarrow \rightarrow e^+ e^-$$

Эта цепочка распадов регистрировалась при помощи многофотонного гodosкопического спектрометра.

В спектре масс γ (J/ψ)-систем (рис. 28) наблюдается пик, соответствующий образованию P -волновых cc -состояний 3P_1 и 3P_2 . Доля J/ψ -частиц, образующихся через распад χ -частиц, получена равной $0,44 \pm 0,16$ (рис. 29). Сечение образования χ -частиц вблизи порога показано на рис. 30. Как видно из рис. 31, для всех частиц со скрытым очарованием наблюдается скейлинг по переменной M/\sqrt{s} [ИФВЭ]:

$$\sigma(cc) \sim e^{-aM/\sqrt{s}}. \quad (20)$$

В заключение этого раздела остановимся на данных, полученных в эксперименте [79], об образовании Λ_c^+ -бариона, частицы с открытым

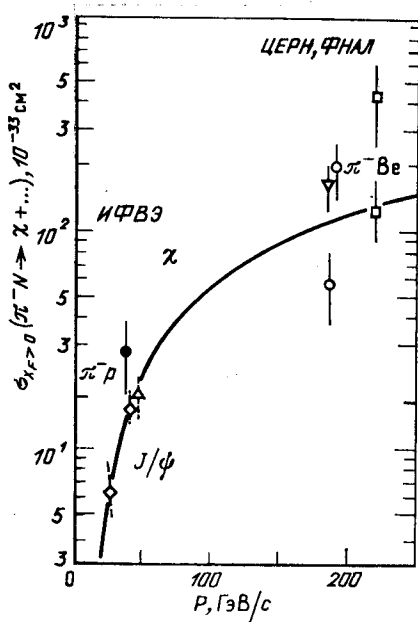


Рис. 30. Сечения образования χ -частиц в реакции (18) (темная точка и светлые точки справа). Кривая, а также светлые точки в области до 50 ГэВ/с — сечения реакции образования J/ψ -частиц (17)

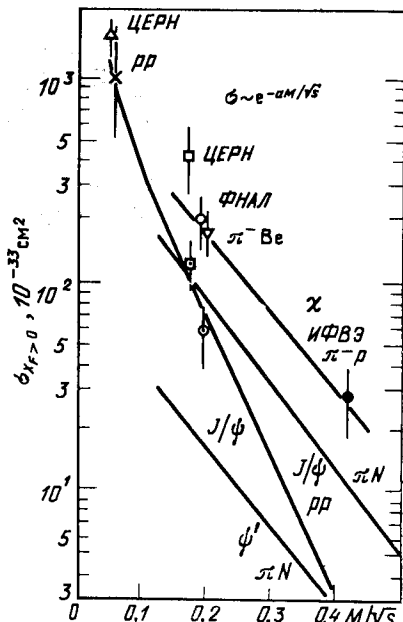


Рис. 31. Скейлинг в рождении чармония: сечения образования частиц со скрытым очарованием (cc): прямые — зависимости (20); точки — данные о χ -частицах

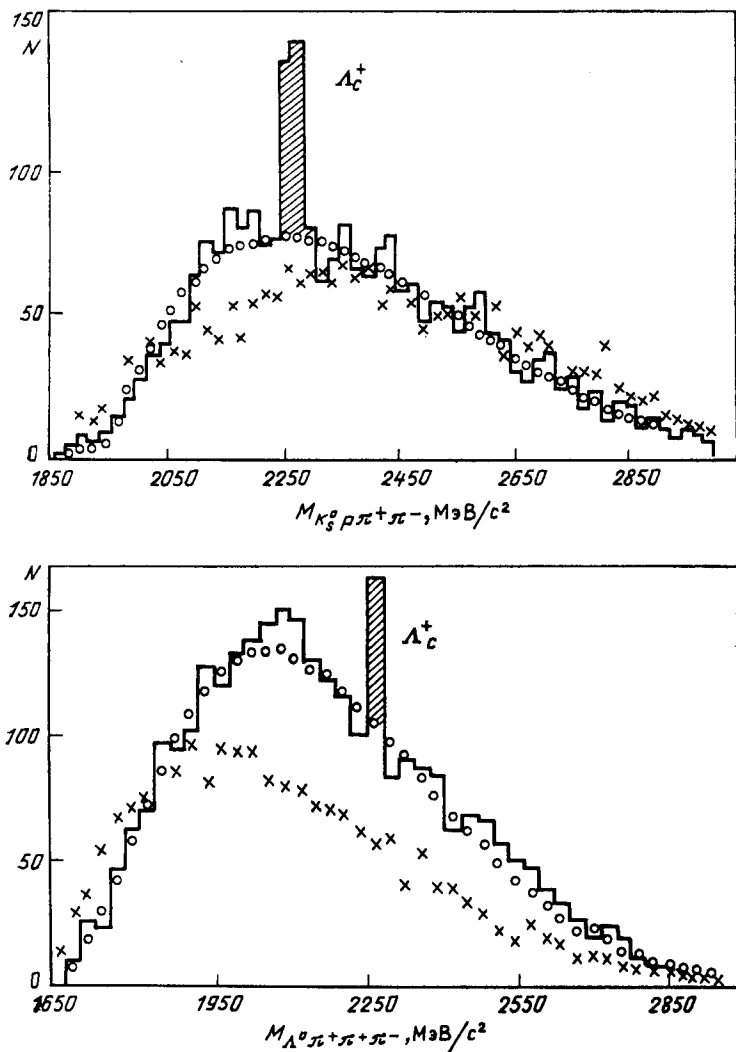


Рис. 32. Спектр масс $K_s^0 \pi^+ \pi^-$ -систем и $\Lambda^0 \pi^+ \pi^-$ -систем по данным [79]: стрелкой указано табличное значение массы Λ_c^0 -бариона; заштрихованные пики содержат 200 частиц; точки — полиномиальный фит фона; \times — спектры масс систем $K_s^0 \pi^+ \pi^-$ и $\Lambda^0 \pi^+ \pi^-$.

очарованием (кварковая структура — udc), при серпуховских энергиях нейтронами в реакции



На рис. 32 показаны полученные на спектрометре БИС-2 спектры масс $K_s^0 \pi^+ \pi^-$ - и $\Lambda^0 \pi^+ \pi^-$ -систем. В каждом из них четко выделяет-

ся пик — распад Λ_c^+ -бариона [ОИЯИ]. Трудность эксперимента в околовороговой области очевидна. Следующим важным этапом в этом исследовании явится измерение асимметрии распада частиц в пике и определение поляризации наблюдаемых частиц.

8. ЭЛЕКТРОМАГНИТНАЯ СТРУКТУРА АДРОНОВ

Определение эффективных размеров и структуры элементарных частиц является одной из центральных задач физики высоких энергий. Она особенно сложна, когда речь идет о нестабильных частицах.

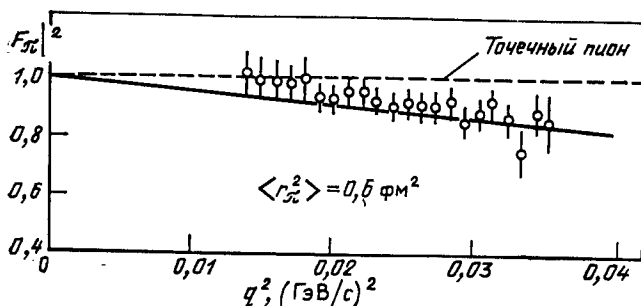


Рис. 33. Измерение формфактора π^- -мезона по его упругому рассеянию на электроне:
пунктирная прямая соответствует точечному пиону; сплошная — описание экспериментальных данных формфактором со среднеквадратичным радиусом (22)

Первым экспериментом этого класса, выполненным на ускорителе ИФВЭ, было исследование формфактора пиона [80]. С этой целью были прецизионно измерены дифференциальные сечения упругого рассеяния π^- -мезонов с импульсом 50 ГэВ/с на электронах и определена зависимость формфактора от переданного импульса. Эта зависимость показывает (рис. 33), что пион не является точечной частицей. Определенный по данным рис. 33 электромагнитный радиус π^- -мезона получен равным

$$\langle r^2 \rangle^{1/2} = (0,78 \pm 0,10) \text{ фм} \quad (22)$$

[ОИЯИ, США].

Исследование электромагнитной структуры η - и η' -мезонов было осуществлено путем изучения их редких радиационных распадов по каналу $\mu^+ \mu^- \gamma$ [81], а в случае ω -мезона — по каналу $\mu^+ \mu^- \pi^0$ [82] (об обнаружении этих распадов на ускорителе ИФВЭ см. в разд. 9). Изучение радиационных распадов, как видно из диаграммы на рис. 34, позволяет определить переходные электромагнитные формфакторы нестабильных мезонов: измеряя спектр масс мюонных пар (рис. 34, 35) (т. е. спектр энергий виртуальных фотонов), можно

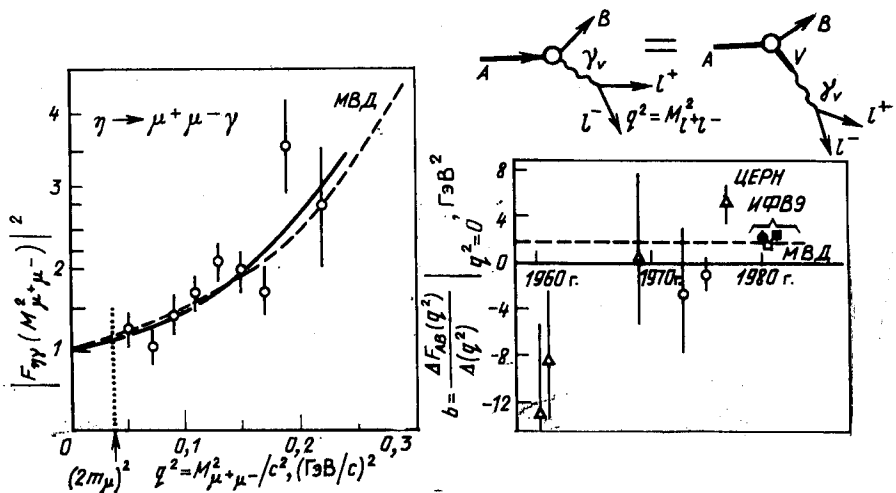


Рис. 34. Данные об электромагнитных формфакторах η - γ , η' - γ , ω - π^0 -мезонов: слева — квадрат формфактора η -мезона; точки — результат измерения спектра масс $M_{\mu\gamma}$ в распаде $\eta \rightarrow \mu^+ \mu^- \gamma$; сплошная кривая — результат описания данных зависимостью $F^2 \sim (1 - M_{\mu\gamma}^2 / \Lambda^2)^{-2}$, где $\Lambda = (0,72 \pm 0,09)$ ГэВ; пунктирная кривая рассчитана по модели векторной доминантности (МВД). Справа — наклоны¹ формфакторов при $q^2 = 0$: Δ — по распаду $\pi^0 \rightarrow e^+ e^- \gamma$; \circ — по распаду $\eta \rightarrow e^+ e^- \gamma$ (ЦЕРН, Брукхейвен); \bullet , \square и \blacksquare — по распадам $\eta \rightarrow \mu^+ \mu^- \gamma$, $\eta' \rightarrow \mu^+ \mu^- \gamma$ и $\omega \rightarrow \mu^+ \mu^- \pi^0$ (ИФВЭ)

«прощупать» вершины переходов $\eta - \gamma$, $\eta' - \gamma$, $\omega - \pi^0$ и узнать внутреннее строение мезонов.

Результаты измерений на ускорителе ИФВЭ показали, что электромагнитная структура исследованных мезонов неплохо описывается как МВД, так и в рамках КХД. Мировые данные по наклонам формфакторов η - γ , η' - γ и ω -мезонов (ИФВЭ) и π^0 - и η -мезонов (другие ускорители) при $q^2 = 0$, характеризующим «размеры» мезонов [81, 82], представлены на рис. 34 [ИФВЭ].

Кроме эффективного радиуса, частицы характеризуются еще одной константой — поляризумостью. Она измеряет «податливость» частицы, способность деформироваться в сильных электромагнитных полях. Эта величина ранее была известна лишь для протона. В эксперименте на ускорителе ИФВЭ [83] поляризумость удалось измерить и для нестабильной частицы — пиона. Для этого была использована реакция $\pi^- + \text{ядро} \rightarrow \pi^- + \text{ядро} + \gamma$ и отобраны такие события, когда при больших прицельных параметрах виртуальный фотон γ_v практически не отличается от реального, и тем самым может быть выделена реакция комптоновского рассеяния



Эта реакция наблюдалась при эквивалентной энергии фотона 60—600 МэВ в виде узкого пика в t -распределении (рис. 36). Из зави-

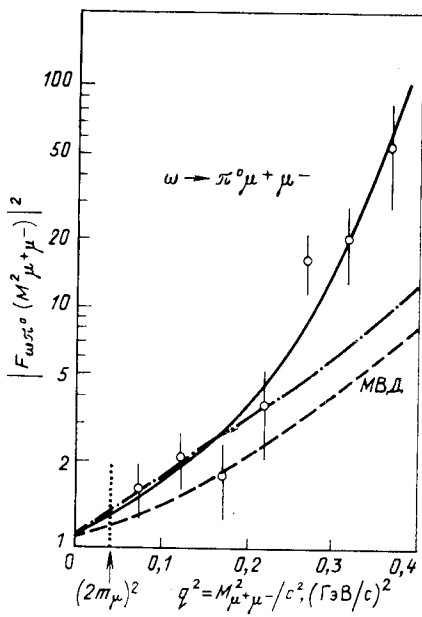


Рис. 35. Переходный электромагнитный формфактор ω -мезонов в распаде $\omega \rightarrow \mu^+\mu^-\pi^0$. Наклон формфактора при $q^2 = 0$ (рис. 34) и формфактор при больших q^2 несколько выше предсказаний МВД

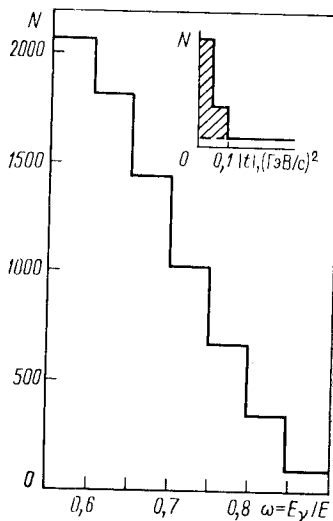


Рис. 36. Комптон-эффект на пионе: распределение событий реакции (23) по относительной энергии фотона ($E = 40$ ГэВ — энергия пучка пионов). Реакция комптоновского рассеяния выделена по узкому пику при малых $|t|$ (показано на вставке)

симости сечения от энергии фотона (рис. 36) определена поляризуемость пиона (рис. 37);

$$\alpha_\pi = (6,8 \pm 1,4) \cdot 10^{-43} \text{ см}^3. \quad (24)$$

Она в 1,5 раза меньше поляризуемости протона (т. е. пион является более «жесткой» частицей) [ИФВЭ, ОИЯИ].

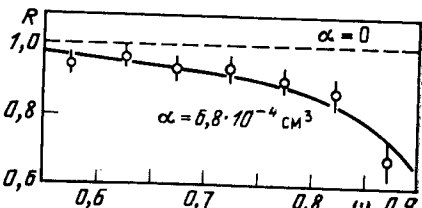


Рис. 37. Поляризуемость пиона: зависимость отношения R экспериментальных и вычисленных при $\alpha_\pi = 0$ значений сечения $d\sigma/d\omega$ от ω . Кривая соответствует теоретической зависимости с поляризуемостью (24)

9. РЕДКИЕ РАСПАДЫ МЕЗОНОВ

Программа экспериментов по поиску и исследованию редких распадов мезонов ($BR \lesssim 10^{-3}$) была начата в ИФВЭ шесть лет назад на базе созданных комбинированных спектрометров, способных регистрировать заряженные частицы и γ -кванты, и многофотонных гodosкопических спектрометров типа ГАМС. В числе первых были обнаружены электромагнитные распады псевдоскалярных мезонов [81]

$$\eta \rightarrow \mu^+ \mu^- \gamma \quad (25)$$

с относительной шириной распада $BR = (3,1 \pm 0,4) \cdot 10^{-4}$ (рис. 38) и

$$\eta' \rightarrow \mu^+ \mu^- \gamma, \quad (26)$$

$BR = (9 \pm 2) \cdot 10^{-5}$ (см. рис. 38), а также распад ω -мезона [82]

$$\omega \rightarrow \mu^+ \mu^- \pi^0, \quad (27)$$

$BR = (9,6 \pm 2,3) \cdot 10^{-5}$ — см. тот же рисунок. Исследование этих распадов позволило изучить электромагнитную структуру указанных мезонов (см. разд. 8) [ИФВЭ].

В том же цикле экспериментов был исследован редкий распад η -мезона

$$\eta \rightarrow \mu^+ \mu^- \pi^0 \quad (28)$$

электромагнитный процесс четвертого порядка. В предыдущих измерениях для распада (28) было получено значение BR , в несколько

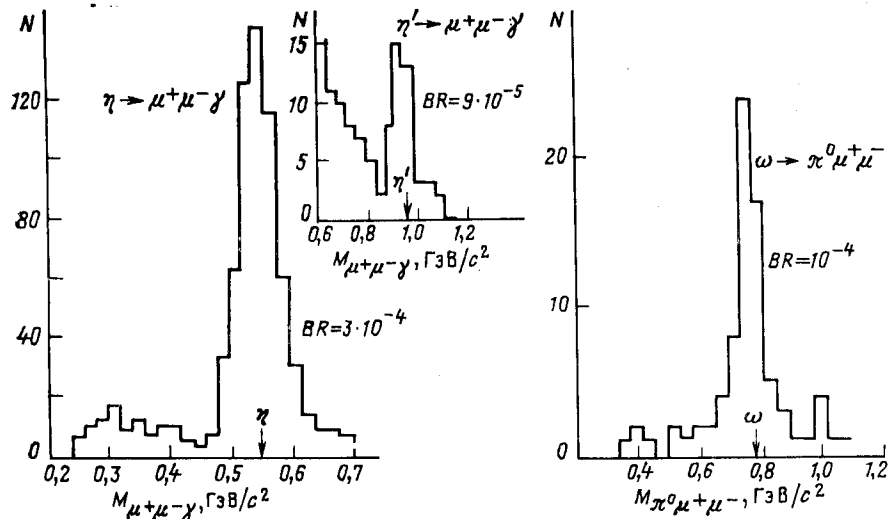


Рис. 38. Наблюдение редких электромагнитных распадов η -, η' - и ω -мезонов (25) — (27). Стрелками указаны табличные значения масс мезонов. Источником моноэнергичных мезонов служили зарядовоизмененные реакции (14) при импульсе 30—40 ГэВ/с

раз превышающее теоретические оценки, основанные на унитарности и данных об электромагнитной структуре η -мезона (см. выше). В измерениях на ускорителе ИФВЭ [84] было определено значение

$$BR(\eta \rightarrow \mu^+ \mu^-) = (6,5 \pm 2,1) \cdot 10^{-6}, \quad (29)$$

втрое меньшее ранее опубликованного, что устранило указанное выше противоречие с теорией.

Поиски распада η -мезона

$$\eta \rightarrow \pi^0 \gamma\gamma \quad (30)$$

были предприняты на ускорителе ИФВЭ в связи с тем, что эксперименты, выполненные ранее в других лабораториях, давали очень

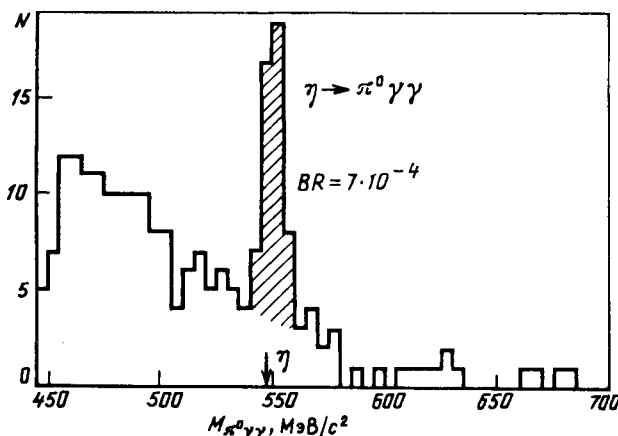


Рис. 39. Проблема η -мезона (1966—1981 гг.): наблюдение распада (30) и определение его вероятности:

пик в спектре масс $\pi^0 \gamma\gamma$ -систем, образованных в реакции (14), при импульсе 30 ГэВ/с соответствует распаду η -мезона на π^0 -мезон и фотонную пару; фон слева от пика связан с интенсивным распадом $\eta \rightarrow 3\pi^0$; стрелкой указано табличное значение массы η -мезона. Ширина пика определяется аппаратурным разрешением годокопического спектрометра ($\sigma_M/M = 1\%$)

большую, сначала 20 %, а затем $\approx 3\%$, вероятность этого распада, что резко (в 100 раз) противоречило предсказаниям модели векторной доминантности и в течение 15 лет составляло известную «проблему η -мезона», ставившую под сомнение такие фундаментальные схемы, как РСАС, алгебра токов и др.

Первые же измерения в ИФВЭ [85] обнаружили, что вероятность этого распада по крайней мере в десятки раз ниже, чем следовало из предыдущих экспериментов. Этот результат снял указанную выше проблему.

Дальнейшие поиски распада (30) завершились его обнаружением (рис. 39) [86] на уровне

$$BR(\eta \rightarrow \pi^0 \gamma\gamma) = (7,1 \pm 1,7) \cdot 10^{-4}. \quad (31)$$

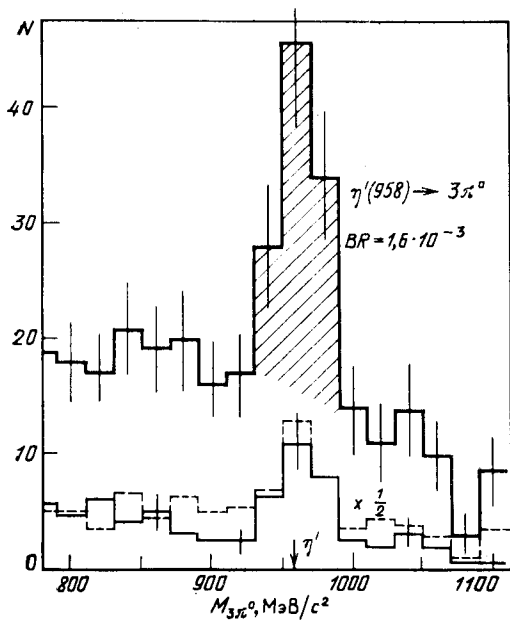


Рис. 40. Спектр масс $3\pi^0$ -систем в реакции $\pi^- p \rightarrow 3\pi^0 n$ (данные трех сеансов измерений при импульсах от 30 до 40 ГэВ/с в 1980—1982 гг.):

жирная гистограмма — суммарные данные; стрелкой указано табличное значение массы η' -мезона. Пик соответствует распаду (33). Ширина пика равна собственному разрешению гаммоскопического спектрометра, зарегистрировавшего 6 γ -квантов в этом распаде ($\sigma_M/M = 1.5\%$)

Этот результат свидетельствует в пользу модели векторной доминантности и отвергает ряд схем (е-доминантность, киральные схемы) [ИФВЭ, ЦЕРН].

При изучении $\eta\eta$ -систем в этом же цикле экспериментов (см. ниже) был обнаружен редкий распад f -мезона на два η -мезона [87]:

$$f \rightarrow \eta\eta, \quad (32)$$

вероятность которого составила $3 \cdot 10^{-3}$, что близко к значению, ожидаемому в рамках $SU(3)$ -симметрии [ИФВЭ, ЦЕРН].

Последний в этой серии экспериментов редкий трехпионный распад псевдоскалярного η' (958)-мезона

$$\eta' \rightarrow 3\pi^0 \quad (33)$$

был обнаружен в конце 1983 г. Интерес к нему обусловлен известной $U(1)$ -проблемой, связанной со спектром масс и динамикой (распадами) псевдоскалярных мезонов. Механизм распада (33), идущего с нарушением изospина, обусловлен, в конечном счете, неравенством масс токовых («голых») u - и d -кварков, поэтому распад является источником информации о такой фундаментальной величине, как отношение масс m_u/m_d .

Распад (33) был выделен экспериментально [88] среди продуктов реакции $\pi^- p \rightarrow 3\pi^0 n$ с последующим распадом $3\pi^0 \rightarrow 6\gamma$ (рис. 40). Вероятность распада получена равной

$$BR(\eta' \rightarrow 3\pi^0) = (1.6 \pm 0.4) \cdot 10^{-3}. \quad (34)$$

Из этого результата следует для отношения масс токовых кварков [89]:

$$m_u/m_d = 0.44 \pm 0.08 \quad (35)$$

[ИФВЭ, ЦЕРН].

10. МЕЗОНЫ С ВЫСОКИМИ СПИНАМИ. СИСТЕМАТИКА МЕЗОНОВ

Развитие квантовой хромодинамики выдвинуло на первый план как магистральное направление физики элементарных частиц исследование их кварк-глюонного строения, изучение потенциала глюонного взаимодействия夸克ов. При этом особое внимание

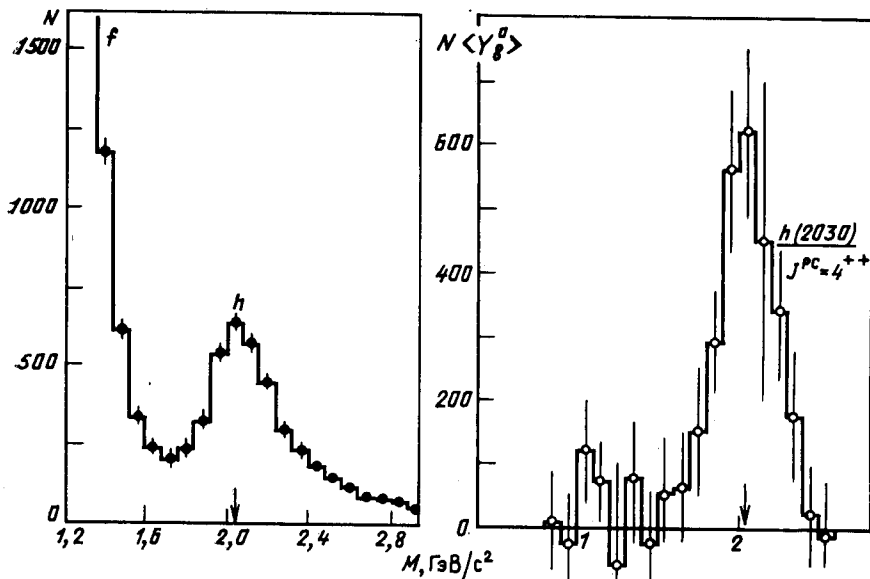


Рис. 41. Обнаружение h -мезона: спектр масс $\pi^0\pi^0$ -систем в реакции (14) при импульсе $40 \text{ ГэВ}/c$ (слева);

отобраны события в интервале $\cos \theta_{GJ} > 0,5$ (θ_{GJ} — полярный угол распада в системе Готтфрида — Джексона), где сигнал от высоких спинов усилен. На рисунке видны «хвост» от интенсивного f -мезонного пика и пик, соответствующий образованию h -мезона с массой 2030 МэВ (указано стрелкой); справа — восьмой момент сферической гармоники для угловых распределений распада $M^0 \rightarrow \pi^0\pi^0$ в реакции (14); резонансное поведение этого момента ($2J$) отвечает частице со спином $J = 4$

в последние годы привлекают мезоны с высокими спинами — при изучении их можно «прощупать» глюонные силы на больших расстояниях между夸克ами (проблема конфайнмента).

Программа систематических исследований в этом направлении была начата на ускорителе ИФВЭ с изучения дипионных систем, на которые могут распадаться мезоны с высокими спинами. Предметом поиска являлся h -мезон — предполагаемое синглетное $q\bar{q}$ -состояние со спином $J = 4$, продолжающее последовательность дипионов с естественной спин-четностью $P = (-1)^J : \rho, f, g \dots$. Трудности поиска этой частицы связаны с большим ожидаемым значением ее массы ($\approx 2 \text{ ГэВ}/c^2$), благодаря чему ее распады должны идти в основном по каналам с большой множественностью.

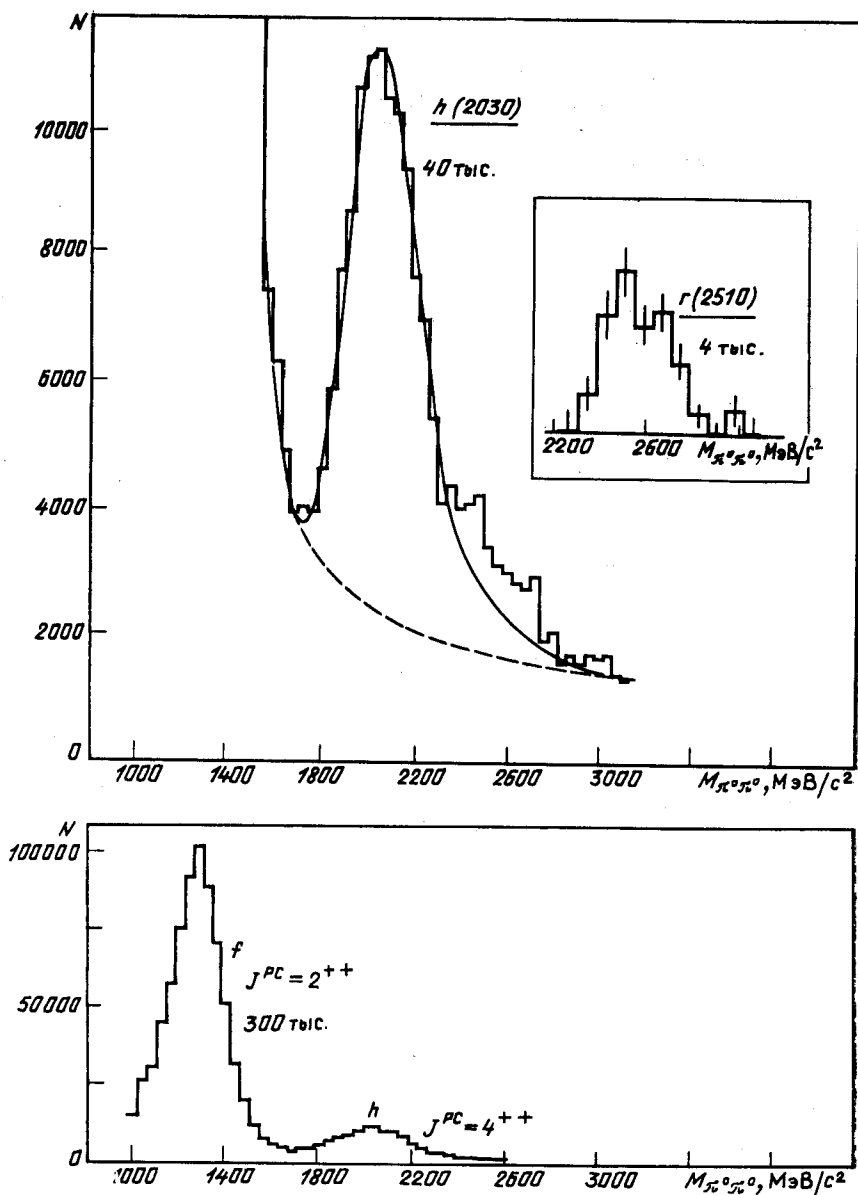


Рис. 42. Массовый спектр $\pi^0\pi^0$ -систем в реакции (14) при энергии 38 ГэВ, аналогичный рис. 41, но измеренный многофотонным гаммоскопическим спектрометром (отметим, что h -пик содержит здесь уже не 2 тыс. событий, как на рис. 41, а 40 тыс. событий). На вставке показан избыток событий над кривой, описывающей вклад f - и h -мезонов

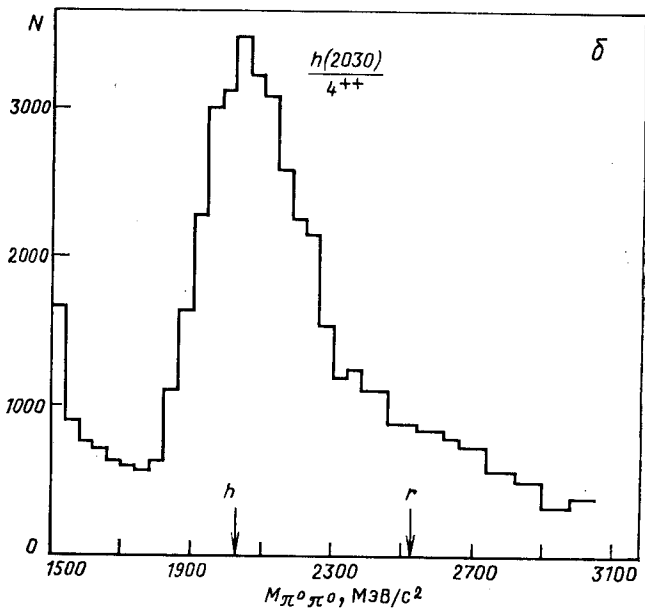
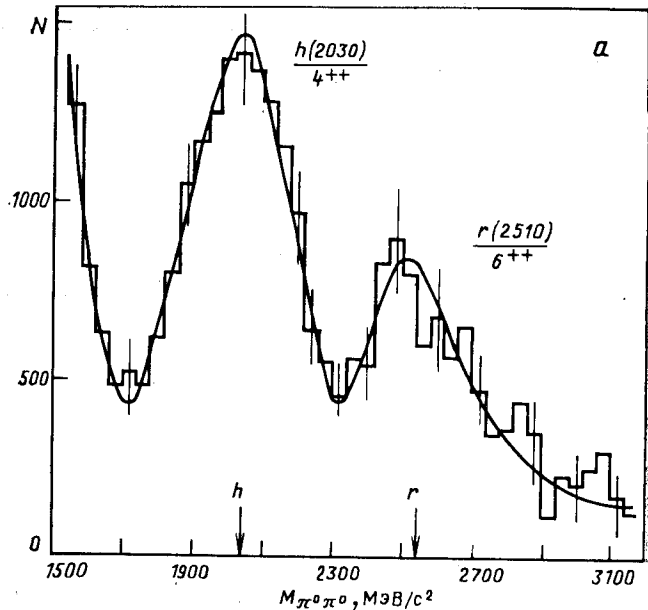


Рис. 43. Обнаружение $r(2510)$ -мезона: спектр масс $\pi^0\pi^0$ -систем в реакции (14):
 a — спектр при отборе событий в интервале углов $0.75 < \cos \theta_{GJ} < 0.8$, благоприятствующем выделению состояний со спином $J = 6$; b — спектр при отборе событий в соседнем интервале $0.625 > \cos \theta_{GJ} < 0.7$, где волна с $J = 6$ подавлена (контрольный эксперимент).

Стрелками указаны значения масс h - и r -мезонов

Эксперименты по поиску h -мезона [90] были проведены при импульсе пионного пучка 40 ГэВ/с. Для выделения возможного процесса

$$\pi^- p \rightarrow hn \\ | \rightarrow \pi^0 \pi^0 \rightarrow 4\gamma \quad (36)$$

использовался созданный в ИФВЭ многоканальный гodosкопический

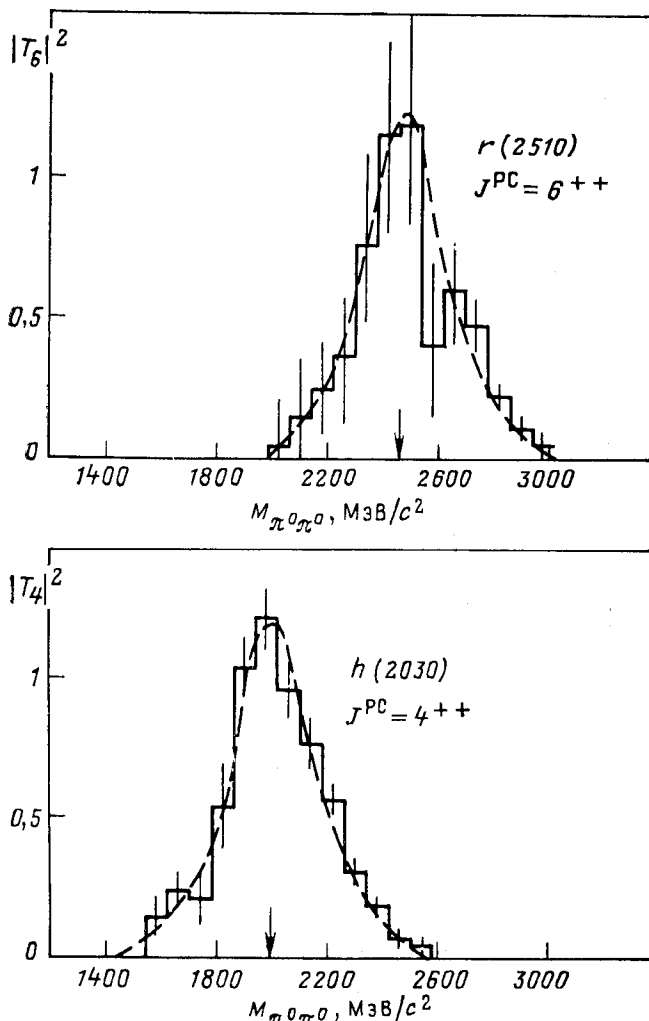


Рис. 44. Мезоны с высшими спинами: результат парциально-волнового анализа — квадраты амплитуд волн с J , равным 4 и 6. Пики соответствуют h (2030)- и r (2510)-мезонам, табличные значения масс которых указаны стрелками

Рис. 45. Спины и массы синглетных мезонов на диаграмме Чу — Фраучи:
прямая — зависимость (39), проведенная через f -, h - и r -мезоны

спектрометр, регистрирующий продукты реакции (36). Обнаруженный в этих экспериментах h -мезон* (рис. 41) обладает массой и шириной распада

$$M_h = (2030 \pm 25) \text{ МэВ}/c^2,$$

$$\Gamma_h = (190 \pm 30) \text{ МэВ}/c^2. \quad (37)$$

Анализ угловых распределений распада $h \rightarrow \pi^0\pi^0$ (рис. 41) фиксировал квантовые числа этой новой тяжелой частицы: $J^{PC} = 4^{++}$, $I^G = 0^+$ [ИФВЭ, ЦЕРН].

Позже в других лабораториях было изучено еще несколько мод распада h -мезона, найден его «странный» партнер по 4^+ -ноннету K^* (2060), а также несколько взаимоисключающих [92] кандидатов в изотриплет.

Развитие методики гаммоскопических спектрометров в ИФВЭ сделало возможным провести на 70-ГэВ ускорителе поиски мезонов с еще более высокими спинами. Эти эксперименты завершились обнаружением r -мезона [93], частицы со спином-четностью 6^{++} . r -Мезон был выделен как в массовом спектре $\pi^0\pi^0$ -систем (рис. 42), так и по характерному угловому распределению распада частицы со спином $J = 6$ (рис. 43). Те же результаты были получены на основании парциально-волнового анализа (рис. 44).

Измеренные масса и ширина распада r (2510)-мезона равны

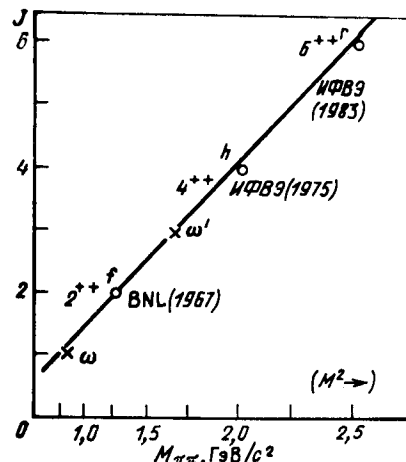
$$M_r = (2510 \pm 30) \text{ МэВ}/c^2, \quad \Gamma_r = (240 \pm 60) \text{ МэВ}/c^2. \quad (38)$$

r (2510)-Мезон продолжает на диаграмме Чу — Фраучи последовательность синглетных мезонов f , $h \dots$, входящих в четные ноннеты ($J = 2, 4 \dots$). Обращает на себя внимание точность, с которой выполняется линейная зависимость спина от квадрата массы мезона (рис. 45):

$$J = aM^2 + b, \quad (39)$$

отражающая особенности взаимодействия夸克ов через глюоны на большом расстоянии (отметим, что такой результат дает схема релятивистской струны). На этой же прямой расположены и нечетные синглеты ω и ω' (вырождение).

* Внесено в Государственный реестр открытий СССР [91].



Сравнение выходов f -, h - и r -мезонов в реакции (14) показывает что сечение образования мезонов $\sigma \cdot BR$ экспоненциально падает с ростом спина:

$$\sigma (\pi^- p \rightarrow M^0 n) \cdot BR (M^0 \rightarrow \pi^0 \pi^0) \sim e^{-0.9J}, \quad (40)$$

что согласуется с теоретическими оценками [ИФВЭ, ЦЕРН].

Систематика мезонов, знание которой так важно для развития КХД, еще далека от завершения (см., например, рис. 46). Не запол-

$J^P I$	\rightarrow	0	1/2	1	0
↓		Sинглет	Октом		
0^+		<u>$\varepsilon(1250)$</u> ? $\chi(1350)$ $\delta(980)$ $S^*(975)$			Природа nonета сложна, возможна примесь $\rho\pi\pi$
1^-		$\omega(785)$ $K^*(890)$ $\rho(770)$ $\varphi(1020)$			Nonet заполнен
2^+		$f(1270)$ $K^*(1430)$ $A_2(1320)$ $f'(1525)$			Nonet заполнен
3^-		$\omega(1670)$ $K^*(1780)$ $g(1690)$ (?)			
4^+		<u>$h(2030)$</u> $K^*(2050)$ (?) (-)			
5^-		(-)	(-)	(?)	(-)
6^+		<u>$r(2510)$</u>	(-)	(?)	(-)

$$\rho = (-1)^J$$

Рис. 46. Систематика $SU(3)$ -nonетов мезонов с естественной спин-четностью по данным к концу 1983 г. [92]:

(?) — есть кандидаты, но данные противоречивы; (—) — нет кандидатов

нены многие $SU(3)$ -nonеты, мало что известно о радиальных возбуждениях мезонных состояний как qq -систем. Эксперименты по поиску таких возбужденных состояний были проведены на магнитно-искровом оптическом спектрометре, экспонировавшемся в пучке π^- -мезонов с импульсом 40 ГэВ/с [94, 95]. Для поиска бозонных резонансов была использована реакция когерентного образования $\pi^+\pi^-\pi^-$ систем на ядрах.

Парциально-волновой анализ выделенных трехпционных событий обнаружил (рис. 47) существование двух S -волновых резонансов

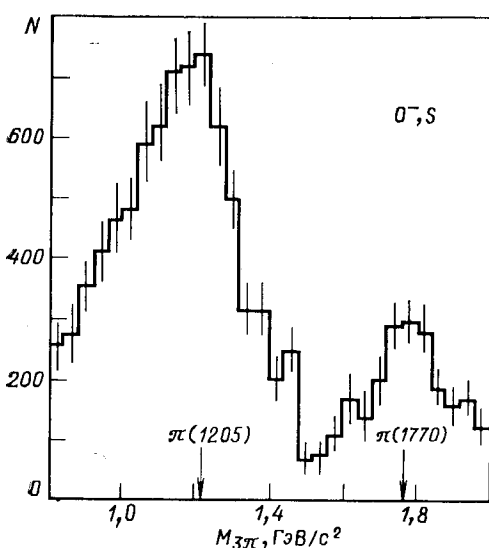


Рис. 47. Радиальные возбуждения пиона: S -волновой спектр масс 3π -систем в реакции когерентного образования $\pi^-\pi^+\pi^+$, $J^P = 0^-$. Стрелками указаны значения масс (41) и (42)

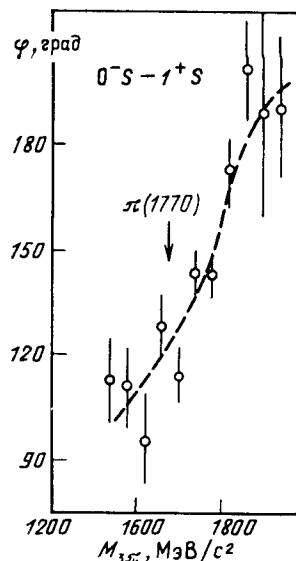


Рис. 48. Изменение фазы 0^-S -состояния относительно 1^+S -состояния 3π -системы в области $\pi(1770)$ -мезона:
кривая — поведение фазы в случае резонанса в 0^-S -волнах. Поведение разности фаз в районе $\pi(1205)$ аналогично

с квантовыми числами пиона ($J^P = 0^-$). Их массы и ширины распада равны

$$M_\pi = (1205 \pm 7) \text{ МэВ/с}^2, \quad \Gamma_\pi = (320 \pm 35) \text{ МэВ/с}^2 \quad (41)$$

и

$$M_\pi = (1770 \pm 40) \text{ МэВ/с}^2, \quad \Gamma_\pi = (210 \pm 30) \text{ МэВ/с}^2. \quad (42)$$

Резонансный характер наблюдаемых состояний $\pi(1205)$ и $\pi(1770)$ подтверждает характерное для резонанса быстрое изменение фазы на 90° — см., например, рис. 48 [ОИЯИ, ЦЕРН].

Интересные результаты по систематике мезонных состояний получены в экспериментах на бесфильмовом шестиметровом магнитно-искровом спектрометре в пучке π^- -мезонов с импульсом 40 ГэВ/с. Здесь в реакции



изучена $\Lambda \bar{\Lambda}$ -система [96] (на уровне статистики, намного превышающем мировой), особо удобная для поиска тяжелых (> 2 ГэВ) резонан-

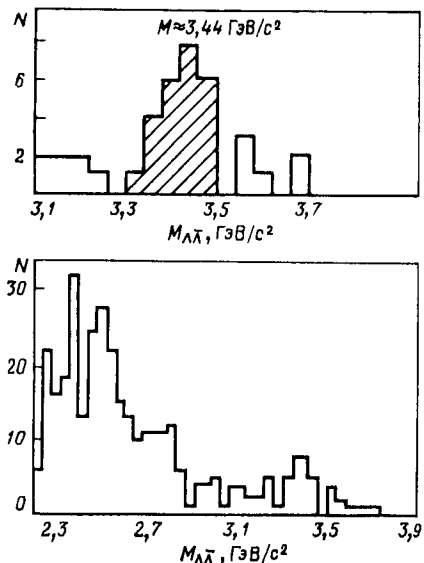
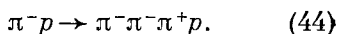


Рис. 49. Спектр масс $\Lambda\bar{\Lambda}$ -систем в реакции (43). Заштрихована область резонанса с массой 3,44 ГэВ; $|\cos \theta_{GJ}| < 0,8$

сов. Анализ полученных угловых распределений $\Lambda\bar{\Lambda}$ -систем указывает на существование в области масс 2,3–2,8 ГэВ/ c^2 нескольких резонансов. В массовом спектре проявляется пик (рис. 49), соответствующий резонансу с массой, более чем втрое превосходящей массу протона: 3,44 ГэВ/ c^2 [ИТЭФ].

В заключение этого раздела остановимся на систематических исследованиях трехчастичных бозонных состояний [97] в реакции



Здесь был доказан резонансный характер A_2 -мезона как S -волнового $\rho\pi$ -состояния (рис. 50), установлено существование тяжелого мезона (A_4) с массой $\approx 2,1$ ГэВ/ c^2 , $J^P = 3^+$, распадающегося на г.п.

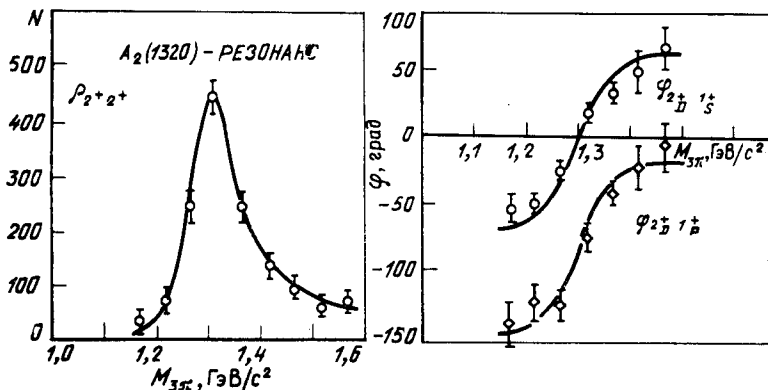


Рис. 50. Массовая зависимость амплитуды 2+D-волны в реакции (44) (вверху). Внизу показаны фазы интерференции 2+D-состояния с 1+S- и 1+D-состояниями. Кривые — описание данных релятивистской функцией Брейта — Вигнера

В этих же экспериментах на бозонном спектрометре, начавших в 1971 г. программу исследования систематики мезонов на ускорителе ИФВЭ [98], были «закрыты» узкие мезонные резонансы (так называемые S -, T -, U -мезоны) [ИФВЭ, ЦЕРН].

11. ГЛЮОНИЙ

Современная схема взаимодействий элементарных частиц базируется на глубокой аналогии между сильным и электромагнитным взаимодействиями, переносчиками которых являются безмассовые векторные частицы — кванты поля (соответственно глюоны и фотоны). Однако наряду с этим сходством между ними существует фундаментальное различие — в отличие от фотонов глюоны несут заряд (цвет). Это открывает, в рамках КХД, наряду с кварковой, глюонную степень свободы — глюоны могут взаимодействовать друг с другом. Вывод о возможном существовании связанных глюонных состояний (глюоний, глюбол) [99], т. е. частиц нового типа, построенных не из кварковой, а из глюонной материи, является одним из важнейших результатов КХД.

Эксперименты по поиску глюболов были начаты несколько лет назад и интенсивно развиваются на ускорителях в Станфорде, ИФВЭ, Брукхейвене и ЦЕРН. В этих лабораториях было обнаружено несколько ранее неизвестных мезонных состояний с необычными свойствами — кандидатов в глюболовы. Поиски глюболов осложнены тем, что у них нет, как правило, какого-нибудь одного признака, позволяющего однозначно отличить их от обычных qq -состояний.

Для систематики глюония, которая должна быть не менее богата, чем в случае кваркония, особый интерес представляют скалярные состояния со спин-четностью $J^{PC} = 0^{++}$. Одной из привлекательных возможностей поиска таких глюболов является исследование $\eta\eta$ -систем, на которые могут распадаться глюболовы (так, например, был обнаружен θ -мезон, кандидат в глюбол с $J^P = 2^+$). Эксперименты в этом направлении были осуществлены на ускорителе ИФВЭ при помощи многофотонного гodosкопического спектрометра.

В качестве источника $\eta\eta$ -состояний была использована наблюдавшаяся ранее в опытах ИФВЭ реакция типа (14)



при импульсе 38 ГэВ/*c* [87]. Полученные угловые распределения $\eta\eta$ -систем обнаруживают сложную резонансную структуру парциальных волн в области масс до 2 ГэВ/*c*². Независимый парциально-волновой анализ, выделивший *S*- и *D*-волны (рис. 51), наряду с резонансом в *D*-волне, соответствующим редкому распаду $f \rightarrow \eta\eta$ [см. (32)] с не-большой примесью распада $f' \rightarrow \eta\eta$, обнаружил резонанс в *S*-волне с массой 1,6 ГэВ/*c*², проявляющийся как в модуле, так и в фазе амплитуды (рис. 51).

Новая скалярная частица, *G* (1590)-мезон, имеет массу и ширину

$$M_G = (1592 \pm 25) \text{ МэВ}/c^2, \quad \Gamma_G = (210 \pm 40) \text{ МэВ}/c^2. \quad (46)$$

Ее квантовые числа — $J^{PC} = 0^{++}$, $I^G = 0^+$ [ИФВЭ, ЦЕРН].

Необычным свойством G (1590)-мезона, не укладывающимся в схему $SU(3)$, является его слабая связь с пионной парой:

$$BR(G \rightarrow \pi^0\pi^0)/BR(G \rightarrow \eta\eta) < 1/5 \quad (47)$$

[для $(u\bar{u} + d\bar{d})$ -мезона это отношение должно быть больше на порядок]. Малость $BR(G \rightarrow KK)$ исключает интерпретацию $G(1590)$ -мезона как ss -состояния, либо как четырехкварковой системы.

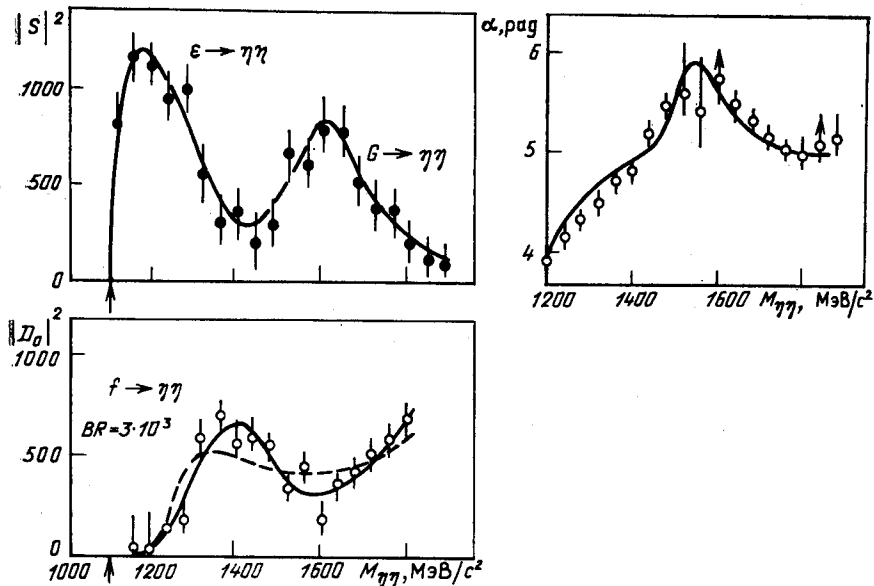


Рис. 51. Обнаружение G (1590)-мезона: парциальные волны в реакции (45) в области масс от порога (указан стрелкой) до $1,9 \text{ ГэВ}/c^2$: слева — интенсивность S - и D -волны, справа — фаза между ними; кривые — результат фита с учетом брейт-вигнеровских резонансов G , f и f' (пунктир — без учета f')

Эти необычные свойства G (1590)-мезона находят объяснение в рамках глюония. Как глубокий G (1590)-мезон должен обладать еще одним свойством: благодаря действию механизма глюонного обесцвечивания и в силу того, что η' -мезон очень сильно связан с gg -парой, он должен усиленно распадаться по каналу $G \rightarrow \eta'\eta$ [100].

Исследования $\eta'\eta$ -состояний были проведены на ускорителе ИФВЭ в этом же цикле экспериментов [101]. Была выделена реакция



и показано, что в ней доминирует вблизи порога распад скалярного мезона с параметрами, совпадающими с G (1590)-мезоном (рис. 52).

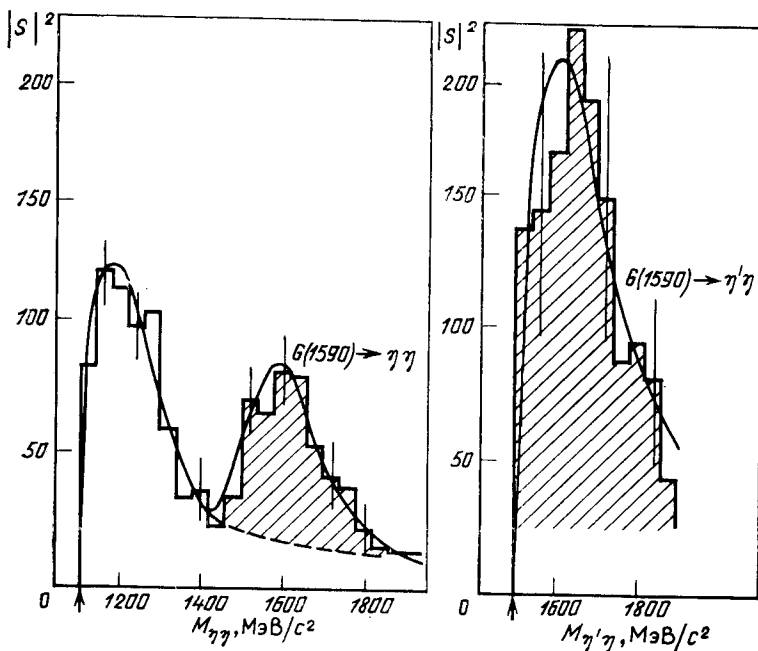


Рис. 52. Интенсивность S -волны в реакциях (45) и (48):
заштрихована область $G(1590)$ -мезона; кривые — результат фита (см. предыдущий рисунок)

Отношение вероятностей распада по каналам $\eta'\eta$ и $\eta\eta$ получено равным

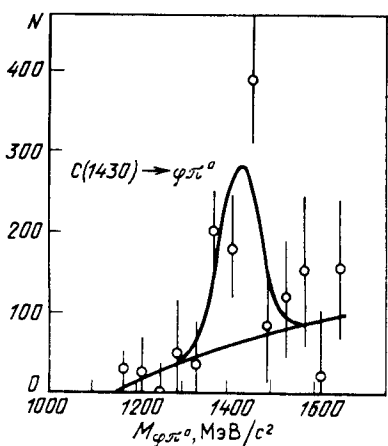
$$\frac{BR(G \rightarrow \eta'\eta)}{BR(G \rightarrow \eta\eta)} = 2,7 \pm 0,8, \quad (49)$$

что находится в согласии с значением, ожидаемым для глюболя [100] [ИФВЭ, ЦERN].

Наблюдаемое значительное (в 7 раз для квадратов матричных элементов) усиление распада $G(1590)$ -мезона по каналу $\eta'\eta$ по сравнению с $\eta\eta$ (а последний, в свою очередь, усилен на порядок величины по сравнению с каналами $\pi\pi$ и KK) является характерным признаком глюболя.

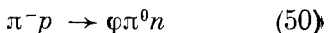
12. МНОГОКВАРКОВЫЕ И ДРУГИЕ ЭКЗОТИЧЕСКИЕ СОСТОЯНИЯ

Квантовая хромодинамика допускает также существование и более сложных частиц — мезонов, построенных из четырех夸克ов $qq\bar{q}\bar{q}$ (возможно, к ним принадлежит δ -мезон [102, 103]), многокварковых барионов (например, $qqq\bar{q}\bar{q}$), а также гибридных состояний типа $q\bar{q}g$ и др. Эксперименты на ускорителе ИФВЭ выявили несколько состо-



яний, которые, возможно, окажутся в дальнейшем такими экзотическими объектами.

Одно из них наблюдается в системе фп⁰, изученной на комбинированном спектрометре в реакции



при импульсе 32,5 ГэВ/с [104]. В измеренном спектре массе фп⁰-

систем (рис. 53) наблюдается резонансная структура $C(1430)$ с массой и шириной

$$M_C = (1430 \pm 20) \text{ МэВ/с}^2, \quad \Gamma_C = (100 \pm 30) \text{ МэВ/с}^2. \quad (51)$$

Это состояние имеет изоспин $I = 1$, отрицательную C -четность и, судя по угловым распределениям распада, спин $J > 0^*$ [ИФВЭ].

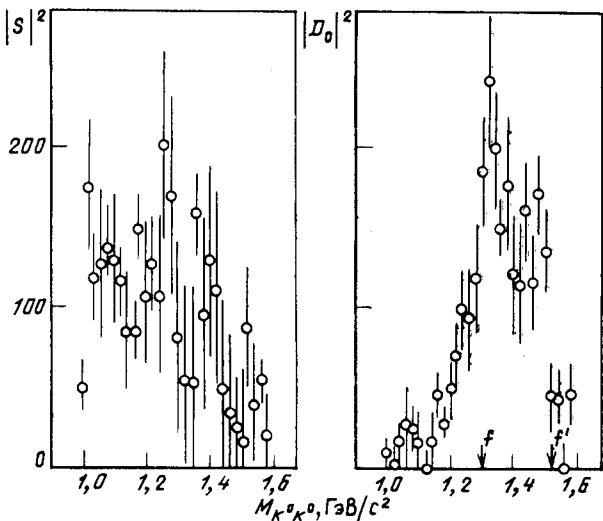


Рис. 54. Интенсивность S - и D -волн в реакции (52). Стрелками указаны массы f - и f' -мезонов

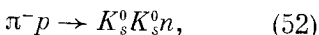
Распад $C(1430) \rightarrow \phi\pi^0$ не должен быть подавлен правилом Окубо — Цвейга — Изуки. Вместе с тем значение $\sigma \cdot BR$ составляет

* Спин-четность $C(1430)$ -мезона недавно установлена: $J^{PC} = 1^{--}$.

Рис. 55. Спектры масс Σ^- (1385) K^+ -систем ($\Sigma^- \rightarrow \Lambda^0\pi^-$) при $P_T < 0,5 \text{ ГэВ}/c$ (сверху) и $P_T < 0,4 \text{ ГэВ}/c$ (снизу): гистограммы — измеренные спектры, пунктирные кривые — спектры с учетом эффективности спектрометра

всего лишь $20 \cdot 10^{-33} \text{ см}^2$, т. е. состояние является экзотическим. Его возможный состав — четырехкварковый: $(u\bar{u} - d\bar{d})ss/\sqrt{2}$. Свидетельство в пользу существования этого состояния, в моде распада Φ^+ , получено недавно в другом эксперименте ИФВЭ [105].

Сложная структура наблюдается также в спектре масс $K_s^0 K_s^0$ -систем в реакции



изученной при импульсе 40 ГэВ/с на шестиметровом магнитно-искровом спектрометре [106]. D -волновой спектр (рис. 54) не описывается только известными (f , f')-мезонами [ИТЭФ].

Как еще одно экзотическое состояние, на этот раз барионное, отметим узкий резонанс [107], наблюдаемый в системе Σ^- (1385) K^+ (рис. 55), распадающийся на $\Lambda^0\pi^-K^+$. Масса и ширина этого состояния, образованного дифракционно в nC -соударениях при энергии нейтронов около 60 ГэВ, равны

$$M = (1956 \pm 6) \text{ МэВ}/c^2, \quad \Gamma = (27 \pm 15) \text{ МэВ}/c^2. \quad (53)$$

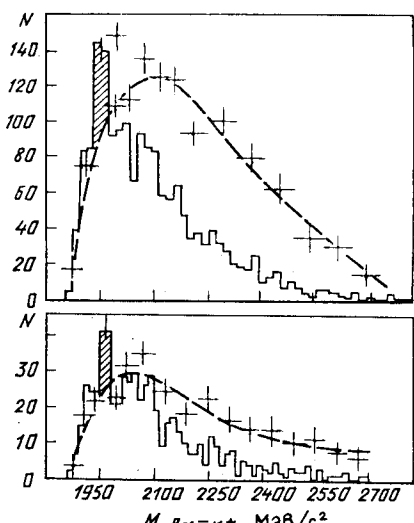
Его возможные спин-четности, как показывает анализ угловых распределений распада: $1/2^\pm$, $3/2^-$, $5/2^+$, либо $7/2^-$.

Малая ширина наблюдаемого пика и распад этого состояния на странные частицы позволяют предположить, что он имеет не трехкварковую, как обычные барионы, а пятикварковую структуру: $uddss$ [ОИЯИ].

13. МЕТОДИКА ЭКСПЕРИМЕНТА, ЭКСПЕРИМЕНТАЛЬНЫЕ УСТАНОВКИ, ПОДГОТОВКА К ИССЛЕДОВАНИЯМ В ОБЛАСТИ ЭНЕРГИЙ 3-ТэВ УНК

В настоящем разделе, посвященном методике эксперимента, остановимся вкратце на некоторых физических установках, применявшихся в экспериментах на ускорителе ИФВЭ, и на нескольких методических новинках, а также результатах ряда работ, ориентированных уже сегодня на физические исследования на 3-ТэВ УНК.

Среди нескольких десятков сложных экспериментальных установок, использовавшихся в экспериментах на 70-ГэВ ускорителе



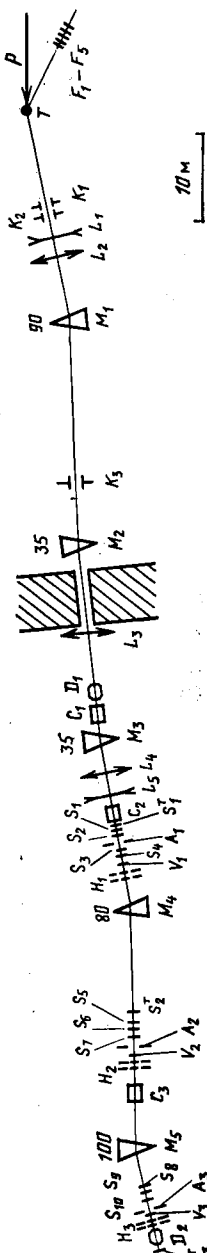


Рис. 56. Экспериментальная установка «Антигеппль», использовавшаяся для исследования антидейтронов и ядра антигелия-3.

P — протонный пучок ускорителя, бомбардирующий внутреннюю мишень T ; $F_1 - F_6$ — монитор; $K_1 - K_5$ — апертурные и импульсные коллиматоры; $M_1 - M_5$ — отклоняющие магниты (цифрами указаны углы отклонения в милрад); $L_1 - L_4$ — кварцевые линзы; D_1 , D_2 — дифференциальные черновые счетчики; $C_1 - C_3$ — протоновые черновые счетчики; $A_1 - A_3$ и $S_1^T - S_3^T$ — спиритуциональные счетчики; $H_1 - H_3$ — гаммоскопы

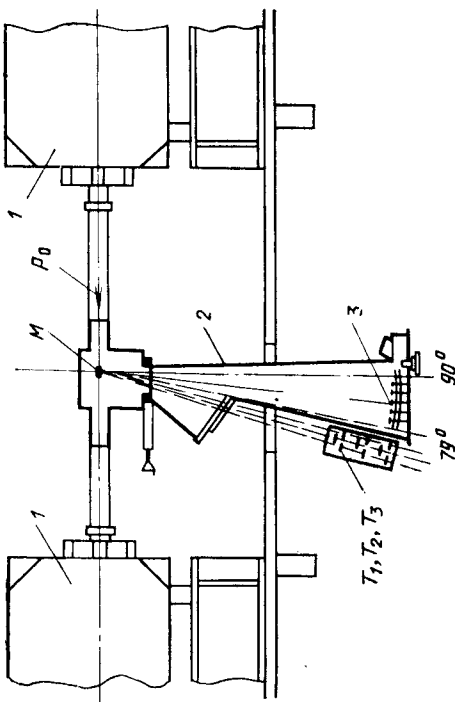


Рис. 57. Установка для исследования упругого pp -рассеяния:

1 — магнит ускорителя; P_0 — пучок ускоренных протонов, бомбардирующий мишень M (в первых опытах — пленка, затем сверхзвуковая газовая струя); 2 — ионопровод; 3 — кремниевые полупроводниковые детекторы протонов отраженные на подвижной каретке; $T_1 - T_3$ — спиритуциональные телескопы — мониторы

ИФВЭ и уже упоминавшихся в предыдущих разделах, хотелось бы проиллюстрировать:

установку для исследования свойств антидейtronов и поиска антигелия-3 (рис. 56) [ИФВЭ];

установку для изучения упругого pp -рассеяния, где использовались в качестве мишени микронные пленки, а затем — сверхзвуковая газовая струя в вакуумной камере ускорителя (рис. 57); на ней был обнаружен рост радиуса протона с энергией и др. [ОИЯИ];

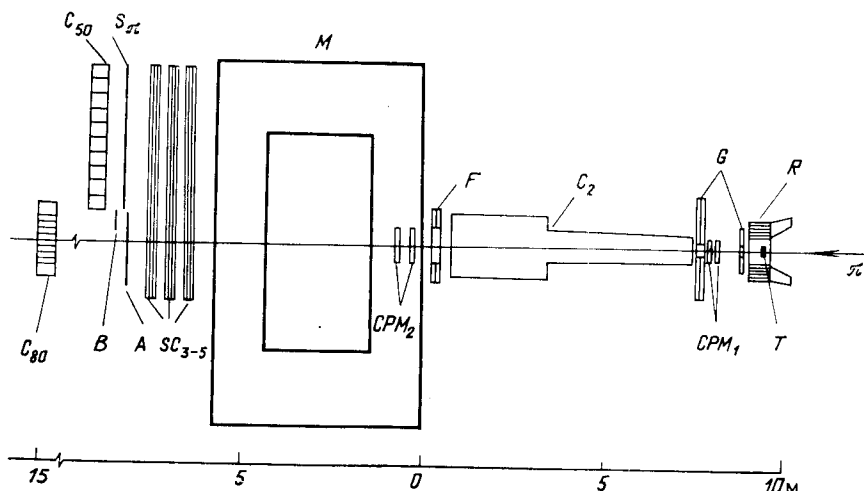


Рис. 58. Схема широкоапертурного спектрометра «Сигма»:

T — мишень; R и F — охранные и апертурные счетчики типа сандвич; C_2 — пороговый черенковский счетчик; $CPM_{1,2}$ — пропорциональные камеры; M — спектрометрический магнит; SC_{3-5} — проволочные искровые камеры; S_π — сцинтилляционный гадоскоп; A , B — сцинтилляционные счетчики; C_{50} и C_{80} — черенковские счетчики полного поглощения из ячеек свинцового стекла

широкоапертурные магнитные спектрометры с проволочными камерами «Сигма» (рис. 58), на котором изучались J/ψ - и ψ' -частицы и была определена поляризумость пиона, и БИС-2 (рис. 59), где были получены данные об образовании бариона с открытым очарованием, о возможном пятикварковом барионе и др. [ИФВЭ, ОИЯИ];

комбинированный спектрометр «Лептон-Ф» (рис. 60), в экспериментах на котором обнаружен ряд электромагнитных распадов мезонов и наблюдалось возможное четырехкварковое мезонное состояние [ИФВЭ];

шестиметровый бесфильмовый магнитный искровой спектрометр МИС (рис. 61), давший сведения о тяжелых резонансах в $\Lambda\bar{\Lambda}$ -системе, и аналогичный пятиметровый спектрометр (с фотографированием событий), на котором были обнаружены радиально-возбужденные состояния пиона [ИТЭФ, ОИЯИ];

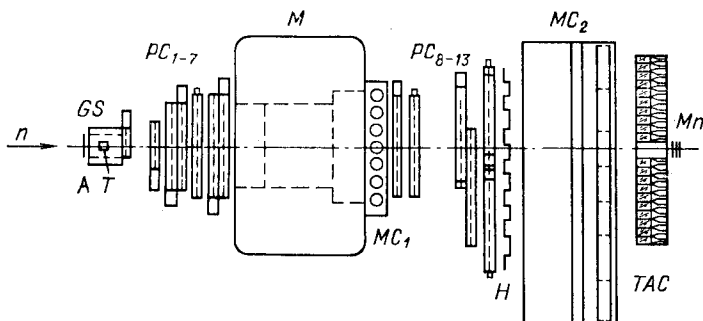


Рис. 59. Спектрометр БИС-2:

n — нейтронный пучок со средней энергией 60 ГэВ; T — мишень, окруженная охранной системой сцинтилляционных счетчиков A ; GS — газоскоп; M — спектрометрический магнит; PC_{1-13} — пропорциональные проволочные камеры; H — годоскоп; $MC_{1,2}$ — многоканальные пороговые чerenковские счетчики; TAC — чerenковские счетчики полного поглощения на свинцовом стекле

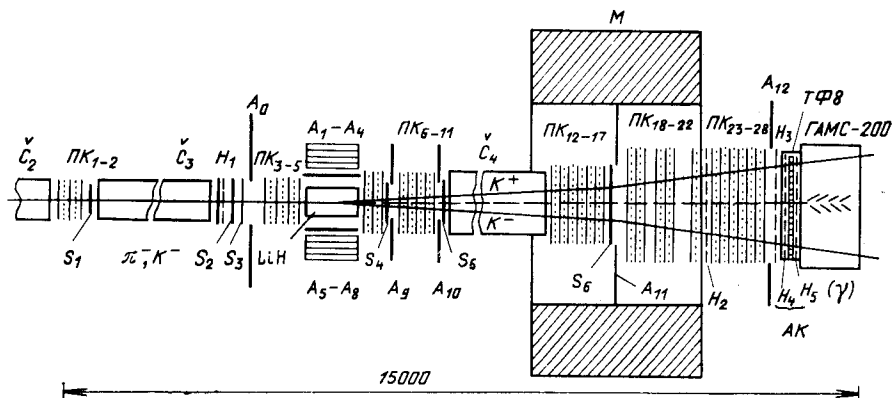


Рис. 60. Схема комбинированного спектрометра «Лептон-Ф»:

S_1 — S_6 — сцинтилляционные счетчики; H_1 — H_6 — годоскопы; A_0 — A_{12} — сцинтилляционные охранные счетчики (A_1 — A_4 — счетчики типа сандвич, окружающие мишень LiH и выделяющие эксклюзивные процессы); PK_1 — PK_{28} — пропорциональные проволочные камеры (4500 сигнальных проволок); \check{C}_1 — \check{C}_4 — газовые пороговые чerenковские счетчики; M — широкоядерный магнит; AK — активный конвертор γ -квантов; $GAMC-200$ — гаммоспектрометр (208 ячеек из свинцового стекла)

установку ПРОЗА с поляризованной мишенью и гаммоспектрометрическим детектором γ -квантов (рис. 62), где наблюдалась поляризация в зарядовообменных процессах и обнаружена ее сложная структура [ИФВЭ, ОИЯИ];

многофотонный гаммоспектрометрический чerenковский спектрометр ГАМС-2000 (рис. 63), на котором был обнаружен r -мезон со спином-

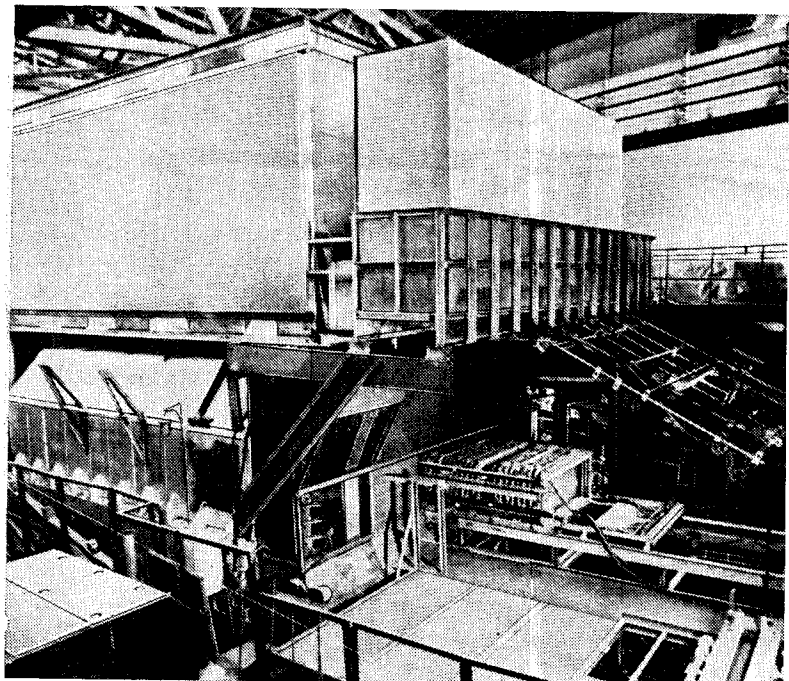


Рис. 61. Общий вид шестиметрового магнитного искрового спектрометра на канале вторичных частиц, выведенных из ускорителя ИФВЭ. Видна система искровых камер, выдвинутая из зазора магнита

четностью δ^{++} , исследованы глюоний и χ -частицы, обнаружен ряд редких распадов мезонов. Предшественником его в ИФВЭ являлся гаммосцинтилляционный спектрометр НИЦЕ, при помо-

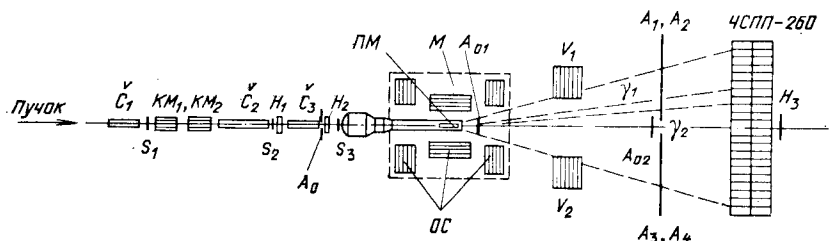


Рис. 62. Схема установки ПРОЗА:

$S_1 = S_3$, A_0 — сцинтилляционные счетчики; $C_1 = C_3$ — газовые пороговые чиренковские счетчики; H_1 и H_2 — гаммосцинтилляционный спектрометр из свинцового стекла; $KM_{1,2}$ — корректирующие магниты; PM — поляризованный мишень, окруженная охранной системой OC ; M — магнит мишени; $A_{01}, A_{02}, A_1 — A_4$ — сцинтилляционные счетчики, включенные на антисовпадение; V_1, V_2 — апертурный счетчик — сандвич; H_3 — гаммосцинтилляционный спектрометр из свинцового стекла

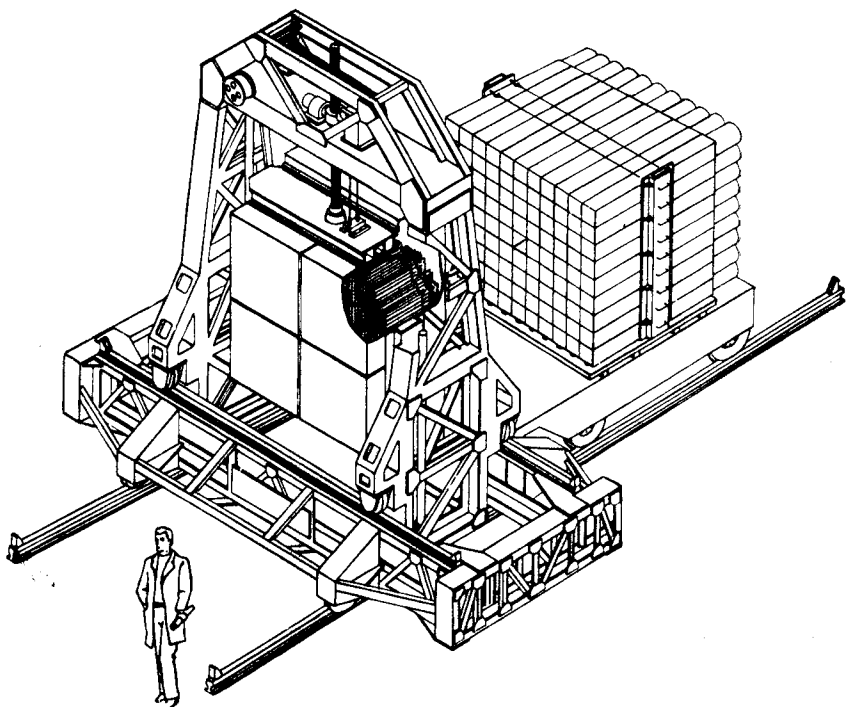


Рис. 63. Многофотонный гаммоскопический спектрометр ГАМС-2000 на 40-ГэВ пионном канале ускорителя ИФВЭ. Показаны детектор фотонов из ячеек свинцового стекла и (на заднем плане) 30-тонный гаммоскопический детектор адронов — калориметр

щи которого был открыт \bar{h} -мезон со спином 4, исследованы зарядово-обменные процессы и др. [ИФВЭ, ЦЕРН].

Многие из этих установок содержат в своем составе элементы — прототипы будущих детекторов для экспериментов на 3-ТэВ ускорителе — коллайдере УНК. Если же говорить об установках, создаваемых в настоящее время для экспериментов на 70-ГэВ ускорителе, то их отличительной особенностью является то, что в них закладываются возможности перенесения основной части экспериментального оборудования на пучки 3-ТэВ ускорителя [108—110]. С ориентацией на УНК идет развитие и методики регистрации частиц — основы будущих экспериментов в тэраэлектрон-вольтной области энергий.

При подготовке программы экспериментальных исследований на 70-ГэВ ускорителе ИФВЭ в 60-годах одной из самых сложных методических проблем, которую к тому же надо было решить в короткие сроки, до запуска ускорителя, явилось создание черенковских счетчиков, способных разделять частицы в новой области энергий

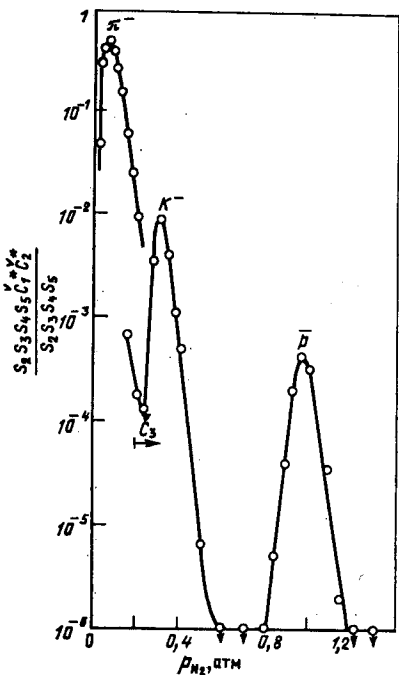


Рис. 64. Первые каоны и антипротоны на 70-ГэВ ускорителе ИФВЭ: выделение частиц в отрицательном пучке с импульсом 40 ГэВ/с при помощи двух газовых дифференциально-пороговых черенковских счетчиков $\check{C}_1^*\check{C}_2^*$ и одного порогового счетчика \check{C}_3 (1968 г.). p_{N_2} — давление азота в дифференциально-пороговых счетчиках

Рис. 65. Выделение пионов, антипротонов и антидейtronов пороговым и дифференциально-пороговым газовыми черенковскими счетчиками в пучке с импульсом 25 ГэВ/с. $p_{\text{фр}}$ — давление фреона в дифференциально-пороговом счетчике

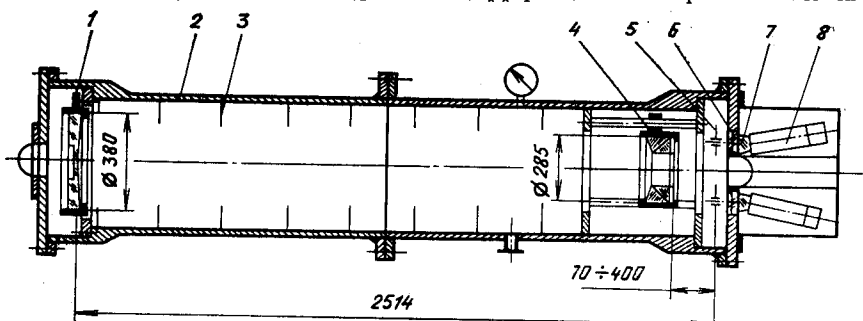


Рис. 66. Устройство дифференциального черенковского счетчика высокого разрешения с компенсацией дисперсии:

1 — сферическое зеркало; 2 — стальная труба; 3 — бленда; 4 — компенсатор дисперсии черенковского света; 5 — управляемая диафрагма; 6 — кварцевое выходное окно; 7 — кварцевые призмы; 8 — фотоэлектронные умножители с кварцевым окном (56 UVP)

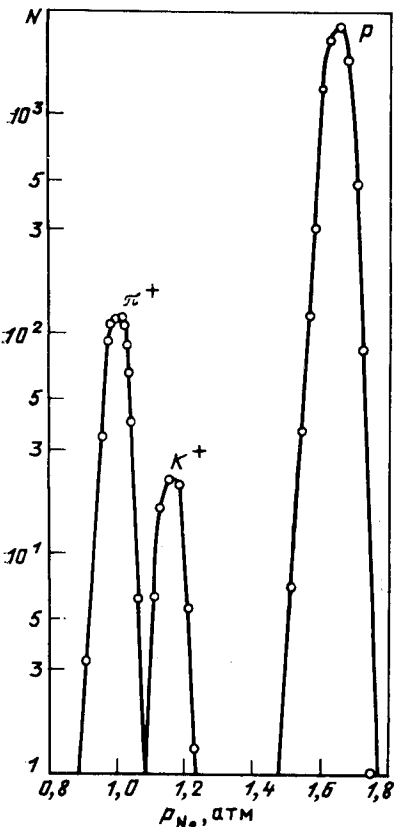


Рис. 67. Разделение частиц по массам в положительном пучке с импульсом 50 ГэВ/с при помощи дифференциального черенковского счетчика высокого разрешения. p_{N_2} — давление азота в счетчике

[111], т. е. повысить разрешение существовавших к тому времени приборов на порядок величины (разрешение $\sim 1/E^2$). Эта задача была решена — сначала были созданы рекордные пороговые и дифференциально-пороговые черенковские счетчики, впервые позволившие разделить частицы в пучках с энергией выше 20 ГэВ (рис. 64) и достичь очень низкого уровня фона (рис. 65), а затем и высокоэффективные дифференциальные черенковские счетчики (рис. 66) с наивысшим в те годы разрешением по скорости частиц ($\Delta\beta \sim 10^{-6}$) — рис. 67 [ИФВЭ].

Одно из дальнейших направлений развития этой методики было связано с созданием в ИФВЭ годоскопических фотоумножителей ГФЭУ [112], в которых используется дрейф электронов в скрещенных электрических и магнитных полях для определения с точностью до 1 мм точки вылета фотоэлектрона из фотокатода (рис. 68). На базе ГФЭУ были реализованы детекторы частиц с регистрацией кольца излучения Вавилова — Черенкова. Первый из них использовался еще в эксперименте по поиску антитрития [35], в дальнейшем были созданы широкоапertureные черенковские счетчики СКОЧ [113] с большим количеством высокочувствительных ГФЭУ (рис. 68, 69). Они обладают одновременно высоким разрешением (рис. 70) и большим аксептансом, как и известные детекторы RICH, но превосходят последние по быстродействию в десятки раз. Применение этой методики весьма перспективно для экспериментов на пучках 3-ТэВ ускорителя при регистрации вторичных частиц.

Сцинтиляционные годоскопы на базе ГФЭУ [114], имеющие разрешение около 1 мм, способны заменить в ряде случаев проволочные детекторы (рис. 71, 72).

Работа экспериментальных установок в условиях больших загрузок, характерных для экспериментов на УНК, требует развития

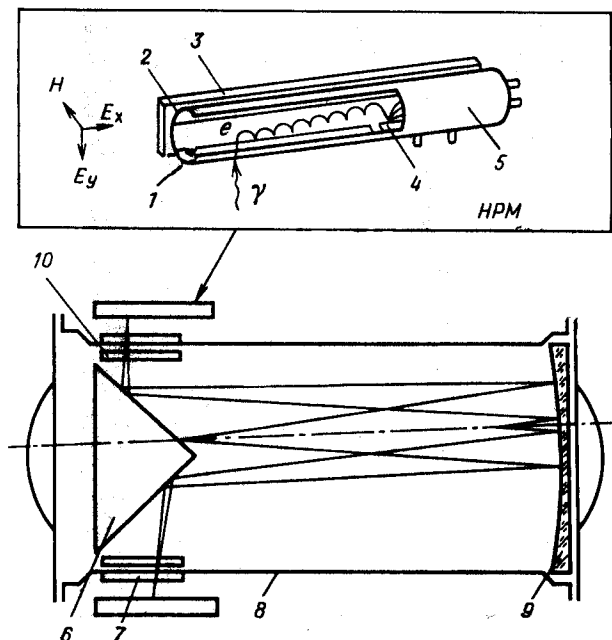


Рис. 68. Принцип работы ГФЭУ и схема СКОЧ-детектора, измеряющего диаметр кольца излучения Вавилова — Чerenкова в газе. Устройство ГФЭУ-30М показано на вставке (HPM):

1 — протяженный фотокатод; 2 — резистивный электрод, образующий электрическое поле; показан дрейф электрона, выбитого из фотокатода фотоном, в скрещенных $E_{x,y}$ и H -полях; 3 — постоянный редкоземельный магнит; 4 — динод; 5 — умножительная часть ГФЭУ. Длина газового радиатора СКОЧ — 2 м, фокусное расстояние зеркала 9 — 2,5 м; 6 — зеркальный конический отражатель; 8 — корпус детектора, проходящее через кварцевые окна 7 и цилиндрические линзы 8 излучение Вавилова — Чerenкова регистрируется с помощью 24-годоскопических фотоэлектронных умножителей (ГФЭУ). Среднее число точек, регистрируемых на кольце излучения, приблизительно равно 10

техники субнаносекундных измерений временных интервалов. Эта методика осваивается уже сегодня в экспериментах на 70-ГэВ ускорителе (например, на спектрометре ФОДС — рис. 73 [71]) [ИФВЭ].

Среди новых детекторов частиц, использовавшихся в физических исследованиях на ускорителе ИФВЭ, следует отметить стриммерные камеры (см. например, рис. 74 [115]), применение которых, как показали опыты на pp -коллайдере (эксперимент *UA-5*), перспективны и в тераэлектрон-вольтной области, при высокой множественности вторичных частиц [МИФИ].

Эффективной методической новинкой, созданной ленинградскими и московскими физиками и использовавшейся как в экспериментах на ускорителе ИФВЭ, так и при более высоких энергиях, явились активные мишени — ионизационные камеры для регистрации частиц отдачи при исследовании рассеяния на малые углы. Эта методика, как и методика сверхзвуковой газовой струи внутри ускорителя, перспек-

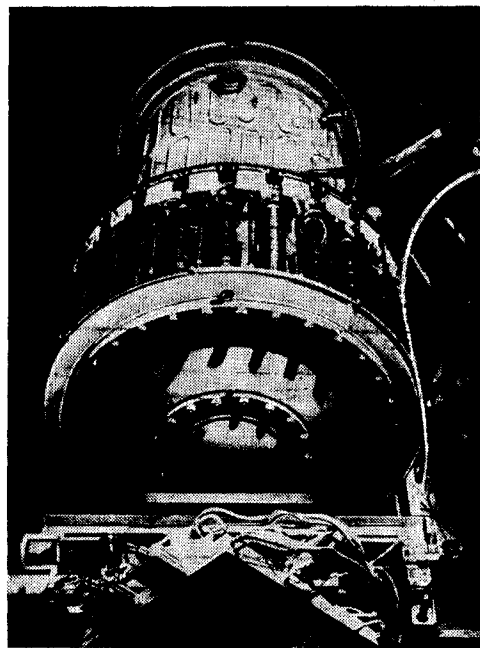


Рис. 69. Внешний вид спектрометра СКОЧ, регистрирующего кольца излучения Вавилова — Черенкова при помощи 24 ГФЭУ (часть из них показана сверху, где снята крышка)

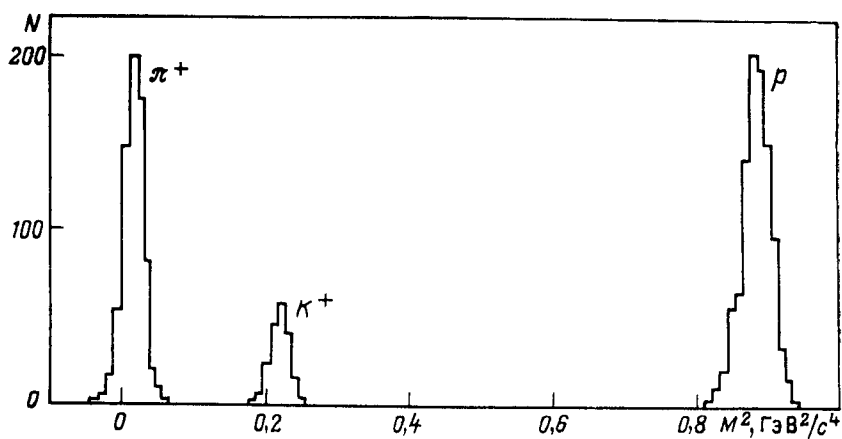


Рис. 70. Разделение частиц по массам в положительном пучке ускорителя ИФВЭ с импульсом 13 ГэВ/с при помощи спектрометра СКОЧ. Масса частицы M определяется по диаметру регистрируемого спектрометром кольца излучения Вавилова — Черенкова

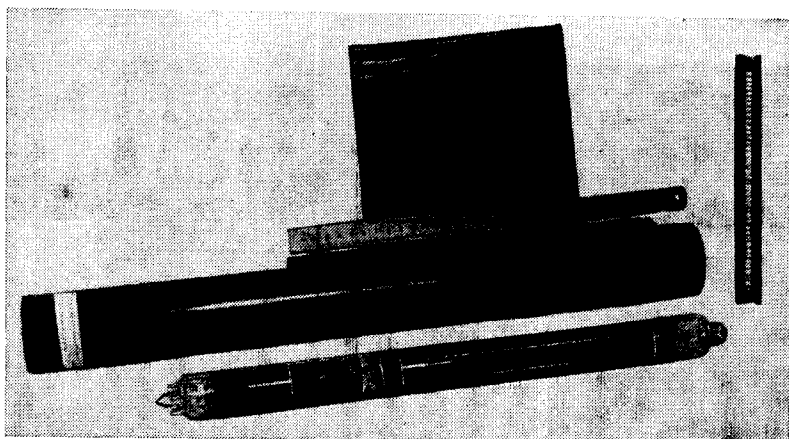


Рис. 71. Внешний вид сцинтилляционного гадоскопа на ГФЭУ. Кассета с палочками сцинтиллятора и ГФЭУ показаны также отдельно

тивна для изучения дифракционных процессов и при энергиях УНК [ИТЭФ, ЛИЯФ, ОИЯИ].

С ростом энергии ускорителей характеристики гадоскопических калориметров как детекторов фотонов и адронов улучшаются [108, 116]. При переходе в область энергий УНК они приобретают лидирующее положение и играют роль базовых детекторов в большинстве экспериментов [110, 116—119]. Методика многофотонных гадоскопических детекторов типа ГАМС [120] создана в ИВФЭ и интенсивно используется в экспериментах на 70-ГэВ ускорителе и на ускорителях других лабораторий. В экспериментах на ускорителе ИФВЭ освоена методика и гадоскопических адронных калориметров. Она позволяет не только определять энергию адронов (в том числе нейтральных [121]), но измерять также и их координаты с точностью, достигающей миллиметра при энергиях УНК (рис. 75, 76) [122] [ИФВЭ].

Для изготовления гадоскопических калориметров, размеры которых достигают многих кубических метров [110], разработана технология массового изготовления сцинтилляторов и световодов — смесителей спектра [123]. Освоена также методика поточного изготовления счетчиков со сцинтиллятором высокой прозрачности длиной 5 м и более, необходимых для создания детекторов большой площади в экспериментальных установках УНК.

В заключение этого раздела отметим еще одно методическое исследование, имеющее непосредственное отношение к экспериментам на УНК. В связи с быстрым ростом потерь энергии частиц на синхротронное излучение в магнитных полях при увеличении энергии заряженных частиц в тераэлектрон-вольтной области возникает возмож-

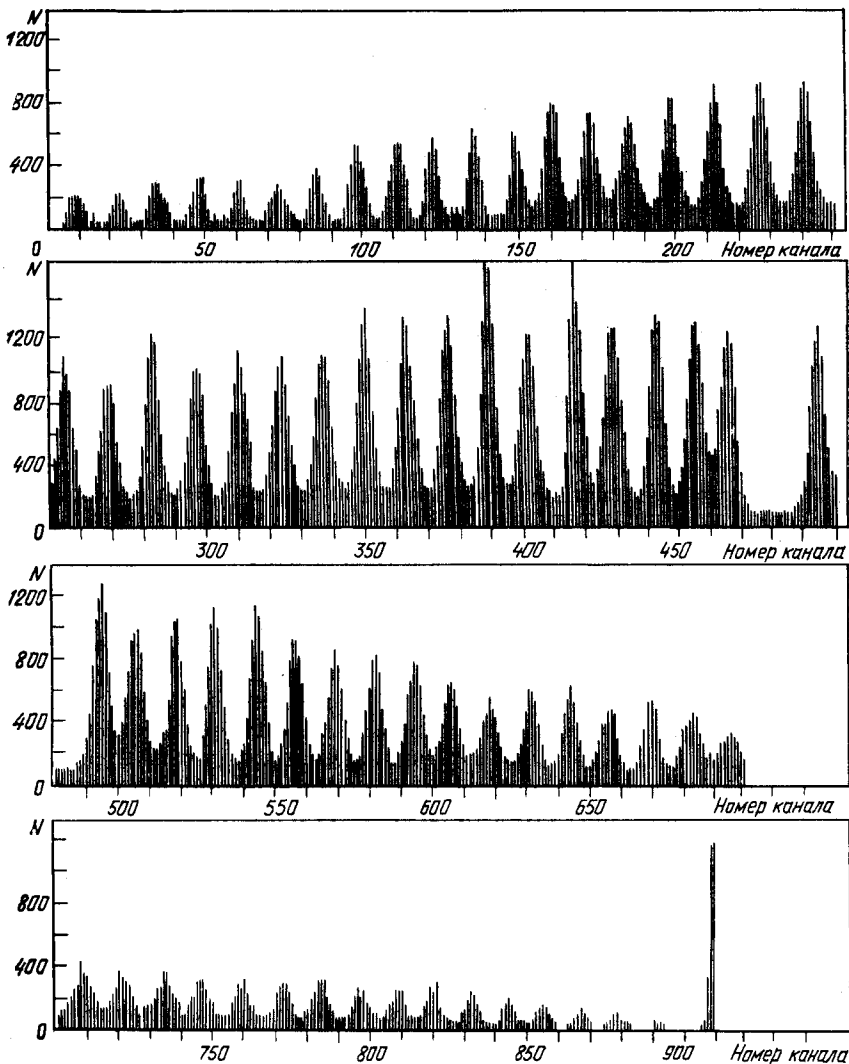


Рис. 72. Профиль пучка вторичных частиц, измеренный при помощи сцинтилляционного гадоскопа на ГФЭУ. Шаг гадоскопа 2 мм

ность создания чистых электронных (а следовательно, и фотонных) пучков высокой интенсивности, сепарированных от адронов с использованием синхротронного излучения [119, 124]. Этот метод был практически реализован физиками ИФВЭ и ЦЕРН на пучке с энергией 300 ГэВ, где был получен чистый электронный пучок (рис. 77) со-

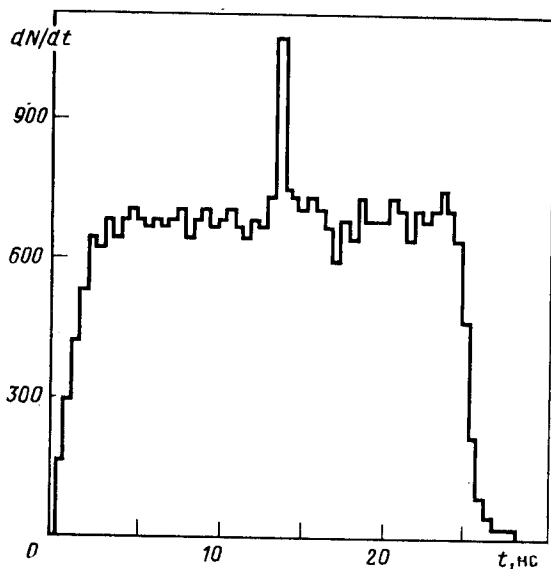


Рис. 73. Выделение на спектрометре ФОДС событий при помощи электроники с субнаносекундным разрешением, $\tau \approx 0,2$ нс (пик в центре), на уровне высокой фоновой загрузки

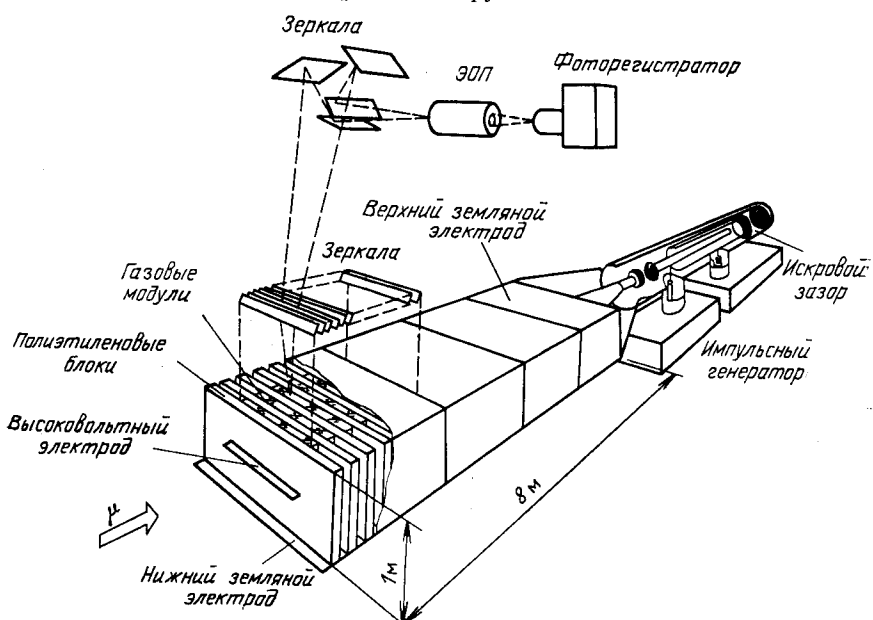


Рис. 74. Восьмиметровая стриммерная камера, прослоенная полиэтиленовыми блоками, использовавшаяся для регистрации остановок и распада мюонов

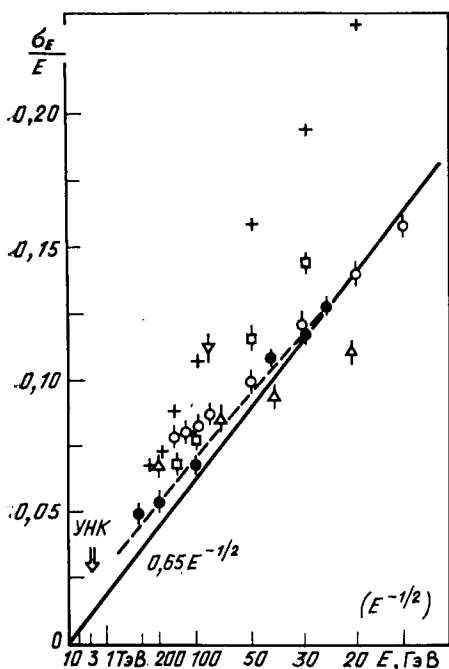


Рис. 75. Энергетическое разрешение адронного гадоскопического калориметра (темные точки), измеренное на пучках ускорителей ИФВЭ ($25 \leq E \leq 40 \text{ ГэВ}$) и ЦЕРН ($100 \leq E \leq 300 \text{ ГэВ}$). Остальные точки — данные для других калориметров типа сандвич (железо — сцинтиллятор)

степенью сепарации от адронов лучше 10^5 , как с обычной оптикой магнитного канала, так и с использованием «змейки». Перспективы этого метода при еще более высоких энергиях, в пучках УНК (пространственная сепарация частиц пропорциональна $\sim E^3$), очевидны [ИФВЭ, ЦЕРН].

Подводя итоги экспериментальных исследований, выполненных на 70-ГэВ ускорителе ИФВЭ за 15 лет (последние десять из которых прошли в условиях конкуренции с более мощными ускорителями в

США и ЦЕРН), можно с удовлетворением отметить значительный вклад этих исследований в общее развитие физики высоких энергий. Многие из полученных на ускорителе ИФВЭ результатов были высо-

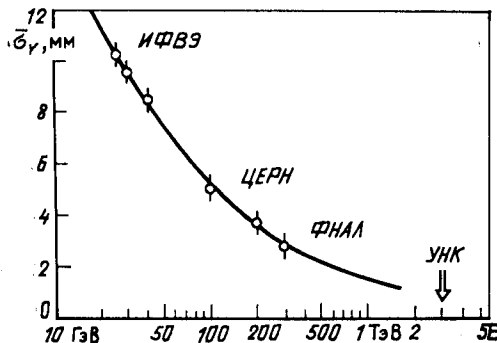


Рис. 76. Пространственное разрешение гадоскопического адронного калориметра с ячейкой шириной 5 см, измеренное при энергиях ИФВЭ и ЦЕРН (точки): кривая — расчетная зависимость [106], нормированная на данные ИФВЭ ($25-40 \text{ ГэВ}$); измерения при более высоких энергиях ($100-300 \text{ ГэВ}$) проведены с этим же детектором позднее

ко оценены на международных конференциях и семинарах, ряд из них отнесен к важнейшим достижениям отечественной науки в итоговых докладах президента Академии наук СССР, многие данные вошли в международные таблицы элементарных частиц.

Область энергий Серпуховского ускорителя является оптимальной для решения целого ряда задач современной физики элементарных частиц, в том числе в таком важном для развития КХД направлении

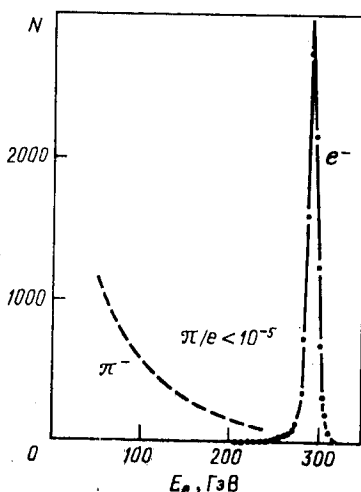


Рис. 77. Чистый электронный пучок, сепарированный при энергии 300 ГэВ от адронов с использованием синхротронного излучения (в эксперименте $NA-12$ на канале Н8 СПС ЦЕРН):

пик — амплитудный спектр импульсов счетчика из свинцового стекла, помещенного в сепарированный пучок; пунктиром показан спектр сигналов в случае пионного пучка. Содержание электронов в исходном пучке — 0,5%, степень сепарации электронов (подавление пионов и других адронов) лучше 10^6

лении исследований, как мезонная спектроскопия. Развитие методики экспериментальных исследований, непрерывное совершенствование ускорителя открывают для этих работ новые перспективы.

СПИСОК ЛИТЕРАТУРЫ

- Горин Ю. П., Денисов С. П., Донсков С. В. и др. // ЯФ. 1971. Т. 14. С. 998—1005; Phys. Lett. 1971. Vol. 36B. P. 415—421; ЯФ. 1972. Т. 17. С. 309—326.
- Denisov S. P., Donskov S. V., Gorin Yu. P. e.a. // Nucl. Phys. 1973. Vol. B65. P. 1—28.
- Антипов Ю. М., Вишневский Н. К., Еч Ф. А. и др. // ЯФ. 1969. Т. 10. С. 346—353; 976—987; Phys. Lett. 1969. Vol. 29B. P. 245—248; Vol. 30B. P. 576—580; Препринт ИФВЭ 70-88, Серпухов, 1970; ЯФ. 1971. Т. 13. С. 130—134; Nucl. Phys. 1971. Vol. 29B. P. 374—380.
- Gurevich I. I., Khakimov S. Kh., Martemianov V. P. e.a. // Phys. Lett. 1972. Vol. 38B. P. 549—550.
- Zrelov V. P., Kollarova L., Kollar D. e.a. // Chec. Journ. Phys. 1976. Vol. B26. P. 1306—1318.
- Абрамов В. В., Анисимова Н. З., Бондаренко Г. Б. и др. // ЯФ. 1977. Т. 25. С. 76—79.
- Golovkin S. V., Grachev M. I., Khodyrev Yu. S. e.a. // Phys. Lett. 1972. Vol. 42B. P. 136—140; Bushnin Yu. B., Dunaytzev A. F., Golovkin S. V. e.a. // Nucl. Phys. 1973. Vol. B58. P. 476—493.
- Викторов В. А., Головкин С. В., Джелядин Р. И. и др. // ЯФ. 1981. Т. 33. С. 1529—1532; Phys. Lett. 1981. Vol. 105B. P. 239—241.
- Логунов А. А., Мествишишили М. А., Нгуен Ван Хьеу. Препринт ИФВЭ 67-49-К, Серпухов, 1967; Phys. Lett. 1967. Vol. 25B. P. 611—614; Proc. Topical conf. on high-energy collisions. CERN 68-7, Geneva, 1968. Vol. 2. P. 74—92; Препринт ИФВЭ 74-66 Серпухов, 1974; ТМФ. 1977. Т. 33. С. 3—33.

10. Бушнин Ю. Б., Горин Ю. П., Денисов С. П. и др.//ЯФ. 1969. Т. 10. С. 585—591; Phys. Lett. 1969. Vol. 29B. Р. 48—53; Бинон Ф., Денисов С. П., Дютельль П. и др.//ЯФ. 1970. Т. 11. С. 636—640; Phys. Lett. 1969. Vol. 30B. Р. 506—509; Антипов Ю. М., Вишневский Н. К., Горин Ю. П. и др.//ЯФ. 1971. Т. 13. С. 135—138; Phys. Lett. 1971. Vol. 34B. Р. 164—166.
11. Горин Ю. П., Денисов С. П., Донсков С. В. и др.//ЯФ. 1971. Т. 14. С. 994—997.
12. Baker W. F., Carroll A. S., Chiang I.-H. e.a.//Phys. Lett. 1974. Vol. 51B. Р. 303—305; Aubert B. Preprint FNAL 75/31, Batavia, USA, 1975.
13. Gapiluppi P., Giacomelli G., Rossi A. M. e.a.//Nucl. Phys. 1974. Vol. 79B. Р. 189—258.
14. Albrow M. G., Bagchus A., Barber D. P. e.a.//Nucl. Phys. 1973. Vol. B56. Р. 333—345.
15. Johnson J. R., Kammerud R., Ohsugi T. e.a.//Phys. Rev. 1978. Vol. D17. Р. 1292—1303.
16. Atherton H. W., Bowet C., Doble N. e.a.//Preprint CERN 80-07, Geneva, 1980.
17. Божко Н. И., Борисов А. А., Вовченко А. С. и др.//ЯФ. 1979. Т. 29. С. 668—673; 1980. Т. 31. С. 1494—1500.
18. Duke D. W., Taylor F. E.//Phys. Rev. 1978. Vol. D17. Р. 1788—1794; Das K. P., Hwa R.//Phys. Lett. 1977. Vol. 68B. Р. 459—462.
19. От. № 228, ОТ-9548 от 15 апреля 1977 г., СССР. Закономерность масштабной инвариантности сечений образования адронов/А. А. Логунов, Ю. Д. Прокошкин, С. П. Денисов и др.//Открытия. Изобретения. 1980, № 45.
20. Аллаби Д. В., Бушнин Ю. Б., Горин Ю. П. и др.//ЯФ. 1970. Т. 12. С. 538—556; Phys. Lett. 1969. Vol. 30B. Р. 500—505.
21. Denisov S. P., Dmitrevski Yu. P., Donskov S. V. e.a.//Phys. Lett. 1971. Vol. 36B. Р. 428—432.
22. Горин Ю. П., Денисов С. П., Донсков С. В. и др.//ЯФ. 1973. Т. 17. С. 309—326; Nucl. Phys. 1973. Vol. B65. Р. 1—26. Здесь же дана литература.
23. Горин Ю. П., Денисов С. П., Донсков С. В. и др.//ЯФ. 1973. Т. 18. С. 336—347; Nucl. Phys. 1973. Vol. B64. Р. 62—67.
24. Антипов Ю. М., Асколи Дж., Буснелло Р. и др.//ЯФ. 1973. Т. 18. С. 353—363; Nucl. Phys. 1973. Vol. B57. Р. 333—347.
25. Bruneton C., Bystricky J., Cozzika G. e.a.//Nucl. Phys. 1977. Vol. B124. Р. 391—408.
26. Болотов В. Н., Исаков В. В., Какауридзе Д. Б. и др.//ЯФ. 1974. Т. 19. С. 115—121; Nucl. Phys. 1974. Vol. B73. Р. 401—409.
27. Binon F., Duteil P., Kachanov V. A. e.a.//Phys. Lett. 1969. Vol. 30B. Р. 510—513; ЯФ. 1969. Т. 12. С. 806—809; Phys. Lett. 1969. Vol. 31B. Р. 230—232.
28. Dorfan D. E., Eades J., Lederman L. M. e.a.//Phys. Rev. Lett. 1965. Vol. 14. Р. 1003—1006.
29. Антипов Ю. М., Вишневский Н. К., Горин Ю. П. и др.//ЯФ. 1970. Т. 13. С. 135—138; Phys. Lett. 1971. Vol. 34B. Р. 164—166.
30. Горин Ю. П., Денисов С. П., Донсков С. В. и др.//ЯФ. 1970. Т. 13. С. 344—349; Nucl. Phys. 1971. Vol. 31B. Р. 253—260.
31. Горин Ю. П., Денисов С. П., Донсков С. В. и др.//ЯФ. 1971. Т. 14. С. 134—136; Phys. Lett. 1971. Vol. 34B. Р. 167—169.
32. Антипов Ю. М., Вишневский Н. К., Горин Ю. П. и др.//ЯФ. 1970. Т. 12. С. 311—322; Nucl. Phys. 1971. Vol. 31B. Р. 235—252; Prokoshkin Yu. D.//Naturwiss. 1973. Vol. 59. Р. 281—284.
33. От. № 104, ОТ-7875 от 14 декабря 1970 г., СССР. Антигелий-3/Ю. М. Антипов, Н. К. Вишневский, Ю. П. Горин и др.//Открытия. Изобретения. 1971, № 36.
34. Bozzoli W., Bussiere A., Giacomelli G. e.a.//Nucl. Phys. 1978. Vol. B144. Р. 317—329; Bussiere A., Bozzoli W., Giacomelli G. e.a. Preprint IFUB 80/8 INEN, Bologna, 1980.

35. Вишневский Н. К., Грачев М. И., Рыкалин В. И. и др.//ЯФ. 1974. Т. 20. С. 694—708.
36. Barger V. Review report at the Intern. conf. on strong interactions, CERN, Geneva, 1968.
37. Прокошкин Ю. Д. Пригл. доклад, XV Междунар. конф. по физике высоких энергий, Киев, 1970.
38. Barger V., Phillips R. J. N.//Phys. Rev. 1970. Vol. D2. P. 1971—1983; Nucl. Phys. 1971. Vol. B32. P. 93—109. Здесь же дана литература.
39. Померанчук И. Я.//ЖЭТФ. 1958. Т. 34. С. 725—728.
40. Бушнин Ю. Б., Горин Ю. П., Денисов С. П. и др.//ЯФ. 1972. Т. 16. С. 1224—1230.
41. Бирулов В. К., Вовенко А. С., Вестергомби Д. и др.//ЯФ. 1972. Т. 15. С. 959—965; Phys. Lett. 1972. Vol. 38B. P. 452—456.
42. Альбрехт К. Ф., Бирулов В. К., Вестергомби Д. и др.//ЯФ. 1978. Т. 27. С. 369—376.
43. От. № 137, ОТ-8411 от 22 февраля 1973 г., СССР. Закономерность в энергетической зависимости полных сечений (Серпуховский эффект)/Ю. Д. Прокошкин, С. П. Денисов, Ю. П. Горин и др.//Открытия. Изобретения. 1974. № 17.
44. Соловьев Л. Д.//Письма в ЖЭТФ. 1973. Т. 18. С. 455—457; ЭЧАЯ, 1975. Т. 6. С. 571—600.
45. Diddens A. N.//Proc. Intern. conf. on high energy physics. Vol. 1. London. 1974. P. 41—70; Wetherell A. M.//Proc. Intern. conf. on high energy physics. Palermo. 1975. P. 639—656.
46. Lipkin H. J.//Phys. Rev. D. 1975. Vol. 11. P. 1827—1831; Phys. Lett. 1975. Vol. 56B. P. 76—80.
47. Hendrick R. E., Langasker P., Lautrup B. E. e.a.//Phys. Rev. D. 1975. Vol. 11. P. 536—554.
48. Прокошкин Ю. Д.//ЯФ. 1984. Т. 40. С. 1579—1584. Здесь же дана литература.
49. Волков Г. Г., Логунов А. А., Мествишили М. А.//ТМФ. 1970. Т. 4. С. 196—201; Логунов А. А., Мествишили М. А., Хрусталев О. А.//ЭЧАЯ, 1972. Т. 3. С. 515—554.
50. Герштейн С. С., Логунов А. А.//ЯФ. 1984. Т. 39. С. 1514—1516; 1986. Т. 44. С. 1251—1256.
51. Белоусов А. С., Буданов Н. П., Ваздик Я. А. и др.//ЯФ. 1975. Т. 21. С. 556—564; Александров Ю. А., Баранов С. С., Белоусов А. С. и др.//ЯФ. 1980. Т. 32. С. 651—658.
52. Безногих Г. Г., Буяк А., Жидков Н. К. и др.//ЯФ. 1969. Т. 10. С. 1212—1222; Phys. Lett. 1969. Vol. 30B. P. 274—275.
53. От. № 244, ОТ-8792 от 2 июля 1974 г., СССР. Закономерность изменения радиуса сильного взаимодействия протонов при высоких энергиях/Г. Г. Безногих, В. Н. Грибов, Н. К. Жидков и др.//Открытия. Изобретения. 1981, № 40.
54. Бартенев В. Д., Безногих Г. Г., Буяк А. и др.//ЯФ. 1972. Т. 16. С. 96—108; Phys. Lett. 1972. Vol. 39B. P. 44.
55. От. № 246, ОТ-8751 от 6 мая 1974 г., СССР. Явление потенциального рассеяния протонов высоких энергий/Л. Ф. Кириллова, В. А. Никитин, А. А. Номофилов и др.//Открытия. Изобретения. 1981, № 42.
56. Derevshchikov A. A., Matuleenko Yu. A., Meschanin A. P. e.a.//Nucl. Phys. 1974. Vol. B80. P. 442—460.
57. Апокин В. Д., Васильев А. Н., Деревщиков А. А. и др.//ЯФ. 1976. Т. 24. С. 99—105; Nucl. Phys. 1976. Vol. B106. P. 413—429.
58. Апокин В. Д., Васильев А. Н., Деревщиков А. А. и др.//ЯФ. 1977. Т. 25. С. 94—102.
59. Апокин В. Д., Аблев В. Г., Воробьев А. А. и др.//ЯФ. 1978. Т. 28. С. 1529—1533.
60. Брюнетон К., Быстрички И., Гедо А. и др.//ЯФ. 1976. Т. 23. С. 769—775; Phys. Lett. 1975. Vol. 57B. P. 389—392.

61. Брюнетон К., Быстрицки И., Гедо А. и др. // ЯФ. 1977. Т. 25. С. 369—373; Phys. Lett. 1976. Vol. 61B. Р. 103—106.
62. Окунь Л. Б., Померанчук И. Я. // ЖЭТФ. 1956. Т. 30. С. 424—427.
63. Апель В. Д., Аугенштайн К. Х., Бертолуччи Е. и др. // ЯФ. 1979. Т. 29. С. 1519—1537; Т. 30. С. 366—372; Nucl. Phys. 1979. Vol. B152. Р. 1—26; Phys. Lett. 1979. Vol. 83B. Р. 131—135. Здесь же дана литература.
64. Апель В. Д., Аугенштайн К. Х., Бертолуччи Е. и др. // ЯФ. 1979. Т. 30. С. 373—383; Nucl. Phys. 1979. Vol. B154. Р. 189—204. Здесь же дана литература.
65. Апель В. Д., Аугенштайн К. Х., Бертолуччи Е. и др. // ЯФ. 1980. Т. 31. С. 167—172; Nuovo cimento. 1979. Vol. 25. Р. 493—500.
66. Соловьев Л. Д., Щелкачев А. В. // ЯФ. 1982. Т. 35. С. 732—735; Трошин С. М., Тюрик Н. Е. // ЯФ. 1984. Т. 40. С. 1008—1015.
67. Babaev A., Brachmann E., Eligeo V. G. e.a. // Nucl. Phys. 1976. Vol. B110. Р. 189—204.
68. Аввакумов И. А., Апокин В. Д., Васильев А. Н. и др. // Препринт ИФВЭ 84-187, Серпухов, 1984.
69. Аввакумов И. А., Апокин В. Д., Васильев А. Н. и др. Препринт ИФВЭ 82-98, Серпухов, 1982.
70. Абрамов В. В., Алексеев А. В., Балдин Б. Ю. и др. // ЯФ. 1980. Т. 31. С. 937—946; 1985. Т. 41. С. 700—710; Nucl. Phys. 1980. Vol. B173. Р. 348—364.
71. Абрамов В. В., Балдин Б. Ю., Бузулуков А. Ф. и др. // Письма в ЖЭТФ. 1981. Т. 33. С. 475—478; 1982. Т. 34. Р. 624; Phys. Lett. 1982. Vol. B112. Р. 170—172; Nucl. Phys. 1984. Vol. B245. Р. 1—16; ЯФ. 1985. Т. 41. С. 137—148.
72. Абрамов В. В., Алексеев А. В., Балдин Б. Ю. и др. // ЯФ. 1981. Т. 34. С. 1271—1279.
73. Abramov V. V., Sulyaev R. M., Bondarenko G. A. e.a. // Phys. Lett. 1976. Vol. 64B. Р. 365—368; 1978. Vol. 78B. Р. 515—518.
74. Dzhelyadin R. I., Golovkin S. V., Konstantinov V. F. e.a. // Nucl. Phys. 1981. Vol. B179. Р. 189—214.
75. Антипов Ю. М., Беззубов В. А., Бушнин Ю. Ю. и др. Препринт ИФВЭ 75-125, Серпухов 1975; Письма в ЖЭТФ. 1980. Т. 32. С. 297—300; Препринт ИФВЭ 80-97, Серпухов, 1980.
76. Бушнин Ю. Б., Головкин С. В., Денисенко А. А. и др. // ЯФ. 1977. Т. 26. С. 1216—1221.
77. Антипов Ю. М., Беззубов В. А., Буданов Н. П. и др. // Письма в ЖЭТФ. 1978. Т. 27. С. 312—315; Phys. Lett. 1978. Vol. 76B. Р. 235—236.
78. Бинон Ф., Гуанэр М., Донсков С. В. и др. // ЯФ. 1984. Т. 39. С. 640—648; Nucl. Phys. 1984. Vol. B239. Р. 311—324.
79. Алеев А. Н., Арефьев В. А., Баландин В. П. и др. // ЯФ. 1982. Т. 35. С. 1175—1180; 1983. Т. 37. С. 1474—1478; Z. Phys. C. 1984. Vol. 23. Р. 333—338.
80. Adylov G. T., Aliev F. K., Bardin D. Yu. e.a. // Nucl. Phys. 1977. Vol. B128. Р. 461—505.
81. Бушнин Ю. Б., Головкин С. В., Грицук М. В. и др. // ЯФ. 1978. Т. 28. С. 1507—1510; Phys. Lett. 1978. Vol. 79B. Р. 147—149; Викторов В. А., Головкин С. В., Грицук М. В. и др. // Письма в ЖЭТФ. 1979. Т. 30. С. 387—389; Phys. Lett. 1979. Vol. 88B. Р. 379—380; ЯФ. 1980. Т. 32. С. 998—1001; 1005—1007; Phys. Lett. 1980. Vol. 94B. Р. 548—550.
82. Викторов В. А., Головкин С. В., Грицук М. В. и др. // ЯФ. 1979. Т. 29. С. 1513—1515; Phys. Lett. 1979. Vol. 84B. Р. 143—144; Письма в ЖЭТФ. 1981. Т. 33. С. 239—243; Phys. Lett. 1981. Vol. 102B. Р. 296—298.
83. Антипов Ю. М., Батарин В. А., Беззубов В. А. и др. Препринт ИФВЭ 82-120, Серпухов, 1982; Phys. Lett. 1983. Vol. 121B. Р. 445—448.
84. Викторов В. А., Головкин С. В., Джелядин Р. И. и др. // ЯФ. 1980. Т. 32. С. 1002—1004; Phys. Lett. 1980. Vol. 97B. Р. 471—472.
85. Бинон Ф., Брикман К., Гуанэр М. и др. // ЯФ. 1981. Т. 33. С. 1534—1537; Lett. Nuovo cimento. 1981. Vol. 32. Р. 45—49.
86. Бинон Ф., Брикман К., Гуанэр М. и др. // ЯФ. 1982. Т. 36. С. 670—679; Nuovo cimento. 1982. Vol. 71A. Р. 497—507; Алди Д., Бинон Ф., Брикман К.

- и др. // ЯФ. 1984. Т. 40. С. 1447—1453; Z. Phys. C. 1984. Vol. 25. P. 225—229.
87. Бинон Ф., Гуанэр М., Донсков С. В. и др. // ЯФ. 1983. Т. 38. С. 934—944; Nuovo cimento. 1983. Vol. 78A. P. 313—330.
 88. Бинон Ф., Гуанэр М., Донсков С. В. и др. // ЯФ. 1984. Т. 39. С. 1429—1435; Phys. Lett. 1984. Vol. 140B. P. 264—268. Здесь же дана литература.
 89. Gross D. J., Treiman S. R., Wilczek F. // Phys. Rev. 1979. Vol. D19. P. 2188—2196.
 90. Апель В. Д., Аугенштайн К. Х., Бертолуччи Е. и др. // ЯФ. 1976. Т. 23. С. 333—340; Phys. Lett. 1975. Vol. 57B. P. 398—402.
 91. От. № 275, ОТ-10101 от 1 августа 1979 г., СССР. Явление образования элементарной частицы η -мезона/Ю. Д. Прокошкин, С. В. Донсков, В. А. Ка-чанов и др. // Открытия. Изобретения. 1984, № 4.
 92. Wohl G. G., Cahn R. N., Rittenberg A. e.a., Part data group. // Rev. Mod. Phys. 1984. Vol. 56. P. 1—202.
 93. Бинон Ф., Гуанэр М., Донсков С. В. и др. // ЯФ. 1983. Т. 38. С. 1199—1204; Lett. Nuovo cimento. 1984. Vol. 39. P. 41—48.
 94. Bellini D., Василевский И. М., Веный Г. и др. // Письма в ЖЭТФ. 1981. Т. 34. С. 511—514; Proc. 4th Warsaw Symp. on elementary particle physics. Ksiazierz. 1981. P. 187—196.
 95. Bellini G., di Corato M., Palombo F. e.a. // Phys. Rev. Lett. 1982. Vol. 48. P. 1697—1700; Preprint JINR E1-82-488, Dubna, 1982.
 96. Балошин О. Н., Барков Б. П., Болонкин Б. В. и др. Препринт ИТЭФ-2, М., 1982.
 97. Antipov Yu. M., Ascoli G., Busnello R. e.a. // Nucl. Phys. 1973. Vol. B63. P. 153—174; 1977. Vol. B119. P. 45—59.
 98. Antipov Yu. M., Baud R., Busnello R. e.a. // Phys. Lett. 1972. Vol. 40B. P. 147—151.
 99. Fritzsch H., Gell-Mann M. // Proc. 16th Intern. Conf. on high energy physics. Chicago, 1972. P. 135—147; Jaffe R. L., Johnson K. // Phys. Lett. 1976. Vol. 60B. P. 204—204.
 100. Герштейн С. С., Лиходед А. К., Прокошкин Ю. Д. // ЯФ. 1984. Т. 39. С. 251—253; Z. Phys. C. 1984. Vol. 24. P. 305—308.
 101. Бинон Ф., Гуанэр М., Донсков С. В. и др. // ЯФ. 1984. Т. 39. С. 831—834; Nuovo cimento. 1984. Vol. 80A. P. 363—370.
 102. Ачасов Н. Н., Девягин С. А., Шестаков Г. Н. и др. // УФН. 1984. Т. 142. С. 361—393.
 103. Битюков С. И., Викторов В. А., Головкин С. В. и др. // Письма в ЖЭТФ. 1984. Т. 39. С. 96—98.
 104. Битюков С. И., Викторов В. А., Вишневский Н. К. и др. // ЯФ. 1983. Т. 38. С. 1205—1208.
 105. Антипов Ю. М., Беззубов В. А., Буданов Н. П. и др. // Письма в ЖЭТФ. 1983. Т. 38. С. 356—357.
 106. Балошин О. Н., Барков Б. П., Болонкин Б. В. и др. Препринт ИТЭФ-136, М., 1984.
 107. Алеев А. Н., Арефьев В. А., Баландин В. П. и др. // ЯФ. 1981. Т. 34. С. 386—391; 1982. Т. 36. С. 1420—1425; Z. Phys. C. 1984. Vol. 25. P. 205—212.
 108. Prokoshkin Yu. D. Hodoscope Calorimeters as Basic Coordinate and Energy Detectors of Particles in the Experiments in the 10 TeV Range, Proc. Second ICFA Workshop on Possibilities and Limitations of Accelerators and Detectors. Les Diablerets, Switzerland (ed. U. Amaldi, CERN, Geneva). 1979. P. 405—419; Препринт ИФВЭ 79-148, Серпухов, 1979.
 109. Зайцев А. М., Лапин В. В., Рудаков К. Р. // Материалы II совещания «Физические исследования на УНК». ИФВЭ. Серпухов, 1982. С. 43—68.
 110. Прокошкин Ю. Д. // ЭЧАЯ. 1985. Т. 16. С. 584—596; Preprint IHEP 84-98, Serpukhov, 1984.
 111. Денисов С. П. // Тр. междунар. конф. по аппаратуре в физике высоких энергий. Дубна, 1970. С. 453—478.

112. Васильченко В. Г., Лапшин В. Г., Монич Е. А. и др. //ПТЭ. 1978. Т. 4. С. 183—187.
113. Абрамов В. В., Алексеев А. В., Балдин Б. Ю. и др. Препринт ИФВЭ 83-180, Серпухов, 1983.
114. Васильченко В. Г., Лапшин В. Г., Мельников Н. С. и др. Препринт ИФВЭ 78-16, Серпухов, 1978; Nucl. Instrum. and Methods. 1980. Vol. 169. Р. 389—396.
115. Anisimova N. Z., Bondarenko G. B., Govorov V. V. e.a.//Phys. Lett. 1976. Vol. 65B. Р. 85—88.
116. Iwata S. Calorimeters for High-Energy Experiments at Accelerators. Preprint DPNU-3-79, Nagoya Univ., 1979.
117. Прокошкин Ю. Д. Постановка экспериментов при энергиях 1000 ГэВ и выше. //Материалы XXI сессии НКС ИФВЭ. ИФВЭ. Серпухов, 1977. С. 44—54.
118. Kryshkin V. I., Prokoshkin Yu. D., Vovenko A. S. e.a. Features of Experiments at Energies above 1 TeV//Proc. Workshop on Possibilities and Limitations of Accelerators and Detectors. FNAL, Batavia, 1978. Р. 201—236.
119. Прокошкин Ю. Д., Дидденс А. Н., Диболд Р. и др. Адронные и фотонные эксперименты в 10-ГэВ области на ускорителе со стационарной мишенью. Препринт ИФВЭ 80-3, Серпухов, 1980; Proc. Second ICFA Workshop on Possibilities and Limitations of Accelerators and Detectors. Les Diablerets, Switzerland (ed. U. Amaldi, CERN, Geneva), 1979. Р. 347—370.
120. Бинон Ф., Буйнов В. М., Гуанэр М. и др. Препринт ИФВЭ 85-62, Серпухов, 1985. Nucl. Instrum. and Methods. 1986. Vol. A 248. Р. 86—102. Здесь же дана литература.
121. Davidov V. A., Donskov S. V., Inyakin A. V. e.a.//Nucl. Instrum. and Methods. 1983. Vol. 203. Р. 369—377.
122. Binon F., Davydov V. A., Donskov S. V. e.a.//Nucl. Instrum. and Methods. 1983. Vol. 203. Р. 373—378; Препринт ИФВЭ 82-145, Серпухов, 1982.
123. Васильев А. Н., Вишневский Н. К., Козаков П. Н. и др. Препринт ИФВЭ 82-62, Серпухов, 1982.
124. Farley F. J. M., Picasso E.//Nucl. Instrum. and Methods. 1983. Vol. 203. Р. 325—332. Atherton H. W., Bowet C., Doble N. e.a.//Preprint CERN 85—43, Geneva, 1985.